

A/S Sydvaranger  
NGU Rapport nr. 761  
*Bind I*

A/S Sydvaranger  
NGU Rapport nr. 761

Geokjemiske undersøkelser  
Karasjok 1967

Saksbearbeidere  
Ansvarlig: Bjørn Bølviken  
Leder for feltarbeidet: Gunnar Næs

NORGES GEOLOGISKE UNDERSØKELSE  
KJEMISK AVDELING  
TRONDHEIM

I N N H O L D

|  |       |
|--|-------|
| INNLEDNING .....   | s. 4  |
| TIDLIGERE UNDERSØKELSER  |       |
| Magnetiske og elektromagnetiske flymålinger .....              | s. 4  |
| Geokjemiske undersøkelser .....                                | s. 5  |
| De alluviale gullforekomster .....                             | s. 5  |
| Det faste fjells geologi .....                                 | s. 6  |
| METODIKK   |       |
| Prøvetaking og prøvebehandling.....                            | s. 9  |
| Analysemetoder.....  | s. 9  |
| Bearbeidelse av analyseresultater, kartfremstilling. ...       | s. 10 |
| RESULTATER   |       |
| Kurver over frekvensfordelinger.....                           | s. 10 |
| Prøvenummer og analyseresultater og<br>utskilte anomalier..... | s. 13 |
| DISKUSJON  |       |
| Geokjemiske anomalier - kjente forekomster.....                | s. 17 |
| Geokjemiske anomalier - alluvialt gull.....                    | s. 18 |
| Geokjemiske anomalier - geologiske/geofysiske data .....       | s. 19 |
| OPPSUMMERING OG KONKLUSJON .....                               |       |
| Litteraturliste .....  | s. 23 |
| NGU rapporter som det er henvist til i teksten .....           | s. 24 |

TABELLER

|          |   |       |
|----------|---|-------|
| Tabell 1 | Parametre som kan avleses av fordelingskurvene ....                     | s. 12 |
| " 2      | Valgte grenser for konsentrasjonsgrupper på de<br>geokjemiske kart..... | s. 12 |
| " 3      | Kartbilag Bind II, III, IV. ....  | s. 25 |
| " 4      | Kartbilag Bind I. ....  | s. 26 |

VEDLEGG

|           |                                    |
|-----------|------------------------------------|
| Vedlegg 1 | Kontrakt.                          |
| " 2       | Bearbeidelse av analyseresultater. |
| " 3-7     | Kurver over frekvensfordelinger.   |

KARTBILAG

|             |           |
|-------------|-----------|
| Plansje 1 A | Bind I.   |
| " 51 - 62   | Bind I.   |
| " 6 - 20    | Bind II.  |
| " 21 - 35   | Bind III. |
| " 36 - 50   | Bind IV.  |

## INNLEDNING

Med A/S Sydvaranger som oppdragsgiver har Norges geologiske undersøkelse utført geokjemiske undersøkelser, basert på bekkesedimenter, i Karasjok herred i Finnmark.

Avtalen mellom oppdragsgiver og NGU er nærmere spesifisert i kontrakt av 7. juni 1967, se vedlegg 1.

Feltarbeidet ble utført i tiden 28. juni til 28. juli 1967, og analysearbeidet i løpet av januar/februar 1968. Området for undersøkelsen går frem av kartbilag 1 bak i rapporten. Tilsammen ble det innsamlet 838 prøver fra ca. 330 km<sup>2</sup>. Prøvene ble analysert på syreløselige metaller, henholdsvis kobber, nikkel, sink og sølv, samt på lett løselige tungmetaller. (De syreløselige metaller betegnes senere i rapporten med henholdsvis HxCu, HxNi, HxZn, HxAg; de lett løselige metaller betegnes med CxTM).

Denne rapport vil først kort nevne endel av det som er kjent fra tidligere geokjemiske, geologiske og geofysiske undersøkelser i feltet. Videre beskrives den metodikk som er brukt i det geokjemiske arbeidet i Karasjok 1967. Prøvepunkter og analyseresultater presenteres på kartbilag. Der er utskilt flere geokjemiske anomalier. Når anomaliene sammenholdes med tilgjengelige geologiske og geofysiske data fra området, fremkommer flere interessante trekk. De geokjemiske resultater anbefales fulgt opp med videre undersøkelser.

## TIDLIGERE UNDERSØKELSER

Magnetiske og elektromagnetiske flymålinger i Karasjokområdet er utført av NGU i 1962 som oppdrag for A/S Sydvaranger. Resultatet fra disse målingene i det området som er geokjemisk undersøkt, foreligger på NGU-kartene nr. 377/28, 377/29, 377/32, 377/33, 377/44, 377/46, 377/49. Det vil bli referert til disse kart senere i rapporten under diskusjon av de geokjemiske resultater.

Geokjemiske undersøkelser er utført i 1963. NGU kartla da Cu-, Ni- og Zn-innholdet i bekkesedimenter fra Jiesjokka, Anarjokka og Karasjokka med bielver, så langt disse elvene var farbare med elvebåt eller kunne nås fra kjørbar vei. Foreløpig har denne kartlegging ikke gitt sterke indikasjoner på mulig malmineralisering. Materialet er imidlertid ikke ferdig bearbeidet ennå. Etter at prøvene fra 1963 ble analysert, har det skjedd en stor forbedring i den analysemetodikk som NGU bruker i forbindelse med geokjemiskprospektering. Med atomabsorbsjonsspektrografi kan man nå analysere med langt større presisjon og på flere metaller enn med de tidligere kolorimetriske metodene. Det er derfor planlagt å analysere prøvene fra 1963 om igjen med den forbedrede metodikk. En slik reanalyse kan kanskje bringe frem nye og interessante trekk i det geokjemiske bilde.

De alluviale gullforekomster i Karasjokka og dens bielver er beskrevet av H. Bjørlykke (1966).

Bjørlykke skriver: "De hittil utførte undersøkelser innen området syd for Karasjok tyder på at all grus innen området er svakt gullførende, og det kan også påvises gull selv i meget høytliggende terrenge hvor det i nutiden ikke finnes noen elv eller bekk i nærheten".

Det har vært vasket gull flere steder, f.eks. ved Noaidejavre, Storfossen, Bautajokka, Gassajokka og Sargejokka. I følge Bjørlykke opptrer gullet tildels som tynne, flate korn som er vanskelig å utvinne ved vask. Gullet kan også være grovt, nuggets opp til 17 gram er funnet i Sargejokka. Ved Beivaagiedde er gull funnet i kvartsittisk løsblokk. På finsk side er gull funnet i magnetkis-gang.

Såvidt vites, er gullet vanligvis meget rent, 98 % Au og 1 % Ag rapporteres som analyseresultat på 2 nuggets. I gullførende koncentrater er også funnet sperylitt ( $PtAs_2$ ), Cooperitt ( $PtS_2$ ), gedigent Pt, gedigent sølv. Bjørlykke klassifiserer gullforekomstene slik:

- 1) Preglasiale akkumulasjoner som har overlevd siste istids erosjon.
- 2) Preglasiale anrikninger som er blitt innleiret i morenen eller omvasket i fluvioglasiale avsetninger.
- 3) Postglasiale anrikninger i nåværende og eldre elveleier.

Mineralselskapet i de gullførende avsetninger kan etter Bjørlykke deles i 2 grupper. Den ene gruppen har mineraler som tilhører det omgivende faste fjells bergarter. Den andre gruppen har mineraler som ikke synes å komme fra bergartene i de omgivende faste fjell.

Bjørlykkes teori er at gull sannsynligvis har forekommet i en sandsten som kan ha dekket store deler av Finnmark. Ved nederosjon av sandstenen har gullet blitt frigjort og avsatt i elveleiene. Hvor gullet i sandstenen opprinnelig skulle ha kommet fra, er helt uvisst.

Det faste fjells geologi i Karasjok er hovedsakelig kartlagt av H. Wennergård. I 1954 fant Wennergård en jernmineralisering på Suolomaras N-Ø for Beivasgiedde. I de påfølgende år ble lignende jernmineraliseringer funnet flere steder i omgivelsene. I tidsrommet 1954-1957 kartla Wennergård geologien, målestokk 1:100 000, i et område på ca. 2000 km<sup>2</sup>, fra disse jernmalmforekomster og nordover. Samtidig ble jernmalmmineraliseringene undersøkt med geofysiske målinger, avdekking, diamantboring etc. Det vises til Wennergård (1961) og GM-rapportene nr. 114, 137, 159, 183, 184, 204 C, 205.

Den etterfølgende omtale av geologien i det området som ble prøvetatt geokjemisk i 1967 bygger på Wennergårdas materiale.

Wennergård deler Karasjokfeltet geologisk fra vest til øst i sonene I til IV.

Sone I lengst vest består av granittiske bergarter med stor regional utbredelse, og strøkretning overveiende nord 10-30° øst. Fallet er vanligvis steilt, bortsett fra kontaktsonen i øst der fallet flater ut til ca. 30° øst og forener seg med lagdelingen i sone II.

Sone II ligger som et 2-25 km brett belte øst for sone I. Den er sammensett av ulike sedimentære bergarter, men karakteriseres i særlig grad av en ultrabasisk effusiv bergart, den såkalte amfibolklorittsten. Av de sedimentære dominerer særlig 2 serier. Den ene av disse består av arkositt, den andre av glimmerskifer og gneis med mellomlag av kvartsitt og grafittskifer. Mange steder i sone II finnes en jernmineralisering i form av jernkvartsitter. Nord-vest for Goikavarre er sedimentene gjennomsatt av 1 eller flere gabbrokropper. Strukturene i den vestlige del av sone II slutter seg til de normale d.v.s., strøk N 10-20° Ø, fall 30° Ø. Lenger øst dreier strukturene mot øst-vest, en retning som gjenspeiler foldningsakser og forkastninger.

Sone III består hovedsakelig av amfibolitter som kan være granat og/eller diopsidførende. Denne sone viser stort sett et homogent strukturbilde, orientert hovedsakelig parallelt områdets lengdeakse.

Sone IV, som er den østligste, er karakterisert ved hyperstengneiser. Hele denne sone faller utenfor det området som er prøvetatt geokjemisk. Strukturene går N  $10^{\circ}$  Ø med  $30^{\circ}$  fall mot Ø.

I de følgende avsnitt refereres utdrag av Wennervirtas beskrivelse av 1) grafittskifrene 2) jernkvartsittene.

Grafittskiferen forekommer som mellomlag i glimmerbergartene. Den synes å være særlig vanlig i Karasjokfeltets sydlige deler mellom Doigisvarre og Gæssagielas. Vest for Suolomaras-forekomsten opptrer grafittskifer som en av hovedbergartene. Forøvrig finnes det alltid grafittskifer i nærheten av og i forbindelse med jernkvartsitten. Hovedmineralene i grafittskiferen er kvarts, grafitt, magnetkis og svovelkis. Kisen opptrer både som impregnasjoner og som sprekkefyllinger.

Jernkvartsitt blir av Wennervirta brukt som den generelle betegnelsen på alle kvarts eller kalkrandige bergarter i Karasjokfeltet som viser unormalt høyt jernoksydinnhold. Wennervirta skiller ut følgende større forekomster:

Roavejokka  
Guoikavarre  
Suolomaras  
Njuovcokka  
Gæssagielas  
Sargejokka

3 av disse, nemlig Goikavarre, Njuovcokka og Suolomaras, er undersøkt med geofysiske bakkemålinger og boringer. Forekomsten ved Gæssagielas er røsket og prøvetatt.

Jernmineraliseringen deles i 2 typer.

- 1) Kalkrandig, hematittførende, manganrik type.
- 2) Kvartsrandig, magnetittdominert, manganfattig type.

Begge typer kan påvises ved siden av hverandre i en og samme forekomst, men stort sett finnes et bestemt regionalt fordelingsmønster. Således tilhører Njuovcokka og Gæssagielas overveiende gruppe 1, mens Goikavarre faller inn under gruppe 2. Suolomaras står i en mellomstilling.

Type 1 (eksempel Njuovcokka).

Jernkvartsitten ligger på et amfibolittmassiv som igjen overleirer en amfibol-klorittsten. Over jernkvartsitten finnes en skarnbergart, og over denne grafittskifer. Jernkvartsitten er foldet, foldningsaksen faller  $20-30^{\circ}$  mot ØSØ. Amfibolitten viser som regel en skarp kontakt mot jernkvartsitten. Kontakten markeres ytterligere av en 5-20 cm tykk kisanring. Vanligste kismineral i denne er magnetkis, men det forekommer også svovelkis og kobberkis. Jernkvartsitten har en mektighet på 8-15 m.

Jernkvartsitten kan deles i 2 petrografiske enheter hvorav nr. 2 nedenfor er hovedenheten:

- 1) Randig, ofte kvartsrandig granatbiotitt-plagioklasgneis med vekslende mengder magnetitt og hematitt.
- 2) Kvartsrandig kalksten med vekslende mengder hematitt, magnetitt og forskjellige skarn-mineraler.

Begge enheter er finkornete. Forholdet magnetitt/hematitt er større enn 1, jerninnholdet er vanligvis 20-25 % som syreløselig (22-27 % totalt). Manganinnholdet er vanligvis 1-5 % som syreløselig (2-8 % totalt). Høyt manganinnhold korresponderer med høyt jerninnhold.

Type 2 (eksempel Goikavarre).

Et litologisk profil fra øst mot vest begynner med amfibol-klorittsten. Deretter følger en amfibolitt som nær jernkvartsitten blir granatførende. Så følger selve jernkvartsitten som er en randig bergart sammensatt av vekslende lag av kvartsitt og biotitt-plagioklasgneis. Vest for jernkvartsitten viser borkjernene en overgangssone med minkende magnetitt-gehalt, hvor skarn- og kvartsmellomlagene etter hvert forsvinner. Overgangssonen inneholder sulfider, først og fremst magnetkis, men også svovelkis og kobberkis. Kisen opptrer som ganske sterke impregnasjoner og/eller som smale kompakte bånd. Lenger vest (i bunnen av borhullene) er en svartskifer påtruffet. Goikavarre viser invertert lagstilling i forhold til Njuovcokka.

Magnetitt er det dominerende jernmineral. Man har ingen klar oppfatning om forekomstens form, heller ikke om jern/mangan-forholdet. Jerninnholdet i 2 meters mektighet overstiger sjeldent 25 % som syreløselig (totalt 30 %). Tilsvarende manganinnhold er 0,2 % syreløselig (totalt 0,7 %).

For både type 1 og 2 gjelder at tektonikken delvis har forstyrret det opprinnelige bilde. Likevel antar Wennervirta at alle jernkvartsitter kan henføres til ett og samme stratigrafiske nivå, nemlig ovenpå en horisont av

amfibolklorittsten og amfibolitt. Han antar at jernkvartsittene er dannet under submarine forhold i isolerte bassenger. Det avtagende jernoksydinhold oppover serien, delvis kompensert av sulfider, tolkes som primære miljøforandringer under sedimentasjonsprosessen. Variasjonene i kalk- og kvartsinnhold tas til inntekt for en antagelse om regionale faciesvekslinger.

Som nevnt beskriver Wennergårdt sulfider opptrer i tilknytning til grafittskifrene og i jernkvartsittene. Forøvrig blir ingen kismineralisering beskrevet i Wennergårdts publikasjon, men på et av Wennergårdts geologiske kart finnes imidlertid inntegnet en del lokaliteter ved Karasjokka, hvor små aggregater av kis er sett i fast fjell.

## METODIKK

### Prøvetaking og prøvebehandling.

Sedimentprøver ble innsamlet fra alle bekker og elver i området. Avstanden mellom prøvestedene var ordinært 250 m. Ved hvert prøvested ble det tatt 1 prøve midt i bekken, eller minst 1 m fra bekkekanten. Prøvene ble våtsiktet på prøvetakningsstedet gjennom nylonsikt med lysåpning 0,6 mm. Finfraksjonen ble emballert i spesielle papirposer og sendt til NGU, Trondheim. Etter tørring ved ca. 80°, ble prøvene siktet gjennom nylonsikt med maskevidde 180 micron. Både grovfraksjonen og finfraksjonen ble tatt vare på, men bare finfraksjonen ble brukt til analyse.

### Analysemetoder.

#### Syreløselig Cu, Ni, Zn, Ag, (HxCu, HxNi, HxZn og HxAg).

1 gram av prøven ble veid inn i reagensglass og behandlet med 5 ml  $\text{HNO}_3$  1:1, ca. 3 timer på kokeplate. Maximumstemperatur under oppslutningen var ca. 110° C. Etter fortynning til 20 ml ble oppløsningen dekantert gjennom nylonfilter. Cu, Ni, Zn og Ag ble bestemt i den dekanterte løsning med atomabsorbsjon-spektrofotometer, type Perkin Elmer 303. For Cu, Ni og Zn er analysepresisjonen anslått å ha et standardavvik på ca.  $\pm 10\%$  ved 95 % konfidensnivå. For Ag er analysepresisjonen vesentlig dårligere. Ved de laveste konsentrasjoner antas den å være av størrelsesorden  $\pm 100\%$ , ved de høyeste konsentrasjoner ca.  $\pm 50\%$ .

### Lettløselige tungmetaller (CxTM).

Metoden som er beskrevet av Harold Bloom (1956) består i at sedimentprøven rystes med en kold oppløsning av ammoniumcitrat. De ekstraherte metaller bestemmes kolorimetrisk med dithizon. Analysepresisjonen er anslått til ca.  $\pm 30\%$  relativ.

### Bearbeidelse av analyseresultater, kartfremstilling.

Avhengigheten mellom konsentrasjonene og deres frekvens ble fremstilt grafisk slik som vist på kurvebladene 1-4 bak i rapporten. De fremkomne kurver kan tjene til:

- 1) Å se om tallmaterialet representerer 1 eller flere fordelinger.
- 2) Å anslå fordelingenes gjennomsnitt og standarddeviasjon. (De tilsvarende konsentrasjoner er antilogaritmene til disse parametre).

Ved kartfremstillingen ble det laget 2 sett resultatkart. Det ene sett viser analyseresultatene som tall. Det annet sett viser analyseresultatene som symboler. Hvert symbol representerer en konsentrasjonsgruppe. Nederste gruppe er alle konsentrasjoner lavere enn den som tilsvarer gjennomsnittet. De øvrige gruppene er begrenset av de konsentrasjoner som tilsvarer gjennomsnittet pluss hele multiplum av den funne standarddeviasjon. For detaljer, se vedlegg 2.

## RESULTATER

### Kurver over frekvensfordelinger.

- Vedlegg 761-3 Kumulativ frekvensfordeling, kobber.
- Vedlegg 761-4 Kumulativ frekvensfordeling, sink.
- Vedlegg 761-5 Kumulativ frekvensfordeling, nikkel.
- Vedlegg 761-6 Kumulativ frekvensfordeling, sølv.
- Vedlegg 761-7 Kumulativ frekvensfordeling, lett løselige tungmetaller.

I det følgende beskrives frekvensfordelingene enkeltvis, og de parametre som kan avleses av de forskjellige kurver angis i tabellform.

Syreløselig Cu, (HxCu). (Vedlegg 3)

Kurven for den kumulative frekvensfordeling viser rettlinjet forløp opp til ordinaten ca. 85 %. Over 85 % bøyer kurven sterkt av mot høyere koncentrasjoner. Kurveforløpet indikerer at materialet består av en lognormal bakgrunnsfordeling samt 1 eller 2 anomale kobberfordelinger.

Syreløselig Zn, (HxZn). (Vedlegg 4)

Kurven for den kumulative frekvensfordeling viser rettlinjet forløp opp til ordinaten ca. 85 %. Fra 85 % til 99 % bøyer kurven meget svakt av mot høyere koncentrasjoner. Over 99 % blir denne avbøyning noe sterkere. Kurveforløpet indikerer at tallmaterialet består av én lognormal bakgrunnsfordeling pluss én anomal fordeling.

Syreløselig Ni, (HxNi). (Vedlegg 5)

Kurven for den kumulative frekvensfordeling viser rettlinjet forløp opp til ordinat ca. 90 % der kurven bøyer noe av mot høyere koncentrasjoner inntil den mellom 97 % og 99,8 % igjen løper parallelt med den nederste rettlinjede del. Kurveforløpet indikerer at nikkelkonsentrasjonene har én lognormal bakgrunnsfordeling og én lognormal anomal fordeling.

Syreløselig Ag, (HxAg). (Vedlegg 6)

Kurven for den kumulative frekvensfordeling viser tilnærmet rettlinjet forløp i hele koncentrasjonsområdet. Dette indikerer at sølvkonsentrasjonene har én lognormal fordeling. Særlig stor analysefeil for Ag gjør denne slutning usikker.

Lettløselig tungmetall. (CxTM). (Vedlegg 6)

Kurven for den kumulative frekvensfordeling viser et uregelmessig forløp. Dette kan skyldes at den virkelige fordelingen ikke er lognormal og/eller at analysefeilen er relativt stor. For å oppnå samme behandlingsmåter for lett løselige tungmetaller som for det øvrige tallmaterialet, er en tenkt lognormal bakgrunnsfordeling tegnet inn på kurvebladet etter skjønn. Denne tenkte fordeling er lagt slik at den går gjennom medianverdien samtidig som den tangerer den øvre del av den virkelige fordelingskurve.

Tabell 1.

Parametere som kan avleses av fordelingskurvene.

M= Median (Abscissen som tilsvarer ordinaten 50 %).

S= Standarddeviasjon (Abscissedifferansen som tilsvarer ordinatdifferansen mellom 84,13 % og 50 %).

|                   | enhet    | HxCu | HxZn | HxNi | HxAg | CxTM  |
|-------------------|----------|------|------|------|------|-------|
| M.                | ppm      | 8,1  | 26,2 | 14,8 | 0,14 | 1,0   |
| M + S             | ppm      | 18,7 | 60,5 | 30,5 | 0,28 | 3,2   |
| $\frac{M + S}{M}$ | ubenevnt | 2,31 | 2,31 | 2,06 | 2,00 | 3,2   |
| M + 2S            | ppm      | 43,2 | 140  | 62,8 | 0,56 | 10,6  |
| M + 3S            | ppm      | 99,7 | 324  | 129  | 1,12 | 34,0  |
| M + 4S            | ppm      | 230  |      | 266  |      | 110,0 |
| M + 5S            | ppm      | 531  |      |      |      |       |

Konsentrasjonsgrupperingen for de geokjemiske kart ble valgt ved en avrunding av tallene i tabell 1. Den gruppering som derved kommer frem er oppstilt i tabell 2.

Tabell 2.

Valgte grenser for konsentrasjonsgrupper på de geokjemiske kart. (Enhet ppm).

| Fra    | Til    | Cu      | Zn      | Ni      | Ag x)   | CxTM     |
|--------|--------|---------|---------|---------|---------|----------|
| -      | M      | 1- 8    | 3- 26   | 0-15    | 0 -0,1  | 0 -1,0   |
| M      | M + 1S | 9-19    | 27- 60  | 16-30   | 0,2-0,3 | 1,1-3,2  |
| M + 1S | M + 2S | 20-43   | 61-140  | 31-63   | 0,4-0,5 | 3,3-10,6 |
| M + 2S | M + 3S | 44-100  | 141-325 | 64-130  | 0,6-0,7 | 10,7-34  |
| M + 3S | M + 4S | 101-230 | 326-550 | 131-268 | 0,8-0,9 | 35 -110  |
| M + 4S | M + 5S | 231-530 |         | 333     |         | 120      |
| M + 5S |        | 600     |         |         |         |          |

x) Grupperingen for Ag er hovedsakelig gjort etter skjønn i det analyse-nøyaktigheten er relativt dårlig.

Prøvemummer og analyseresultater er inntegnet på kart i målestokk 1:20 000. Analyseresultatene er i denne målestokk angitt både med tall og med figurer, se tabell 3. Disse kart er samlet i egne bind, (Bind II, III, IV), som følger rapporten.

Symbolkartene i målestokk 1:20 000 er sammenfotografert i målestokk 1:50 000. Kartene i målestokk 1:50 000 finnes bak i rapporten, (Bind I). Se tabell 4.

Alle kart i målestokk 1:20 000 og 1:50 000 er delt opp etter AMS-inndelingen.

Ved vurdering av de geokjemiske kart ble 7 anomalier, eller anomaliområder utskilt. Anomaliområdene ble nummerert fortøpende i den rekkefølge de antas å burde bli prioritert ved eventuelle videre undersøkelser.

I det følgende blir disse anomalier beskrevet på skjematisk måte. Omtrentlig koordinat-angivelsene er etter AMS, serie M.711. En subjektiv karakteristikk av anomaliene er gitt med følgende tegn:

- +++ meget sterk anomali
- ++ sterk anomali
- + svak anomali
- ingen eller usikker anomali

Anomali 1. (Plansje 761-62)

RAITE 2033 IV A og B

Koordinater E 17-19

N 86-90

Noaidejokka og sidebekker til Noaidejokka.

|                       | Cu          | Zn          | Ni          | Ag          | CxTM        |
|-----------------------|-------------|-------------|-------------|-------------|-------------|
| Henv. til plansje nr. | 21/22<br>52 | 31/32<br>56 | 26/27<br>54 | 46/47<br>58 | 36/37<br>60 |
| Antall S over median  | 2-6         | 2-3         | 1-2         | 2-4         | 2-5         |
| Prøver over M + 2 S   | 23          | 9           | 0           | 2           | 13          |
| Karakteristikk        | +++         | ++          | -           | ++          | +++         |

Anomali 2. (Plansje 761-61)

BAEIVASGIEDDE 2033 III C

Koordinater E 11

N 67

Lite tilløp til Bautajokka fra SØ lengst i syd i det prøvetatte området.

|                       | Cu    | Zn    | Ni    | Ag    | CxTM  |
|-----------------------|-------|-------|-------|-------|-------|
| Henv. til plansje nr. | 25/51 | 30/55 | 30/53 | 50/57 | 40/59 |
| Antall S over median  | 2-3   | 3-4   | 3-4   | 2-3   | 1-2   |
| Prøver over M + 2 S   | 4     | 4     | 4     | 4     | 0     |
| Karakteristikk        | ++    | +++   | +++   | ++    | -     |

Anomali 3. (Plansje 761-61)

BAEIVASGIEDDE 2033 III D

Koordinater E 12-13

N 72-73

Små tilløp fra øst på høyde med og like syd for Aggasjavre.

|                       | Cu    | Zn    | Ni    | Ag    | CxTM  |
|-----------------------|-------|-------|-------|-------|-------|
| Henv. til plansje nr. | 23/51 | 33/55 | 28/53 | 48/57 | 38/59 |
| Antall S over median  | 1-3   | 2-3   | 2-3   | 0-3   | 1-2   |
| Prøver over M + 2 S   | 1     | 3     | 3     | 1     | 0     |
| Karakteristikk        | +     | +     | +     | +     | -     |

Anomali 4. (Plansje 761-61)

BAEIVASGIEDDE 2033 III D

Koordinater E 10-13

N 76-80

Spredte høye konsentrasjoner i Bautajokka og Karasjokka i området rundt sammenløpet av disse 2 elver.

|                       | Cu    | Zn    | Ni    | Ag    | CxTM  |
|-----------------------|-------|-------|-------|-------|-------|
| Henv. til plansje nr. | 23/51 | 33/55 | 28/53 | 48/57 | 38/59 |
| Antall S over median  | 2-3   | 0-2   | 1-3   | 0-3   | 1-2   |
| Prøver over M + 2 S   | 5     | 0     | 10    | 1     | 0     |
| Karakteristikk        | ++    | -     | +     | +     | -     |

Anomali 5. (Plansje 761-62)

RAITE 2033 IV C

Koordinater E 14-16

N 91-95

Vuoleb Galdojokka med omgivelser lengst nord i det prøvetatte området.

|                       | Cu    | Zn    | Ni    | Ag    | CxTM  |
|-----------------------|-------|-------|-------|-------|-------|
| Henv. til plansje nr. | 21/52 | 31/56 | 26/54 | 47/58 | 36/60 |
| Antall S over median  | 1-3   | 2-3   | 1-3   | 0-2   | 0-2   |
| Prøver over M + 2 S   | 1     | 4     | 13    | 0     | 0     |
| Karakteristikk        | -     | +     | +     | -     | -     |

Anomali 6. (Plansje 761-62)

RAITE 2033 IV C

Koordinater E 89-90

N 14-15

Karasjokka med små sidebekker fra Nuorrojokkas munning og 2-3 km nordover.

|                       | Cu    | Zn    | Ni    | Ag    | CxTM  |
|-----------------------|-------|-------|-------|-------|-------|
| Henv. til plansje nr. | 21/52 | 31/56 | 26/54 | 47/58 | 36/60 |
| Antall S over median  | 2-4   | 2-4   | 2-5   | 0-3   | 0-2   |
| Prøver over M + 2 S   | 3     | 2     | 8     | 2     | 0     |
| Karakteristikk        | +     | +     | ++    | +     | -     |

Anomali 7. (Plansje 761-62)

RAITE 2033 IW C

Koordinater E 14-15

N 85

Liten bekk fra Ø ved Dalabojegvatte.

|                       | Cu    | Zn    | Ni    | Ag    | CxTM  |
|-----------------------|-------|-------|-------|-------|-------|
| Henv. til plansje nr. | 21/52 | 31/56 | 26/54 | 47/58 | 36/60 |
| Antall S over median  | 0-2   | 1-3   | 1-2   | 0-2   | 0-2   |
| Prøver over M + 2 S   | 0     | 2     | 0     | 0     | 0     |
| Karakteristikk        | -     | +     | -     | -     | -     |

## DISKUSJON

Den følgende drøfting av resultatene er delt i 3:

1. Først gjøres noen betrakninger av de geokjemiske resultater på bakgrunn av de kjente mineraliseringer.
2. Dernest følger en kort oversikt over gulletts løselighet under suprogene betingelser. Hensikten med dette er å belyse mulige sammenhenger mellom forekomst av alluvialt gull og bekkesedimentanomalier.
3. Tilslutt er de utskilte geokjemiske anomalier sammenholdt enkeltvis med noen av de tilgjengelige geologiske og geofysiske data for det undersøkte området.

### Geokjemiske anomalier - kjente forekomster.

Det er ingen enkel sammenheng mellom de kjente jernforekomster og de geokjemiske anomalier. Forsåvidt er en slik sammenheng ikke å vente i og med at bekkesedimentene ikke er analysert på jern. Imidlertid har som kjent Wennervirta rapportert sulfidmineraliseringer i forbindelse med jernkvartsittene (se side 8). Etter beskrivelsen har sulfidmineraliseringen dog så beskjedne mektigheter, at det virker usannsynlig at de skulle gi bekkesedimentanomalier av noen betydning. Dette bør likevel ikke oversees:

1. Man har lite kjennskap til hvor utbredt denne sulfidmineraliseringen er.
2. Som kjent bryter isbreene ned fast fjell og legger det igjen som oppknust materiale i løsdekket. En forekomst i fast fjell, som opprinnelig har beskjedne overflater eksponert for vann og luft, kan av isbreene bli nedknust slik at dens samlede overflate blir enorm. Mineraliseringen kan derved bli lett tilgjengelig for forvitring. Isbevegelsen har i det undersøkte området vært mot nord (Bjørlykke 1966). Morenemateriale eller annet løsdekket dannet fra eventuelle kismineraliseringer i fast fjell nær de kjente jernforekomster, må ha blitt avsatt nord for jernforekomstene. De geokjemiske anomalier 1, 5, 6, 7 ligger nord for de kjente jernforekomstene. En sammenheng mellom disse anomalier og den kismineraliseringen rapportert ved jernkvartsittene er derfor ikke umulig. Dette gjelder spesielt anomaliene 1 og 6.

I tillegg til kismineraliseringen i forbindelse med jernkvartsittene er kis funnet som uregelmessige aggregater hist og her i fast fjell langs Karasjokkas leie. En sammenheng mellom denne mineraliseringstype og noen av de geokjemiske anomalier er mulig. Dette vil bli påpekt i hvert tilfelle under den enkeltvise behandling av de geokjemiske anomalier.

#### Geokjemiske anomalier - alluvialt gull.

Det er kjent at gull vandrer under supergene forhold, se f.eks.: Goldschmidt (1958); Hawkes & Webb (1962). Mekanismene for gulletts vandring er ennå ikke helt klarlagt, men man er enige om endel hovedtrekk: (Ogryslo, 1935; Frondel, 1938; Krauskopf, 1951; Cloke and Kelly, 1964; Goni, Guillemin & Sarsia, 1967). I surt miljø med  $\text{Cl}^-$  overskudd og i nærvær av oksydasjonsmidler som  $\text{MnO}_2$ ,  $\text{Fe}^{+++}$ ,  $\text{Cu}^{++}$  kan gull gå i løsning som  $\text{AuCl}_4^-$ . I nøytralt eller alkalisk sulfidholdig miljø kan gull løses som  $\text{AuS}^-$ . Når en ioneløsning av gull kommer i kontakt med reduksjonsmidler, f.eks. humus, kan gullet reduseres ut i colloidal form. En slik gull-sol kan være stabil under en rekke betingelser, men gullet kan også koagulere ved f.eks. fortynning, variasjon i elektrolytt, forandring av pH/Eh. Følgelig hindrer ikke gulletts kjemi at alluvialt gull kan være dannet ved utfelling fra gullholdige løsninger. En forekomst av alluvialt gull kan i såfall anses å være et spesielt tilfelle av en bekke-sediment-anomali. Opphavet for det alluviale gull i Karasjokka kan derfor være sulfidmineraliseringer i elvens nedslagsområde. I denne forbindelse er det av interesse å merke seg at de kjente jernkvartsittene i Karasjok inneholder mangan. Fire- eller høyere-verdig mangan er nettopp ett av de oksydasjonsmidler som er sterke nok til å bringe Au i løsning. Av interesse er det også at gull i Finland er sett assosiert til magnetkis (se side 5). En undersøkelse av eventuell sammenheng mellom de oppnådde geokjemiske anomalier og forekomster av alluvialt gull, ville derfor være ønskelig. I noen tilfelle ser det ut til å være en slik sammenheng. F.eks. ligger Baltos gullfelt i det område der Noaidejokka (anomali 1) munner ut i Karasjokka, Storfossen gullfelt ligger innenfor anomali 6, Kristiansens gullfelt og gullfeltet ved Gæsajokka er i samme område som anomali 4. Hvorvidt en sammenheng er regelen, måtte kunne bedømmes ved å plotte alle kjente gullfelter på samme kartgrunnlag som de geokjemiske kart. I alle fall ser det ut til å være en sammenheng mellom høye Ag-konsentrasjoner og  $\text{HxCu/CxTM}$ -anomaliene.

NGU har tidligere ingen erfaring med Ag i bekkesedimenter, og analysemetoden er også noe usikker, da de oppnådde konsentrasjonene er nær analysemetodens følsomhetsgrense. En nærmere vurdering av Ag-anomalienes betydning er derfor vanskelig å gi.

De enkelte geokjemiske anomalier - geologiske og geofysiske data.

De geologiske observasjoner er fra Wennervirta (196). De geofysiske data er tatt fra NGU-kartene nummer 377-28, 377-29, 377-32, 377-33.

Når geokjemiske resultater sammenholdes med geofysiske og geologiske data, er det viktig å merke seg at de forskjellige datakategoriene refererer seg til ulike målepunkter. Således gjelder de geofysiske resultater strengt tatt bare for de flymålte profiler. De geofysiske anomalier kan derfor ha sine egentlige maksimalverdier et eller annet sted mellom profilene. De geokjemiske resultater er knyttet til bekkene. Sporelementinnholdet i en bekks sedimenter vil til en viss grad avspeile sporelementinnholdet i hele bekkens nedslagsområde. Geokjemiske og geofysiske anomalier må derfor anses sammenfallende når den anomale bekks nedslagsområde faller sammen med området mellom naboprofilene til den geofysiske anomali.

Anomali 1. Plansje 761-62

Kartblad 2033 IV

Geologiske observasjoner: Noaidejokka renner for størstedelen i "amfibolitt, hornblendegneis", men også i "glimmerskifer, gneis, grafittskifer".

Geofysiske data: Sammenfallende elektromagnetisk og magnetisk anomali forekommer nær den geokjemiske anomalis optimum.

Kommentarer: Den relativt sterke CxTM anomali tyder på at kjemiske prosesser dominerer under forvitringen av kilden for anomalien. Sterk kjemisk forvitring indikerer under de klimatiske forhold i indre Finnmark sannsynligvis ett eller flere av følgende alternativer:

1. Sulfidmineralisering i kullstoffholdige skifre.
2. Magnetkisholdig mineralisering.
3. Mineraliseringen har store overflater eksponert for vann og luft.

HxCu og HxZn er sterkt anomale, mens HxNi viser svak anomali. Til sammenligning nevnes: Ingajokka ved Masi, Kautokeino drenerer en forekomst som antas å bestå av grafittskifer med magnetkis. (NGU-rapport 254 C). Forekomsten viser sterkt kjemisk forvitring. Bekkesedimentanomalien i Ingajokka har høy HxNi og HxCu, men lav HxZn, (Bølviken 1967). Dette skulle tyde på at årsaken til anomali nr. 1 er forskjellig fra årsaken til den geokjemiske anomali i Ingajokka.

Anomali nr. 1 bør følges opp med prioritet foran de andre anomalier.

Anomali 2. Plansje 761-61

Kartblad 2033 III

Geologiske observasjoner: Den anomale bekk renner i "glimmerskifer, gneis, grafittskifer".

Geofysiske data: Ingen (Utenfor målt område).

Kommentarer: Kombinasjonen Ni/Zn/Cu anomali kan indikere en økonomisk sulfidmineralisering i kullstoffholdige skifre. De geologiske observasjoner taler for en slik tolkning av anomalien. Imidlertid kan også en mineralisering av økonomisk interesse godt tenkes å gi det samme geokjemiske anomalibilde. Hvilken betydning ølvanomalien har er usikkert.

Anomali 2 bør følges opp med prioritet etter anomali 1.

Anomali 3. Plansje 761-61

Kartblad 2033 III

Geologiske observasjoner: Noe komplisert bilde, dels "glimmerskifer, gneis, grafittskifer", dels "amfibolitt, hornblendegneis" og "amfibolitt-clorittbergarter".

Geofysiske data: Mangler (Utenfor målt område).

Kommentarer: Relativt svak anomali, kombinasjonen Cu, Zn, Ni anomali kan indikere sulfid-mineralisering i grafittskifer.

Anomali 4. Plansje 761-61

Kartblad 2033 III

Geologiske observasjoner: Overveiende "amfibolitt, hornblendegneis", men straks syd for sammenløpet mellom Karasjokka og Bautajokka finnes blotninger av "glimmerskifer, gneis, grafittskifer". Små aggregater av en kismineralisering er iakttatt i anomaliområdet.

Geofysiske data: Ingen elektromagnetisk anomali. Relativt regelmessig, N-S gående magnetisk drag.

Kommentarer: Den iakttatte spredte kismineralisering er en rimelig forklaring på anomaliens årsak.

Anomali 5. Plansje 761-62

Kartblad 2033 IV

Geologiske observasjoner: Veksrende geologi, "glimmerskifer, gneis, grafittskifer" dominerer.

Geofysiske data: Markerte elektromagnetiske anomalier.

Kommentarer: Av de geokjemiske anomalier er nikkelanomaliene mest markert. Det er rimelig å anta at sulfidmineraliserte grafittskifre er årsak til anomaliene.

Anomali 6. Plansje 761-62

Kartblad 2033 IV

Geologiske observasjoner: I anomaliområdet følger Karasjokkas løp grensen mellom "amfibolitt-clorittbergarter" og "glimmerskifer, gneis, grafittskifer".

Geofysiske data: Rolig magnetisk bilde. Ingen elektromagnetisk anomali i umiddelbare nærhet, dog finnes en E.m.-anomali litt østenfor.

Kommentarer: Anomalien kan tenkes å ha sammenheng med den spredte kismineralisering som er iakttatt i Karasjokkas elveløp.

Anomali 7. Plansje 761-62

Kartblad 2033 IV

Geologiske observasjoner: Variert geologisk bilde, overveiende "glimmerskifer, gneis, grafittskifer".

Geofysiske data: Sterk magnetisk anomali med tilhørende elektromagnetisk anomali like nord for den geokjemiske anomali.

Kommentarer: Den geokjemiske anomali er ikke særlig markert, og bør sannsynligvis vike prioritet for de 6 andre anomalier.

#### OPPSUMMERING OG KONKLUSJON

Ved analyse av bekkesedimenter fra Karasjok på lettloselige tungmetaller og syreløselig henholdsvis kobber, sink, nikkel og sølv, er det utskilt 7 anomalier eller anomaliområder nummerert fortløpende fra 1 til 7. Anomaliene anbefales fulgt opp med prioritet i den rekkefølge de er nummerert.

Det kan i noen tilfelle se ut til å være en viss sammenheng mellom forekomst av alluvialt gull og bekkesedimentanomalier. Det anbefales å undersøke dette nærmere ved inntegning av alle gullfelter og andre lokaliteter for gullfunn på samme kartgrunnlag som de geokjemiske kart. Litteraturstudier viser at gull ved kjemisk forvitring under supergene betingelser kan gå i løsning og felles ut på nytt. Kilden for en del av det alluviale gull i Karasjokka kan derfor være sulfidmineraliseringer som undergår resent kjemisk forvitring.

Trondheim, 21.juni 1968.

Bjørn Bølviken  
Bjørn Bølviken

Litteraturliste:

Bjørlykke, H. (1966). De alluviale gullforekomster i Indre Finnmark. N.G.U. nr. 236.

Bloom, H. (1955). A field method for the determination of ammoniumcitrat soluble heavy metals in soils and alluvium. Econ. Geol. 50, 533.

Bølviken, B. (1967). Recent geochemical prospecting in Norway. I:Kvalheim, A. (red). Geochemical Prospecting in Fennoscandia. Interscience Publishers. Side 243-245.

Cloke, P.L. and Kelly, W.C. (1964). Solubility of gold under inorganic supergene conditions. Econ. Geol. Vol. 59, side 259.

Frondel, C. (1938). Stability of colloidal gold under hydrothermal conditions. Econ. Geol. Vol. 33, pp 1-20.

Goldschmidt, V.M. (1958). Geochemistry. Oxford and the Clarendon Press. Side 202-204.

Goni, J., Guillemin, C., Sarcia, C. (1967). Géochimie de l'or exogène. Mineralium Deposita 1, 259-268.

Guttman, I., Wilks, S.S. (1965). Introductory Engineering Statistics. John Wiley & Sons, Inc. Side 120-122.

Hawkes, H.E., Webb, J.S. (1962). Geochemistry in mineral exploration. Harper & Row. Side 366.

Hubaux, A. (1961). Representation graphique des distributions d'oligo-éléments. Ann. Soc. Geol. de Belg. Side 279-296.

Krauskopf, K.B. (1951). The solubility of gold. Econ. Geol. Vol. 46, side 858-870.

Ogryzlo, S.P. (1935). Hydrothermal experiments with gold. Econ. Geol. Vol. 30, pp. 400-424.

Tennant, C.B., White, M.L. (1959). Study of the distribution of some geochemical data. Econ. Geol. Vol. 54, side 1281-1290.

Wennervirta, H. (196 ). Karasjokområdets geologi. Manuskript for trykking i N.G.U.'s publikasjonsserie.

er  
NGU rapporter som det er henvist til i teksten.

- | <u>Nr.</u> | <u>Tittel og år.</u>  |
|------------|---|
| 114        | Geologiske/geofysiske/geokjemiske malmundersøkelser Gorzze-jokka -- Scienccanjokka Karasjok 1953. |
| 137        | Geofysisk/geologiske malmundersøkelser Karasjok 1954.   |
| 159        | Geofysisk/geologisk undersøkelse Karasjok jernmalmfelter, Karasjok 1955.                          |
| 183 )      | Geologisk, geofysisk undersøkelse og diamantboring Karasjok                                       |
| 184 )      | jernmalmfelter 1956.  |
| 204 C      | Magnetisk rekognosering, diamantboring Bakkelvarre, Suolomaras og Guoikkavarre Karasjok 1957.     |
| 205        | Diamantboringer Guoikkavarre og Suolomaras 1957.  |
| 254 C      | Geologisk rekognosering og blokkundersøkelser Kautokeino - Kvænangen -- NordReisa.                |

Tabell 3. Kartbilag. Bind II, III og IV

| Plansje nr. | Kartblad 2033 | Art                                       |  |  |  |  |  |      |
|-------------|---------------|---|--|--|--|--|--|------|
| 761 - 6     | IV C          | Prøvenummer                               |  |  |  |  |  | )    |
| 7           | IV B          | " "                                       |  |  |  |  |  |      |
| 8           | III D         | " "                                       |  |  |  |  |  |      |
| 9           | IV A          | " "                                       |  |  |  |  |  |      |
| 10          | III C         | " "                                       |  |  |  |  |  |      |
| 11          | IV C          | HNO <sub>3</sub> løselig Cu, Ni, Zn, tall |  |  |  |  |  |      |
| 12          | IV B          | " " " " "                                 |  |  |  |  |  | Bind |
| 13          | III D         | " " " " "                                 |  |  |  |  |  | II   |
| 14          | IV A          | " " " " "                                 |  |  |  |  |  |      |
| 15          | III C         | " " " " "                                 |  |  |  |  |  |      |
| 16          | IV C          | Lettløselige tungmetaller, tall           |  |  |  |  |  |      |
| 17          | IV B          | " " " "                                   |  |  |  |  |  |      |
| 18          | III D         | " " " "                                   |  |  |  |  |  |      |
| 19          | IV A          | " " " "                                   |  |  |  |  |  |      |
| 20          | III C         | " " " "                                   |  |  |  |  |  | )    |
| 21          | IV C          | HNO <sub>3</sub> løselig Cu, symboler     |  |  |  |  |  | )    |
| 22          | IV B          | " " " "                                   |  |  |  |  |  |      |
| 23          | III D         | " " " "                                   |  |  |  |  |  |      |
| 24          | IV A          | " " " "                                   |  |  |  |  |  |      |
| 25          | III C         | " " " "                                   |  |  |  |  |  |      |
| 26          | IV C          | HNO <sub>3</sub> løselig Ni, symboler     |  |  |  |  |  |      |
| 27          | IV B          | " " " "                                   |  |  |  |  |  | Bind |
| 28          | III D         | " " " "                                   |  |  |  |  |  |      |
| 29          | IV A          | " " " "                                   |  |  |  |  |  | III  |
| 30          | III C         | " " " "                                   |  |  |  |  |  |      |
| 31          | IV C          | HNO <sub>3</sub> løselig Zn, symboler     |  |  |  |  |  |      |
| 32          | IV B          | " " " "                                   |  |  |  |  |  |      |
| 33          | III D         | " " " "                                   |  |  |  |  |  |      |
| 34          | IV A          | " " " "                                   |  |  |  |  |  |      |
| 35          | III C         | " " " "                                   |  |  |  |  |  | )    |
| 36          | IV C          | lettløselige tungmetaller, symboler       |  |  |  |  |  | )    |
| 37          | IV B          | " " " "                                   |  |  |  |  |  |      |
| 38          | III D         | " " " "                                   |  |  |  |  |  |      |
| 39          | IV A          | " " " "                                   |  |  |  |  |  |      |
| 40          | III C         | " " " "                                   |  |  |  |  |  |      |
| 41          | IV C          | HNO <sub>3</sub> løselig Ag, tall         |  |  |  |  |  |      |
| 42          | IV B          | " " " "                                   |  |  |  |  |  | Bind |
| 43          | III D         | " " " "                                   |  |  |  |  |  |      |
| 44          | IV A          | " " " "                                   |  |  |  |  |  | IV   |
| 45          | III C         | " " " "                                   |  |  |  |  |  |      |
| 46          | IV C          | HNO <sub>3</sub> løselig Ag, symboler     |  |  |  |  |  |      |
| 47          | IV B          | " " " "                                   |  |  |  |  |  |      |
| 48          | III D         | " " " "                                   |  |  |  |  |  |      |
| 49          | IV A          | " " " "                                   |  |  |  |  |  |      |
| 50          | III C         | " " " "                                   |  |  |  |  |  | )    |

Tabell 4. Kartbilag. Bind I.

| <u>Plansje nr.</u> | <u>Kartblad</u> | <u>Art</u>                  |
|--------------------|-----------------|-----------------------------|
| 1 A                | 1:500 000       | Oversiktskart               |
| 51                 | 2033 III        | HNO <sub>3</sub> løselig Cu |
| 52                 | 2033 IV         | " " "                       |
| 53                 | 2033 III        | HNO <sub>3</sub> løselig Ni |
| 54                 | 2033 IV         | " " "                       |
| 55                 | 2033 III        | HNO <sub>3</sub> løselig Zn |
| 56                 | 2033 IV         | " " "                       |
| 57                 | 2033 III        | HNO <sub>3</sub> løselig Ag |
| 58                 | 2033 IV         | " " "                       |
| 59                 | 2033 III        | Lettløselig tungmetall      |
| 60                 | 2033 IW         | " "                         |
| 61                 | 2033 III        | Anomalikart                 |
| 62                 | 2033 IV         | "                           |

K o n t r a k t

Mellom

Aktieselskabet Sydvaranger, Oslo, nedenfor kalt oppdragsgiver, og  
Norges geologiske undersøkelse, Kjemisk avdeling, nedenfor kalt NGU,  
er inngått følgende avtale om utførelse av geokjemiskprospektering:

1. NGU påtar seg å utføre geokjemiskprospektering basert på  
bekkesedimenter i følgende område i Finnmark:  
Et område av ca. 300 km<sup>2</sup> i Øvre Karasjok-området,  
Følgende analyser utføres:  
Prøvene analyseres på CxTM ("Cold extractable" tungmetaller)  
snarest mulig etter prøvetaking. Senere analyseres på Cu, Ni,  
Zn og eventuelt Ag.
2. NGU utfører feltarbeidet med 3 eller 4 mann fra institusjonen  
og 3 hjelgere som skaffes på stedet.
3. NGU leverer innen 1. mars 1968 rapport over undersøkelsen bi-  
lagt kartskisser i egnet målestokk. Hvis oppdragsgiveren ønsker  
det, kan han holdt løpende underrettet om resultatene og  
arbeidets gang.  
Rapporten leveres i 2 eksemplarer. Ekstra kopier av rapporter  
eller kartskisser leveres til selvkostende.
4. NGU holder datamaterialet og rapportkopier betryggende oppbe-  
vart, tilgjengelig for oppdragsgiver. For offentliggjørelse av  
resultater som kan berøre oppdragsgiverens interesser må opp-  
dragsgiverens samtykke innhentes.
5. Oppdragsgiveren betaler NGU et honorar som foreløbig stipuleres  
til kr. 110.- pr. km<sup>2</sup>, beregnet å utgjøre vel 30.000 kroner. I  
tillegg dekker oppdragsgiveren lønn til 3 hjelgere nevnt under  
punkt 2.
6. Transporter til og fra feltet og nødvendige transporter i feltet  
dekkes av oppdragsgiveren.  
Oppdragsgiveren stiller til disposisjon flymosaikker og flybilder  
over områdene og eksisterende kartmateriale o.l. som kan lette  
undersøkelsene og rapporteringen.
7. NGU har anledning til å få forskudd på inntil halvparten av  
honoraret innen utgangen av desember 1967, fordelt med inntil  
kr. 3.000,- pr. måned de tre første månedene av undersøkelsene  
(juli, august og september), og resten av nevnte halvpart i  
desember 1967.

Vedlegg 1 fortsatt.

8. Leder for undersøkelsene er konstruktør Gunnar Næss.  
Representanter for oppdragsgiveren er professor Jens A. W.  
Bugge og berging. Bernt Røsholt.

Trondheim, 7. juni 1967

NORGES GEOLOGISKE UNDERSØKELSE

Kjemisk avdeling

Aslak Kvalheim  
direktør

Bearbeidelse av analyseresultater.

Kartfremstilling.

Analyseresultatene som helhet gi $\ddot{s}$  først en statistisk undersøkelse ved grafisk fremstilling på spesialpapir. (Se kurvebladene, vedlegg 3, 4, 5, 6, 7) Langs abscissen er avsatt konsentrasjonen av vedkommende metall i ppm og langs ordinaten konsentrasjonenes kumulative frekvens i prosent. Abscissens skala er logaritmisk, og ordinatens skala er inndelt etter Gauss integral. (Tennant og White, 1959; Hubaux, 1961; Guttman og Wilks, 1965)

Teoretisk vil en slik fremstillingsmåte gi en rett linje for en lognormalfordeling. Man kan da grafisk finne gjennomsnittet ( $\bar{x}$ ) og standardavviket ( $S$ ) for konsentrasjonenes logaritmer på følgende måte:

Gjennomsnittet  $\bar{x}$  av logaritmene til konsentrasjonene (som tilsvarer mediankonsentrasjonen) er den abscisse som korresponderer med ordinaten 50 %.

Standardavviket,  $S$ , er differensen mellom abscisseavlesningene for kurvens ordinater ved 84, 13 og 50 %. Grafisk fremstilling av sporelementinnholdet i bekkesedimenter slik som angitt ovenfor, vil som regel ikke gi en rett linje. Noen ganger er linjen rett ved de midlere konsentrasjonene, men bøyer av i begge ender. Denne avbøyningen kan skyldes at prøveantallet er lavt. Andre ganger viser linjen en knekk eller et S-formet forløp. De siste 2 tilfeller som er behandlet av Tennant og White (1959), kan skyldes at det finnes 2 populasjoner i det behandlede materiale. Hvis avbøyningen kommer ovenfor 50 % nivået, kan man tenke seg at den ene fordeling er bakgrunnsfordelingen, den normale, som majoriteten av prøvene tilhører. Den andre fordeling er den unormale): den som kommer fra de geokjemiske anomalier. Jo større avviket er fra den rette linje mot høyere konsentrasjoner, dessto sterkere er anomaliene.

I nærværende rapport er den statistiske for-behandling utnyttet på følgende måte:

Bakgrunnsfordelingen er estimert ved å trekke den rettlinjede ekstrapolasjon av den nederste del av fordelingskurven. Gjennomsnitt og standardavbiasjon for denne fordeling finnes grafisk slik som før angitt. For kartfremstillingen er så alle konsentrasjoner lavere enn mediankonsentrasjonen ( $M$ ), (tilsvarende logaritmens gjennomsnitt), slått sammen til 1 gruppe, og

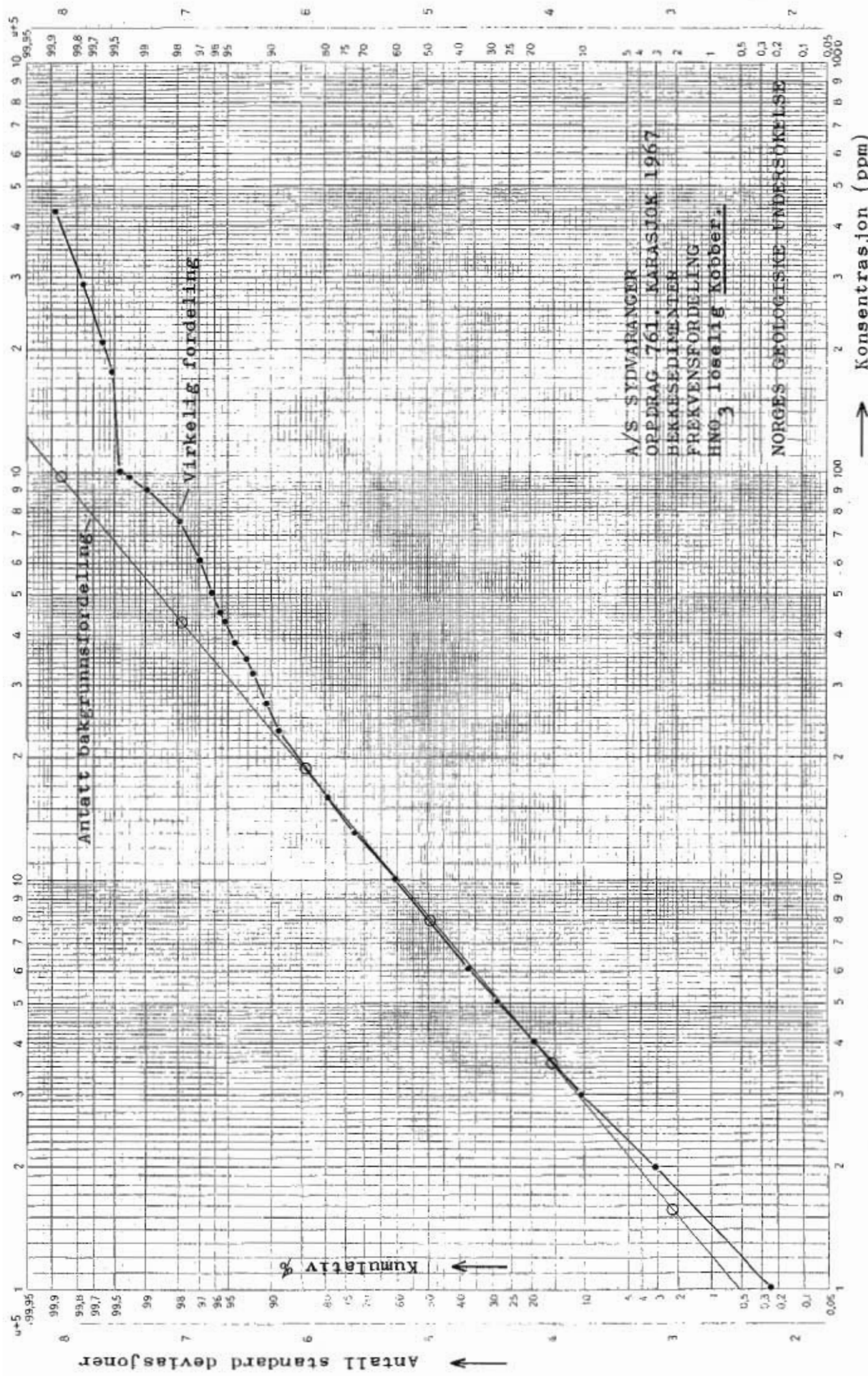
konsentrasjonene høyere enn mediankonsentrasjoner delt opp i grupper begrenset av hele multiplem av den funne standarddeviasjon i fra følgende tabell.

Man ser at antall grupper vil variere ettersom fordelingskurven avviker lite eller mye fra den rette linje. Lite avvik gir få grupper, stort avvik gir flere grupper. Ved et prøveantall på 1000 vil en rettlinjet fordelingskurve gi 5 grupper.

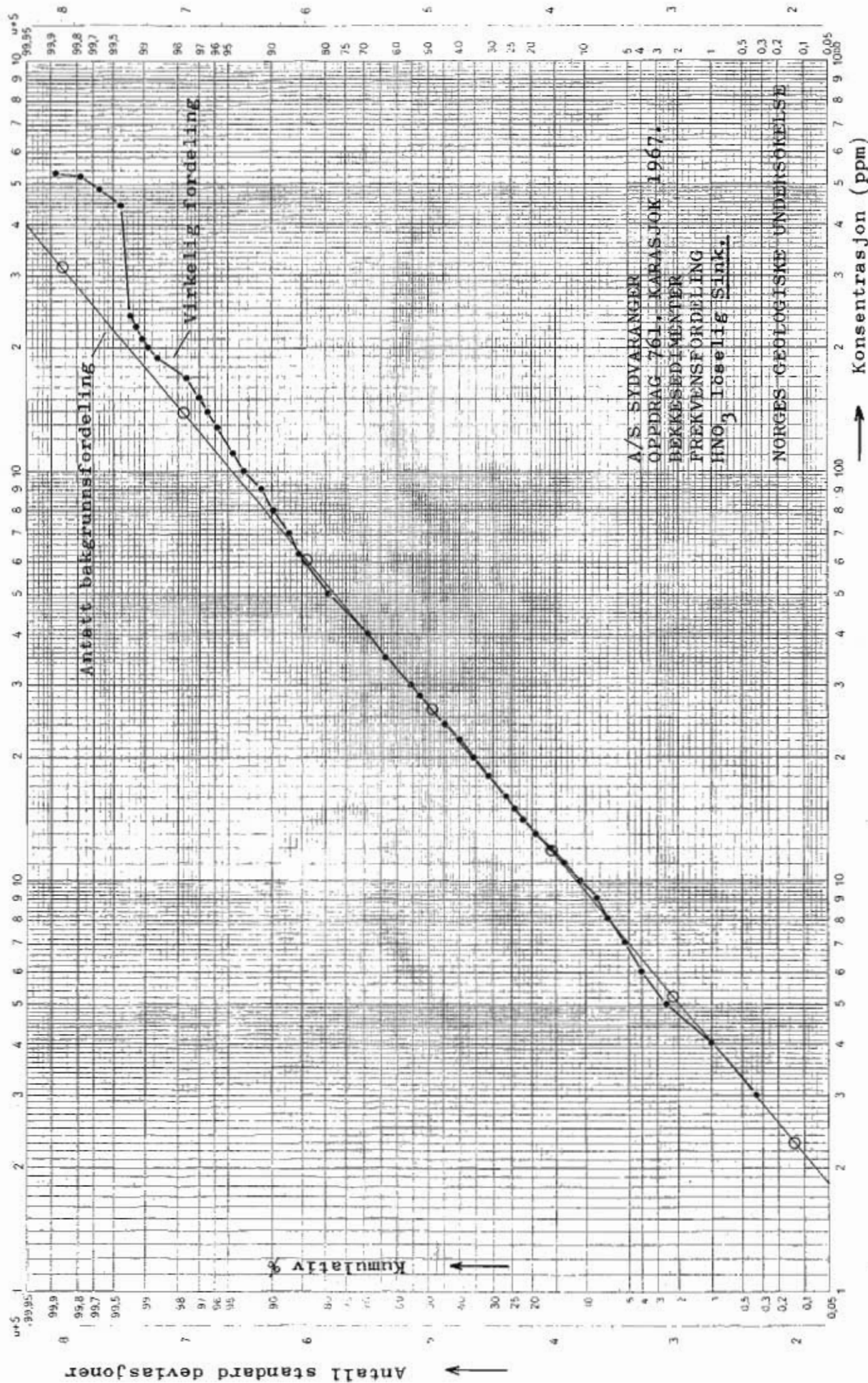
Tabell 1.

Grense for konsentrasjonsgrupper brukt på kartene. (M= median, SD= standarddeviasjon).

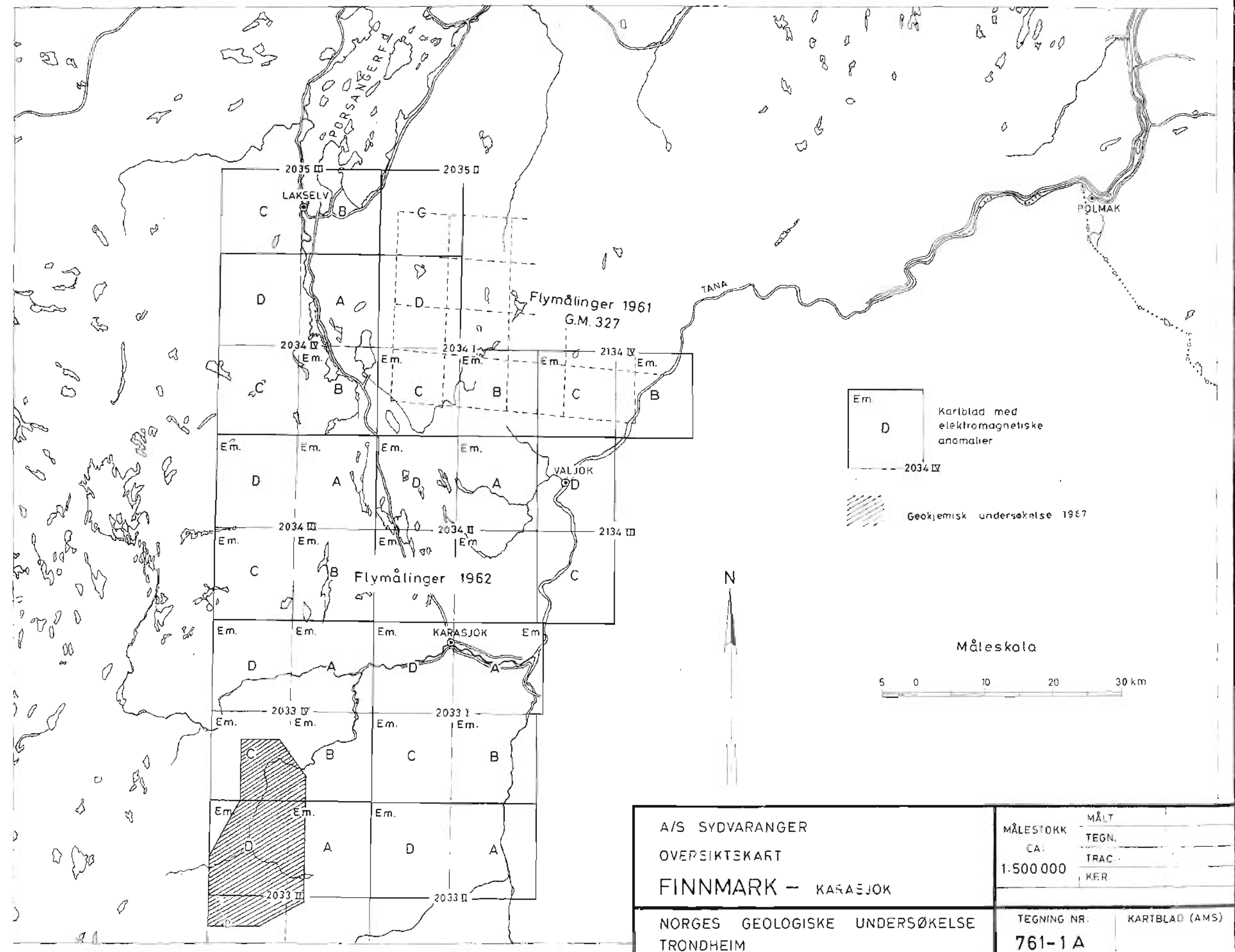
| Gruppe | Nedre grense | Øvre grense | Tilsvarende %  |
|--------|--------------|-------------|----------------|
| 1      | -            | M           | 0 - 50         |
| 2      | M            | M + 1 SD    | 50 - 84,13     |
| 3      | M + 1 SD     | M + 2 SD    | 84,13 - 97,73  |
| 4      | M + 2 SD     | M + 3 SD    | 97,73 - 99,87  |
| 5      | M + 3 SD     | M + 4 SD    | 99,87 - 99,997 |
| 6      | M + 4 SD     | M + 5 SD    | 99,997 -       |
| o.s.v. | o.s.v.       | o.s.v.      | o.s.v. til 100 |

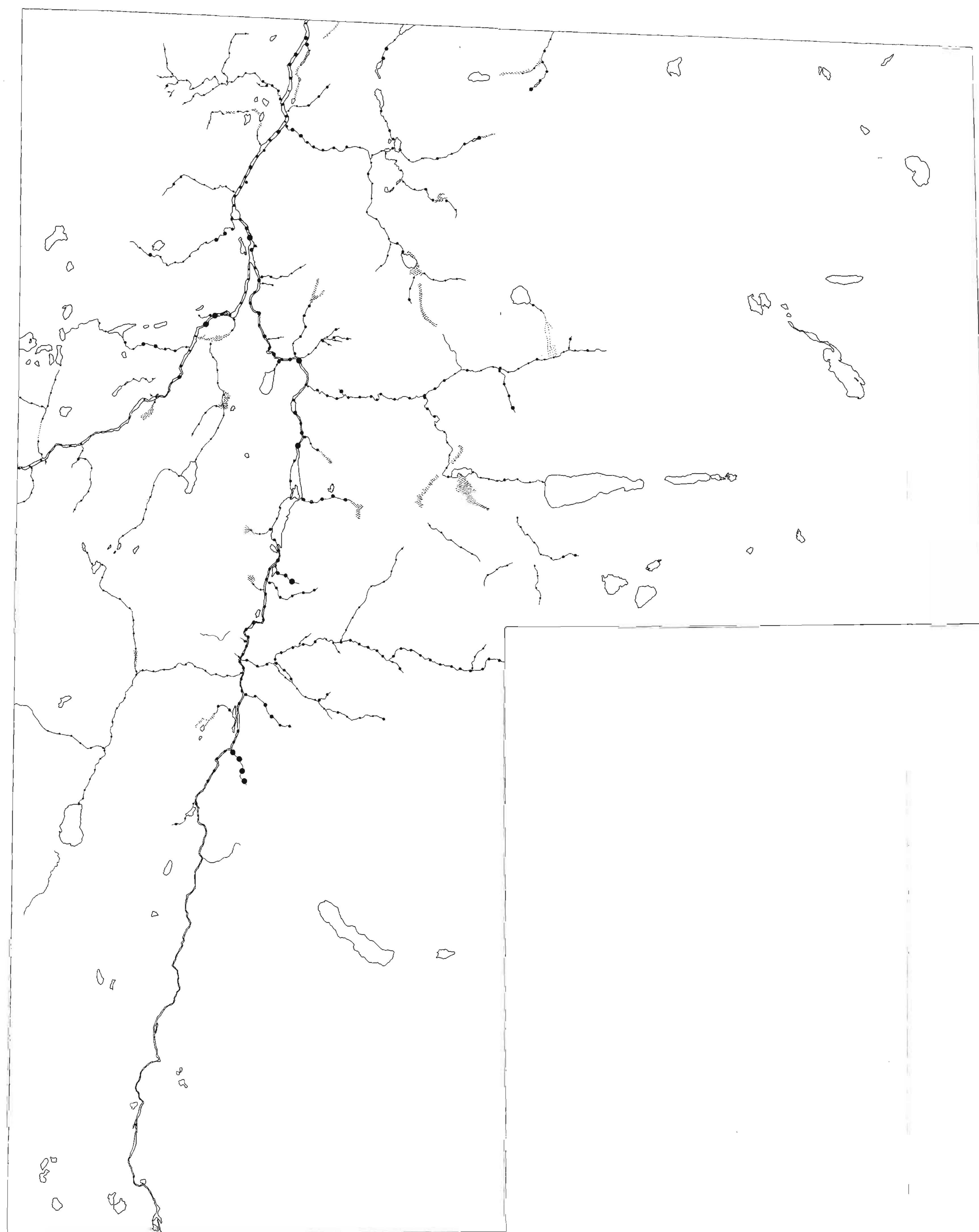


Original etter Gauss Absisse 3 dekader i 83,33 mm.



Ordinat etter Gauss Absisse 3 dekader à 83,33 mm.

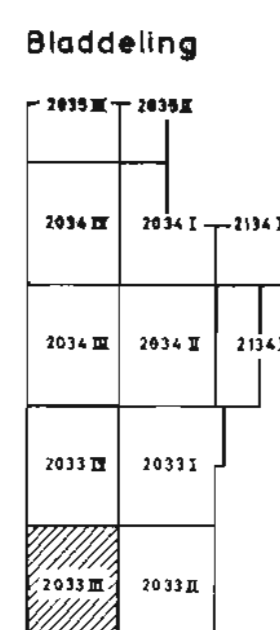




TEGNFORKLARING:

- 1 - 8 ppm
- 9 - 19 ppm
- 20 - 43 ppm
- 44 - 100 ppm
- 101 - 230 ppm
- 231 - 530 ppm
- - 600 ppm

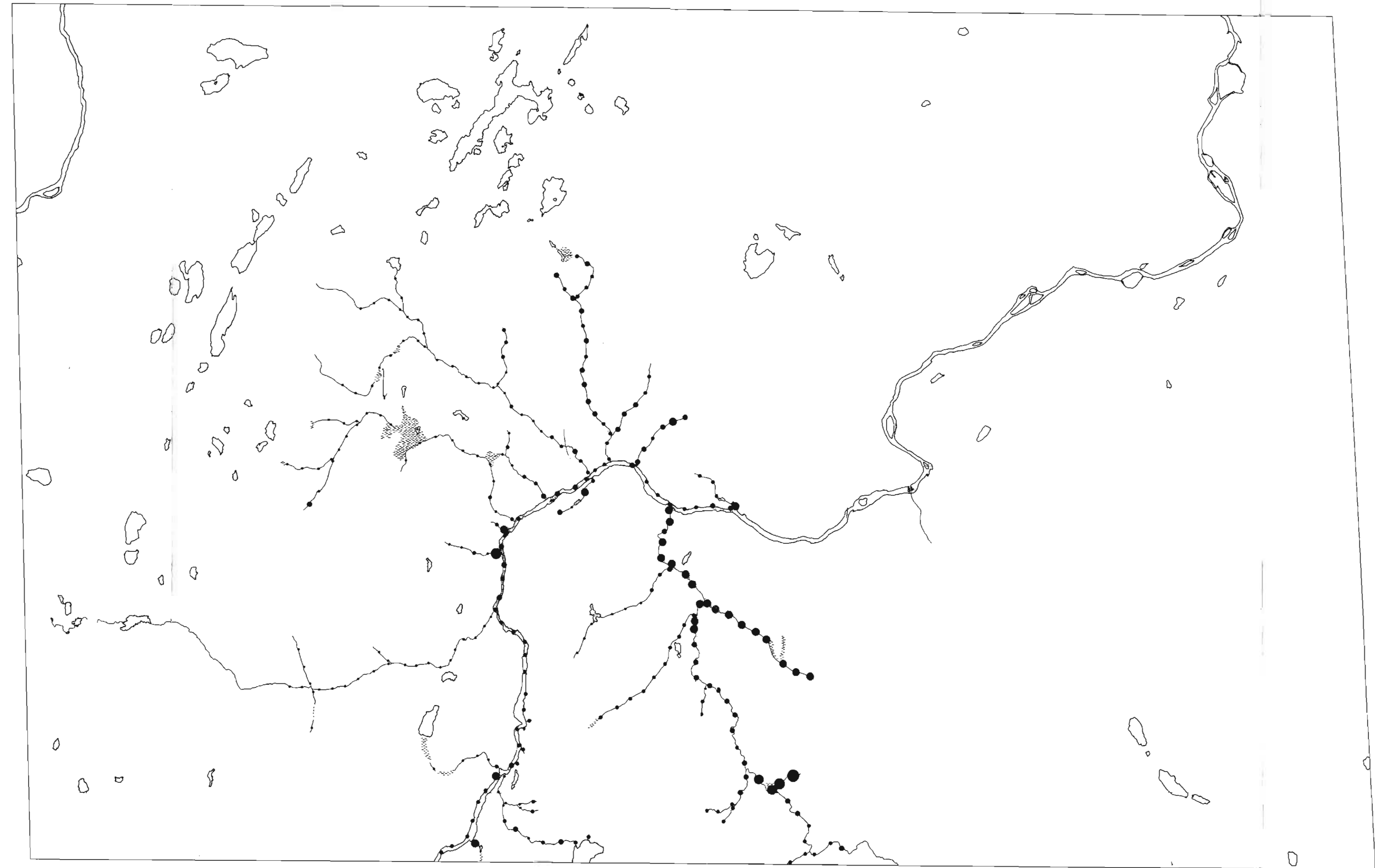
Målestokk  
0.5 0 1 2 km.



A/S SYDVARANGER  
Bekkesedimenter. HNO<sub>3</sub>-løselig kobber.  
**KARASJOK**, Bæivassgiedde.  
NORGES GEOLOGISKE UNDERSØKELSE  
TRONDHEIM

|           |               |             |
|-----------|---------------|-------------|
| MÅLESTOKK | PRT. GN/JE/AH | 28.6-202-67 |
| CA.       | ANAL. BB/AH   | 18.1 1968   |
|           | TEGN. IT      | 7.2 1968    |
| 1:50 000  | K.F.R. Ø.B    | 8.2 1968    |

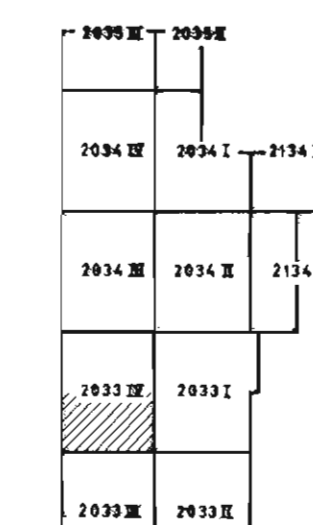
TEGNING NR. 761-51 KARTBLAD (AMS) 2033 III



Måleskaiå

0.5 0 1 2 km.

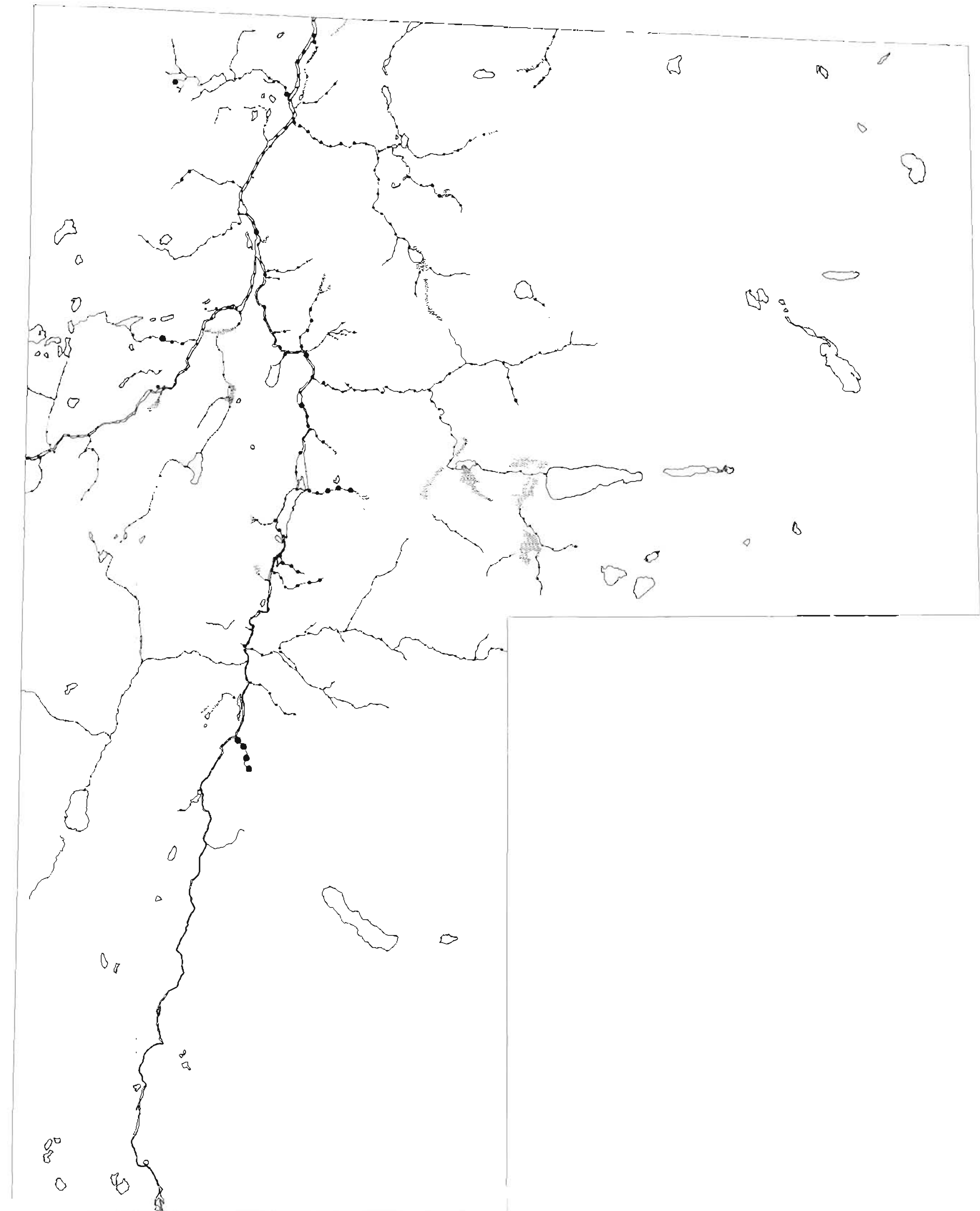
#### Bladdeling



A/S SYDVARANGER  
Bekkesedimenter. HNO<sub>3</sub>-löselig kobber.  
**KARASJOK,** Raita  
NORGES GEOLGISCHE UNDERSØKELSE  
TRONDHEIM

|           |               |              |
|-----------|---------------|--------------|
| MÅLESTOKK | PRT GN/IE/JAH | 20.6-20.7-67 |
| CA.       | ANAL BB/AH    | 18.1. 1968   |
| 1:50 000  | TEGN. IT      | 7.2. 1968    |
|           | KFR. 55       | 8.2. 1968    |

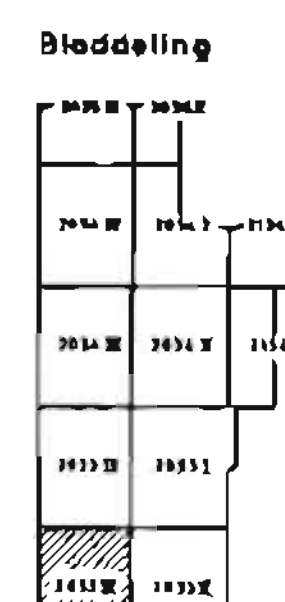
TEGNING NR: 761-52 KARTBLAD (AMS) 2033 IV



TEGNFORKLARING

- 0 - 15 ppm
- 16 - 30 ppm
- 31 - 63 ppm
- 64 - 130 ppm
- 131 - 268 ppm
- 333 ppm

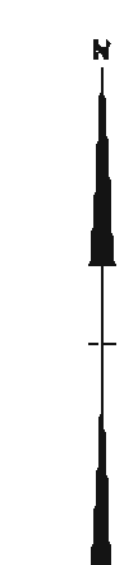
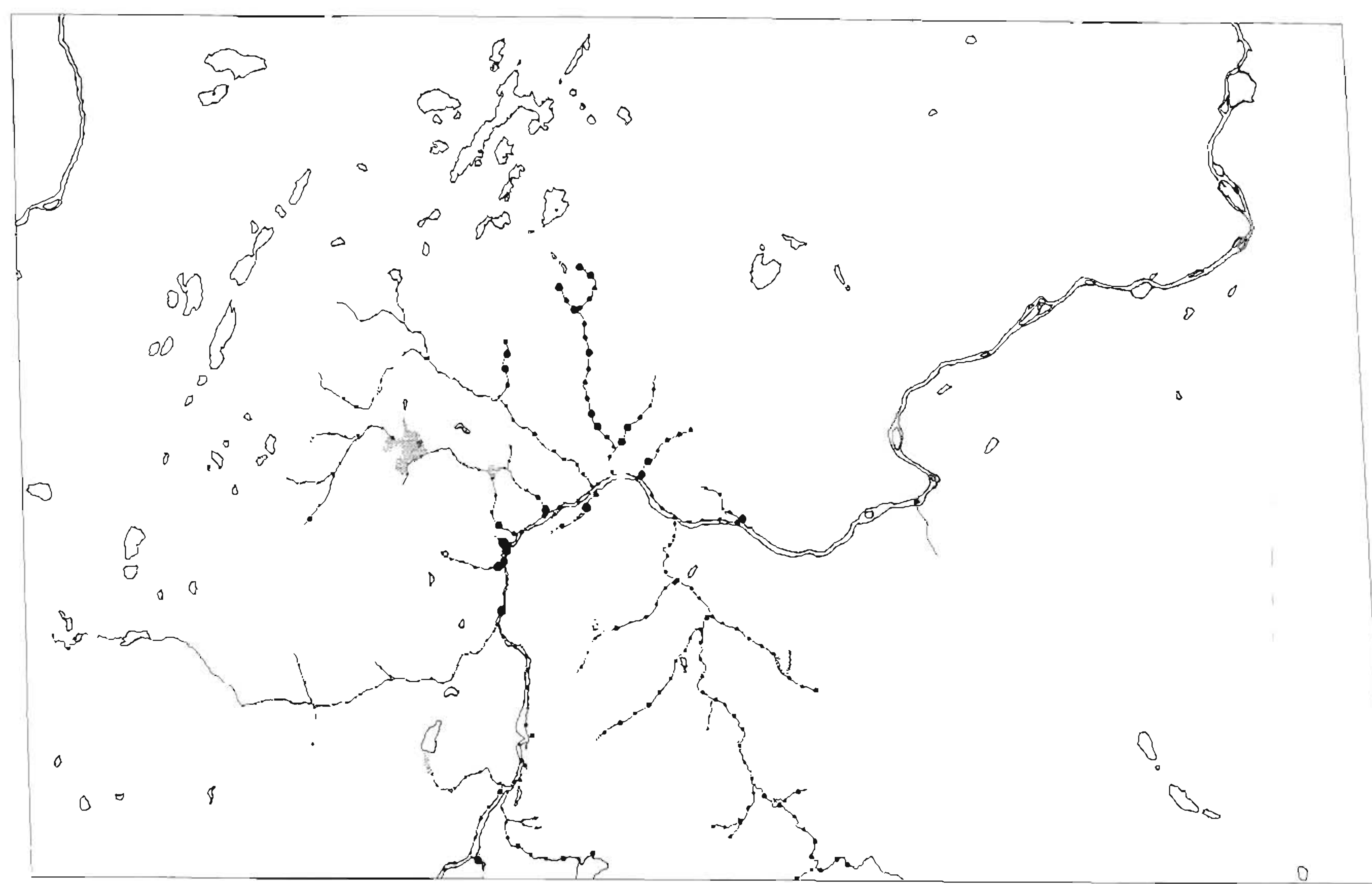
Målefjorden  
0,5 1 2 km



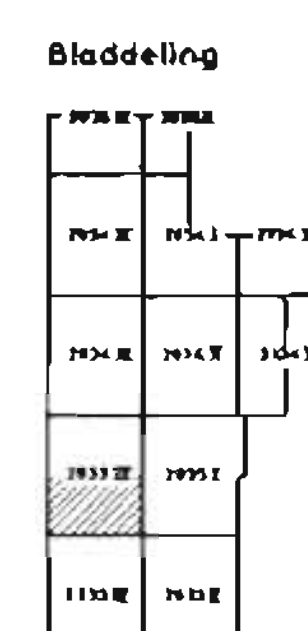
A/S SYDVARANGER  
Bekkesedimenter. HNO3-leseleg nikkel.  
KARASJOK, Basivassgladde  
NORGES GEOLISKE UNDERSØKELSE  
TRONDHEIM

|          |               |            |
|----------|---------------|------------|
| MÅLFJORD | DAT. 6/1/1981 | 284-287-47 |
| CA       | ANAL. BB/AM   | 19.1.1981  |
| 1:50 000 | TEGN. IT      | 102.1980   |
|          | KPR. BS       | 102.1980   |

TEGNING NR.: 761-53 KARTSKAFT (ANSI) 2033 III



Måleskala  
0 1 2 km

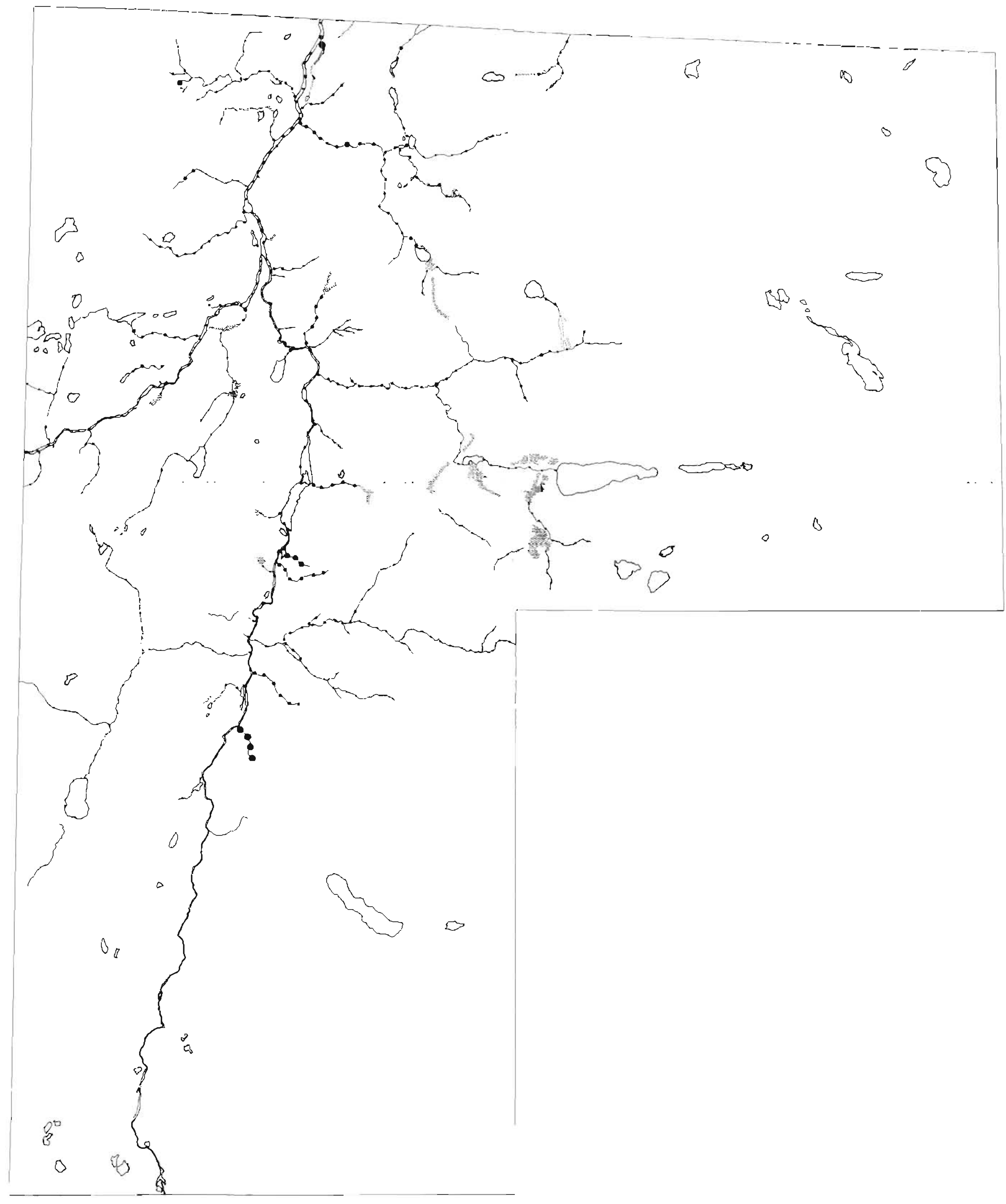


A/S SYDVARANGER  
Bekkesedimenter. HNO<sub>3</sub>, løselig nikkel  
**KARASJOK**, Rølle.

|           |              |            |
|-----------|--------------|------------|
| MÅLESTONE | DRY GM/SEJAH | 284-202-47 |
| CA        | ANAL. B&V/AM | 181 1966   |
| 1:50 000  | TEGN. LF     | 102 1966   |
|           | XFR. ZB      | 102 1966   |

NORGES GEOLOGISKE UNDERSØKELSE  
TRONDHEIM

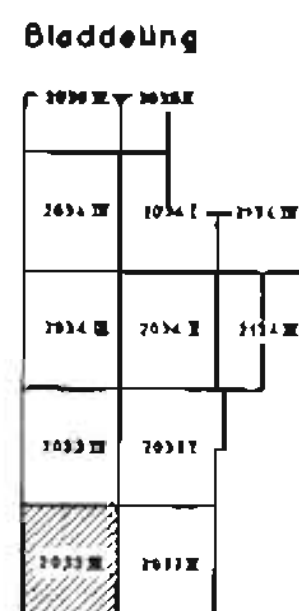
TEGNING NR. 761-54 KARTNUMMER (ANS) 2033 IV



TEGNFORKLARING:

- 3 — 26 ppm
- 27 — 60 ppm
- 61 — 140 ppm
- 141 — 325 ppm
- 328 — 550 ppm

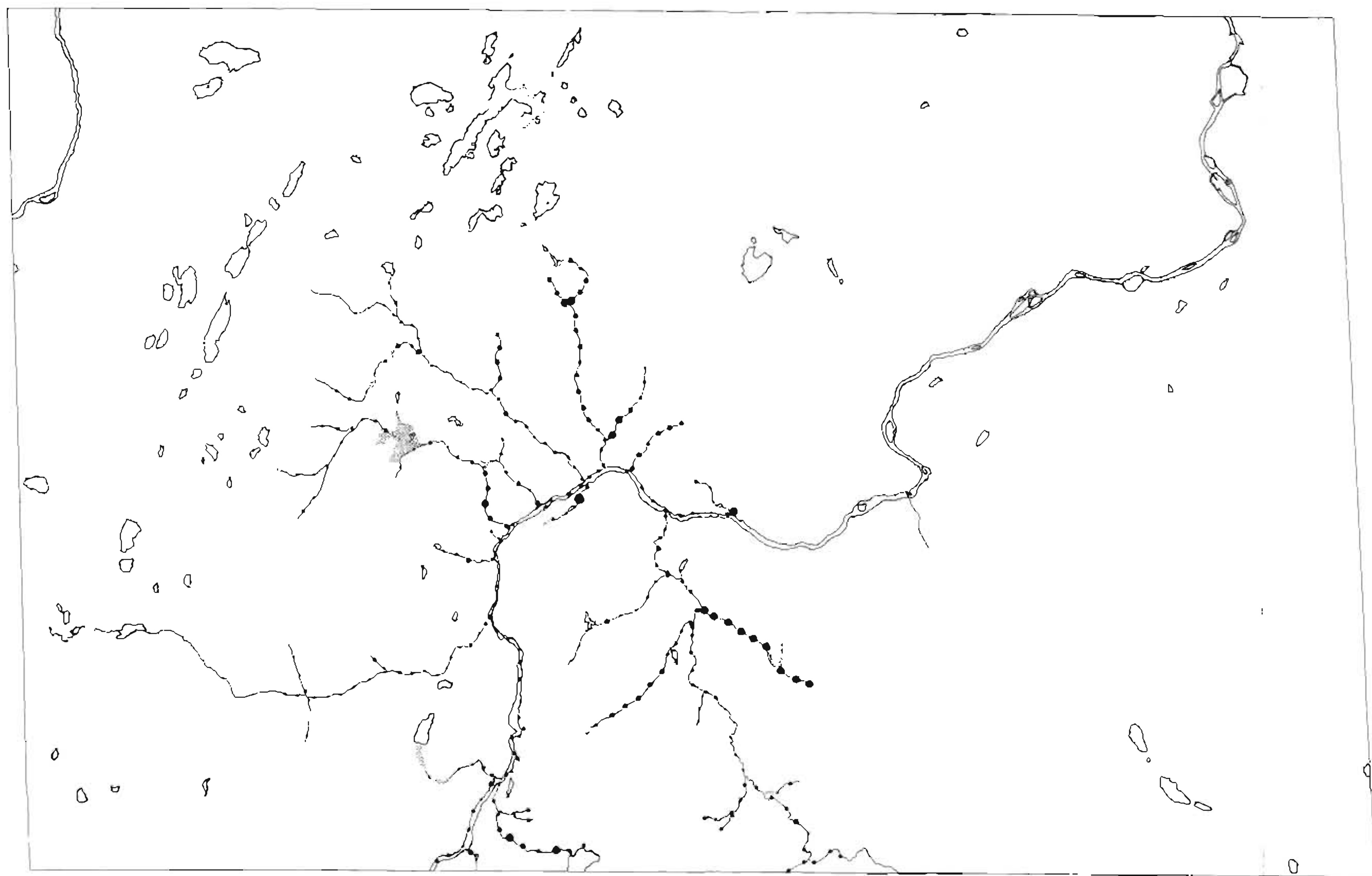
Målestokk  
0 5 1 2 km.



A/S SYDVARANGER  
Bekkesedimenter HNO<sub>3</sub>-leselig sink  
**KARASJOK**, Bælvasgredde.  
NORGES GEOLISKE UNDERSØKELSE  
TRONDHEIM

|                         |          |
|-------------------------|----------|
| PRT SN/IE/AK 761-100-42 | MÅESTORK |
| ANAL RIV/S8 161 1968    | CA       |
| TEGM IT 163 1968        | 1:50 000 |
| KFR B.B 162 1968        |          |

TEGNING NR: 761-55 KARTBLAD (AMS) 2033 III



Målestokk  
0 1 2 km.

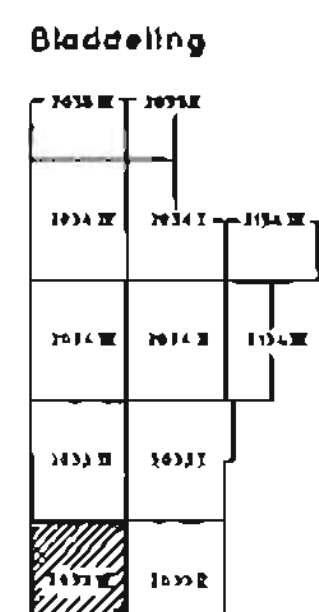
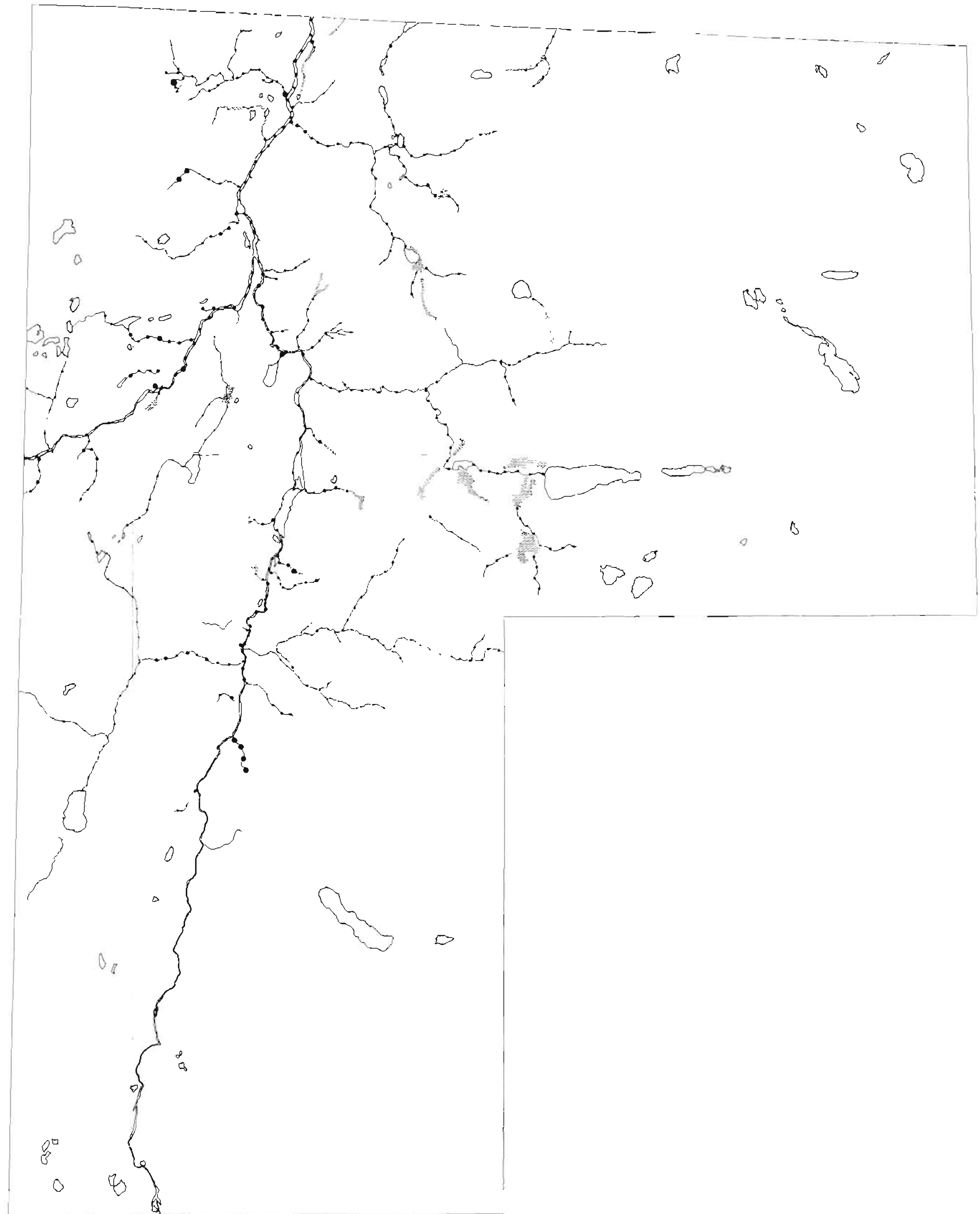


A/S SYDVARANGER  
Bekkesedimenter, HNO<sub>3</sub>-leselig sink.  
KARASJOK, Rana.

|          |             |            |
|----------|-------------|------------|
| WALESTOK | PRT. DRAJEN | 204-207-67 |
| CAL      | ANAL.RASS   | 191-1968   |
|          | TEGN 17     | 121-1968   |
| 1:50 000 | KPR. 23     | 122-1968   |

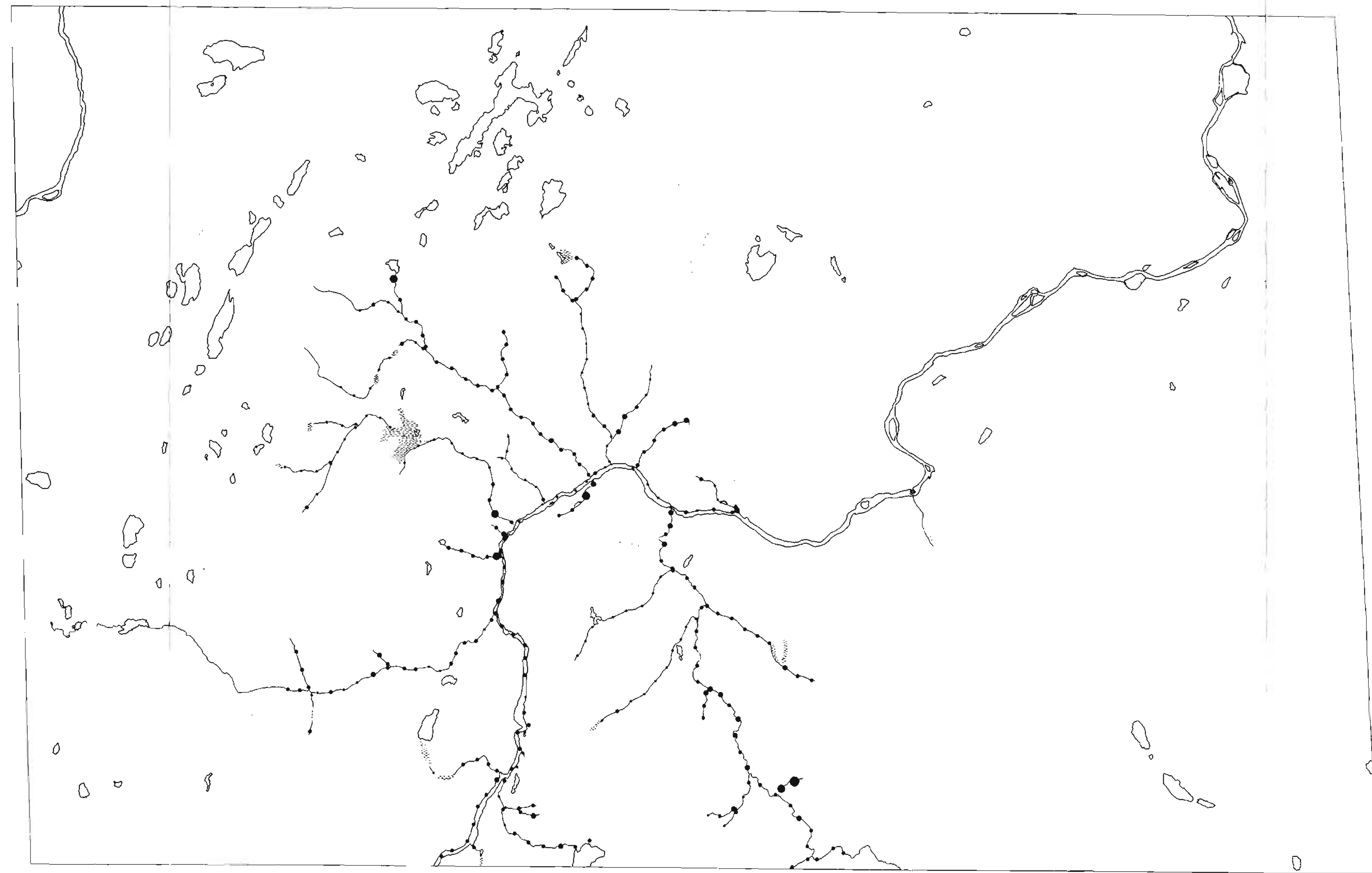
NORGES GEOLISKE UNDERSØKELSE  
TRONDHEIM

|            |                  |
|------------|------------------|
| TEGNING NR | CARTOBALD (ANSI) |
| 761-56     | 2033 IV          |



N  
Måleskåla  
0,5 0 1 2 km

|  |           |              |                |
|--|-----------|--------------|----------------|
| A/S SYDVARANGER                                | MÅLESTOKK | DRT GRUVE/AM | 266-203-41     |
| Bekkesedimenter HNO <sub>3</sub> -labilig sulf | ANAL      | 17           | 1968           |
| KARASJOK, Bærvassgredde.                       | TEGN IT   | 43           | 1968           |
|  | KFR Ø 25  | 43           | 1968           |
| <b>NORGES GEOLOGISKE UNDERSØKELSE</b>          |           | TEGNING NR:  | KARTBLAD (AWS) |
| TRONDHEIM                                      |           | 761-57       | 2033 III       |

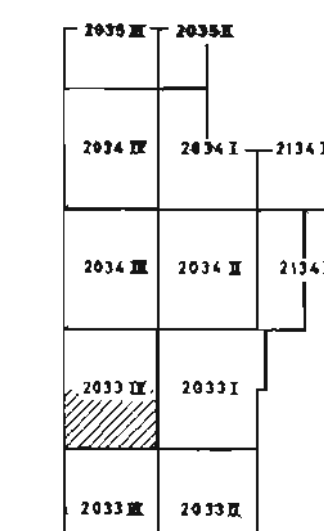


N

Målestokk

0 0,5 1 2 km.

Bladdeiling

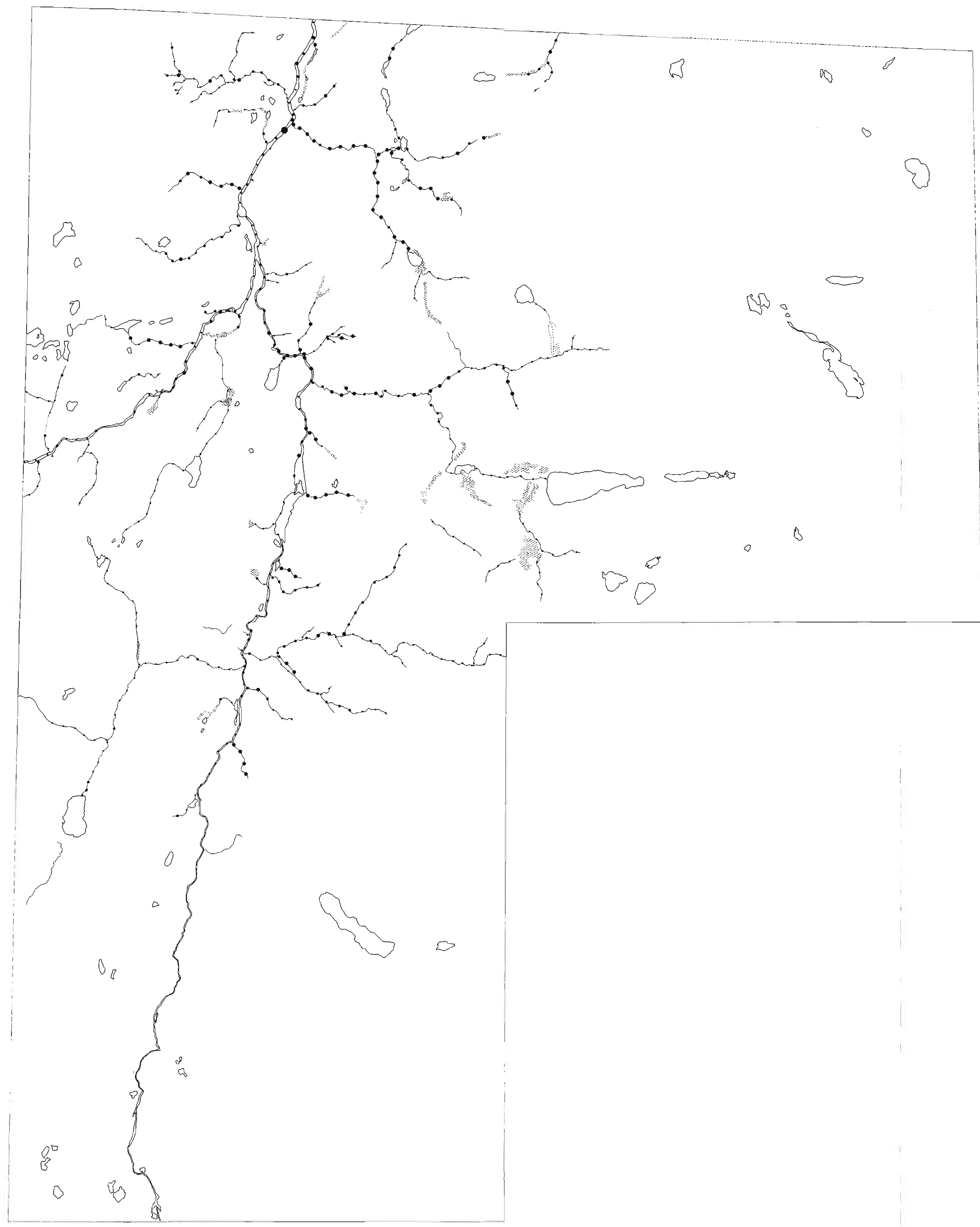


A/S SYDVARANGER  
Bekkesedimenter.  $\text{HNO}_3$ -löselig solv.  
**KARASJOK,** Raite.

NORGES GEOLISKE UNDERSØKELSE  
TRONDHEIM

MÅLESTOKK  
ANAL. 1:2 1968  
TEGN. IT 4:3 1968  
KFR. BB 4:3 1968

PR. GN/JE/AH 286-207-67  
CA. 1:50 000  
TEGNING NR. 761-58  
KARTBLAD (AMS) 2033 IV



TEGNFORKLARING:

- 0 – 1,0 ppm
- 1,1 – 3,2 ppm
- 3,3 – 10,6 ppm
- 10,7 – 34 ppm
- 35 – 110 ppm
- 120 ppm

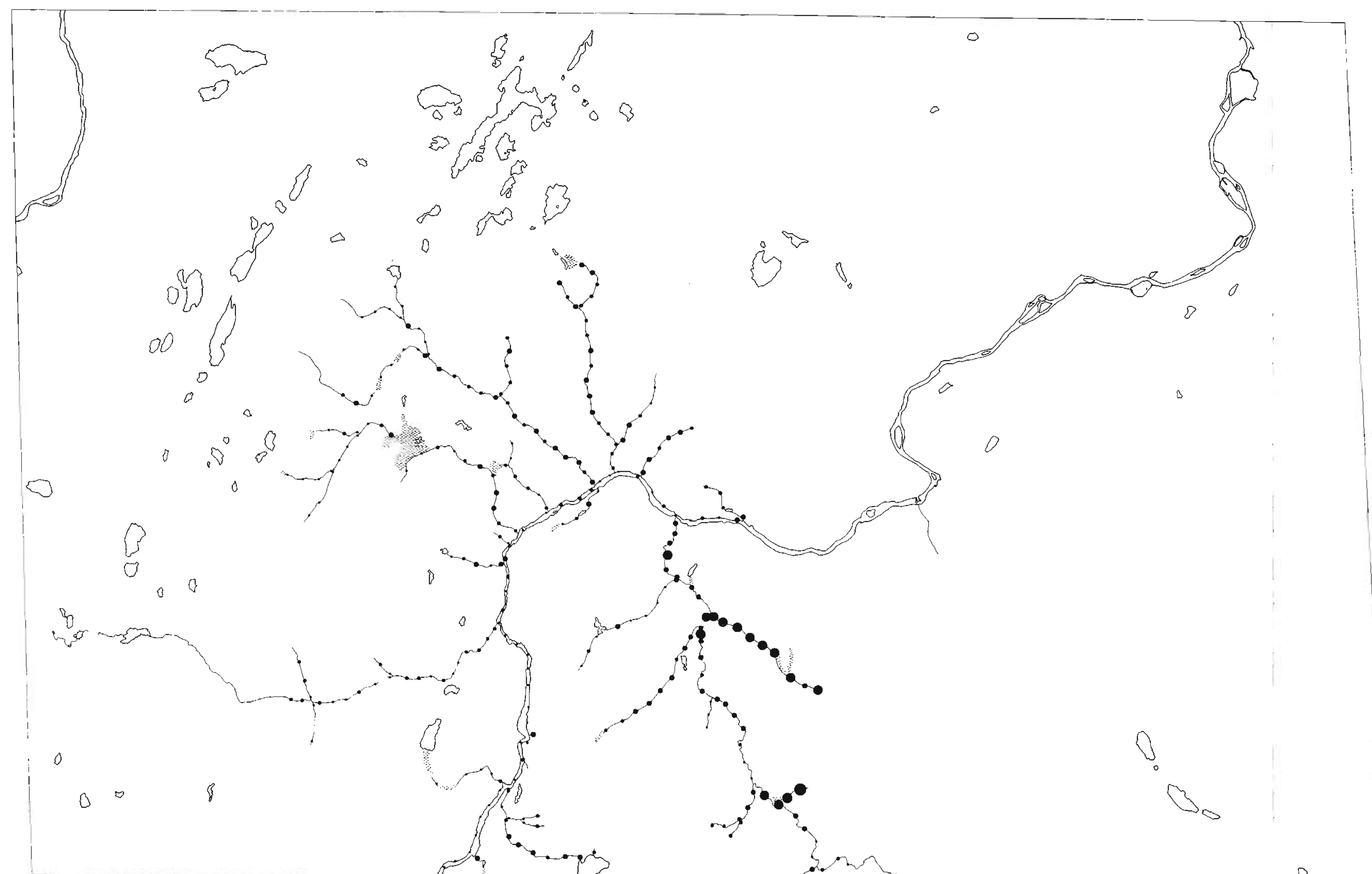


A/S SYDVARANGER  
Bekkesedimenter Lettløselig tungmetall  
**KARASJOK**, Bæivasgiedde

NORGES GEOLOGISKE UNDERSØKELSE  
TRONDHEIM

MÅLESTOKK PRT GN/JE/AH 286-207-67  
CA. ANAL SS/TV 22.1-24.1-68  
1:50 000 TEON IT 202 1968  
KFR. ØØ 202 1968

TEGNING NR: KARTBLAD (AMS)  
761-59 2033 III

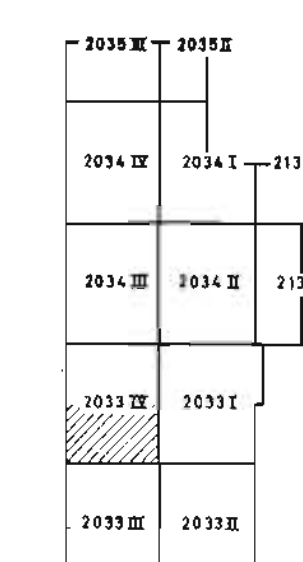


N

Måleskala

0 0,5 1 2 km.

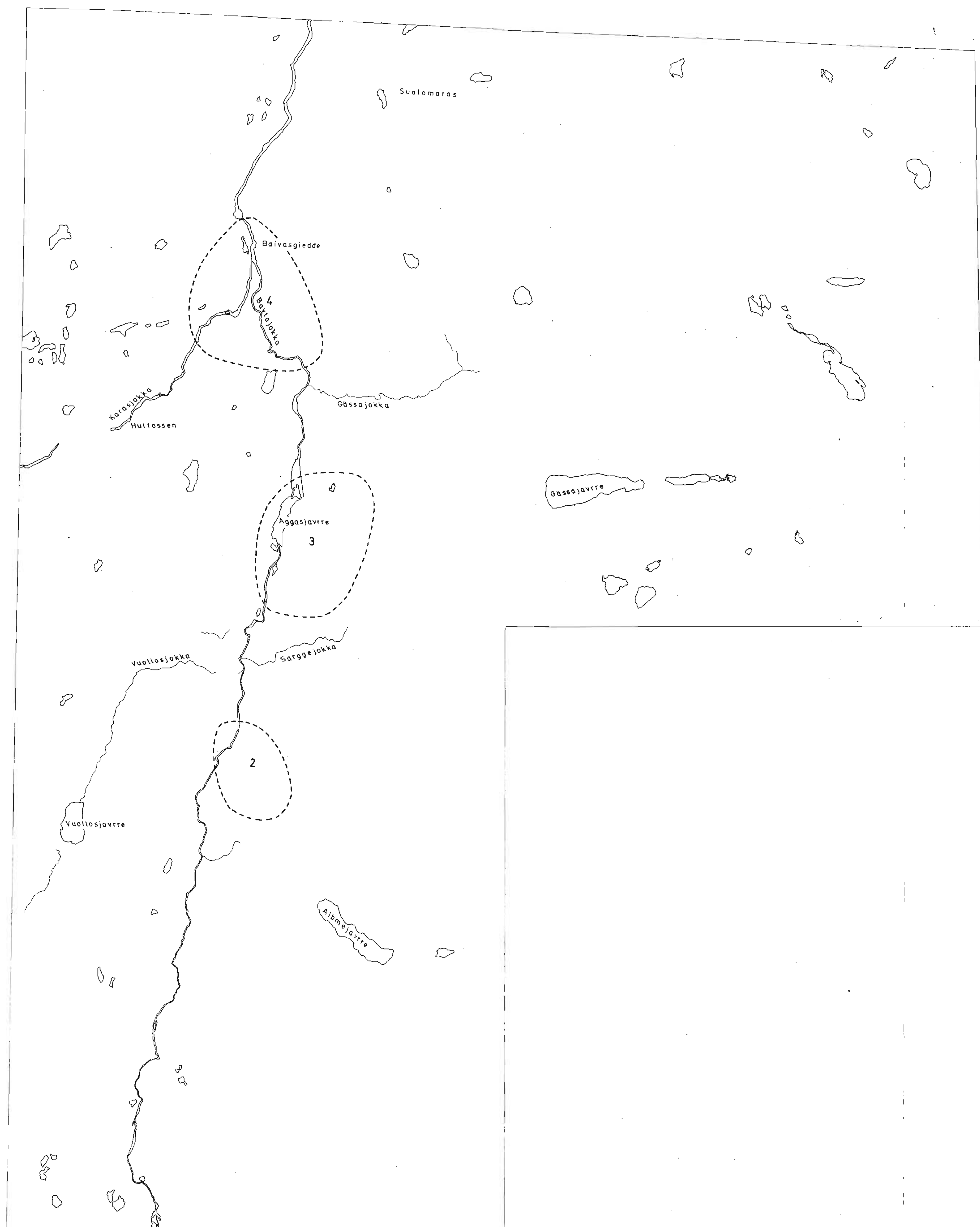
Bladdeiling



A/S SYDVARANGER  
Bekkesedimenter. Lettløselig tungmetall.  
**KARASJOK,** Raite  
NORGES GEOLISKE UNDERSØKELSE  
TRONDHEIM

|              |            |
|--------------|------------|
| PRT GN/IE/AH | 286-207-67 |
| ANAL SS/TV   | 221-241-68 |
| CA.          |            |
| TEGN IT      | 232 1968   |
| KFR. ØØ      | 232 1968   |

TEGNING NR: KARTBLAD (AMS)  
761 - 60 2033 IV

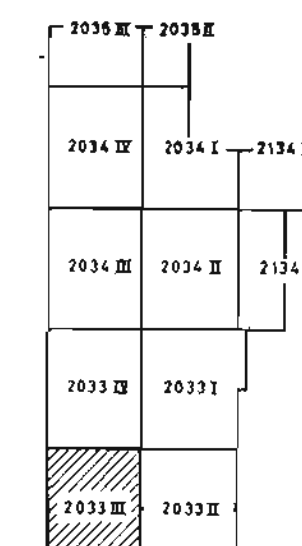


N

Målestokk

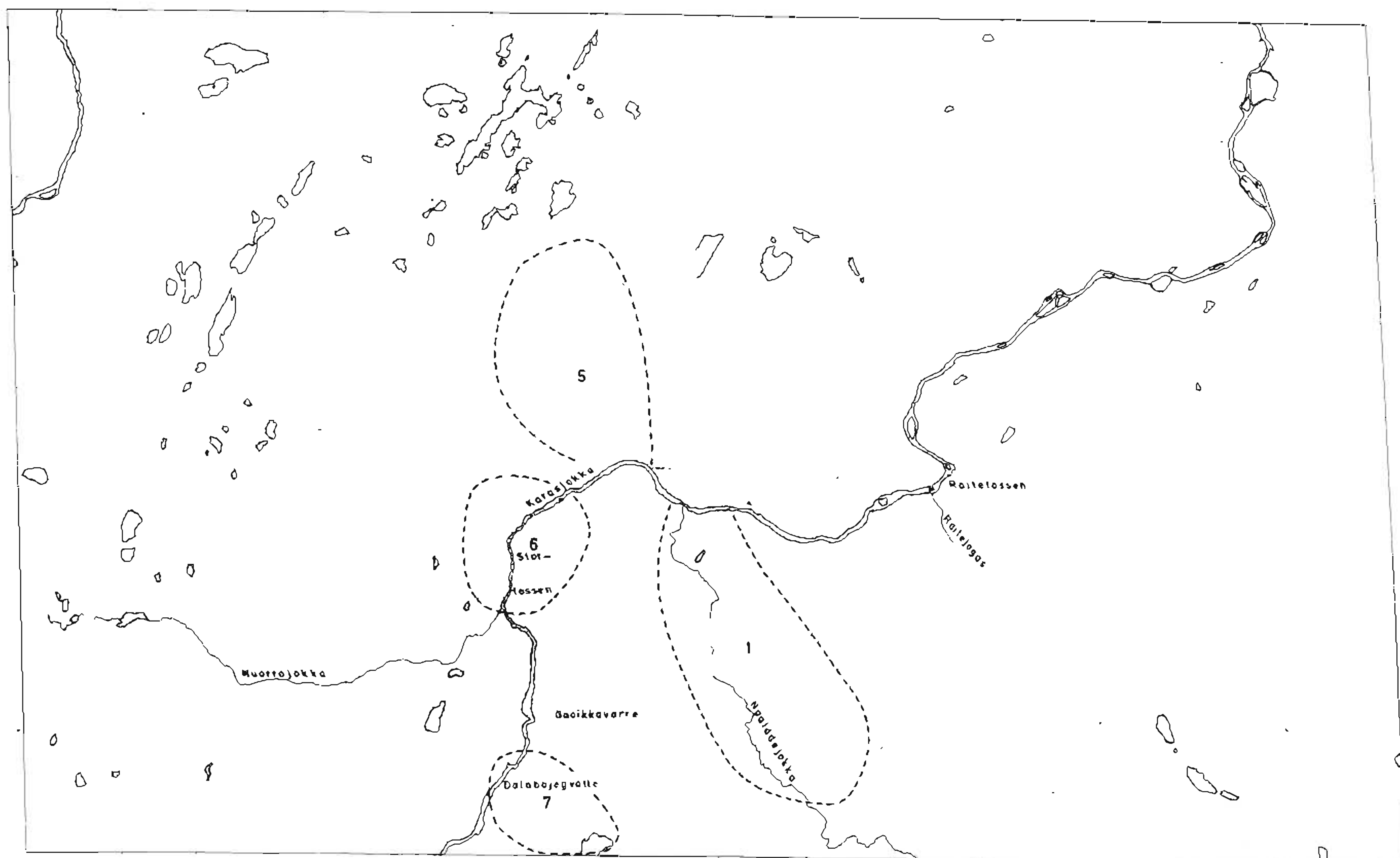
0 0.5 1 2 km.

Bladdeling



A/S SYDVARANGER  
GEOKJEMISKE ANOMALIER  
KARASJOK, Bæivasgiedde  
NORGES GEOLOGISCHE UNDERSØKELSE  
TRONDHEIM

|                         |                   |
|-------------------------|-------------------|
| MÅLESTOKK               | P.R.T.            |
| CA.                     | ANAL.             |
| 1:50 000                | TEGN. IT 196 1968 |
| K.F.R. 80               | 196 1968          |
| TEGNING NR: 761-61      |                   |
| KARTBLAD (AMS) 2033 III |                   |

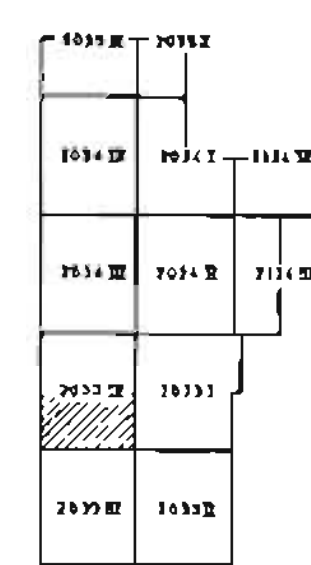


N

Målestokk

0.5 1 2 km

## Bloddeling



A/S SYDVARANGER  
GEOKJEMISKE ANOMALIER  
KARASJOK, Raite

|           |                    |
|-----------|--------------------|
| MÅLESTOKK | PRT                |
| CA        | ANAL               |
| I-50 000  | TEGN. LT 19.6.1968 |
| KFR. Z-L  | 19.6.1968          |

NORGES GEOLOGISKE UNDERSØKELSE  
TRONDHEIM

|            |                |
|------------|----------------|
| TONING NR. | KARTBLAD (AMS) |
| 761-62     | 2033 IV        |

A/S Sydvaranger  
NGU Rapport nr. 761  
*Bind II*

A/S Sydvaranger  
NGU Rapport nr. 761

Geokjemiske undersøkelser  
Karasjok 1967

Saksbearbeidere  
Ansvarlig: Bjørn Bølviken  
Leder for feltarbeidet: Gunnar Næss

NORGES GEOLOGISKE UNDERSØKELSE  
KJEMISK AVDELING  
TRONDHEIM

I N N H O L D

|  |       |
|--|-------|
| INNLEDNING .....   | s. 4  |
| TIDLIGERE UNDERSØKELSER  |       |
| Magnetiske og elektromagnetiske flymålinger .....              | s. 4  |
| Geokjemiske undersøkelser .....                                | s. 5  |
| De alluviale gullforekomster .....                             | s. 5  |
| Det faste fjells geologi .....                                 | s. 6  |
| METODIKK   |       |
| Prøvetaking og prøvebehandling.....                            | s. 9  |
| Analysemetoder.....  | s. 9  |
| Bearbeidelse av analyseresultater, kartfremstilling. ...       | s. 10 |
| RESULTATER   |       |
| Kurver over frekvensfordelinger.....                           | s. 10 |
| Prøvenummer og analyseresultater og<br>utskilte anomalier..... | s. 13 |
| DISKUSJON  |       |
| Geokjemiske anomalier - kjente forekomster.....                | s. 17 |
| Geokjemiske anomalier - alluvialt gull.....                    | s. 18 |
| Geokjemiske anomalier - geologiske/geofysiske data .....       | s. 19 |
| OPPSUMMERING OG KONKLUSJON .....                               | s. 22 |
| Litteraturliste .....  | s. 23 |
| NGU rapporter som det er henvist til i teksten .....           | s. 24 |

TABELLER

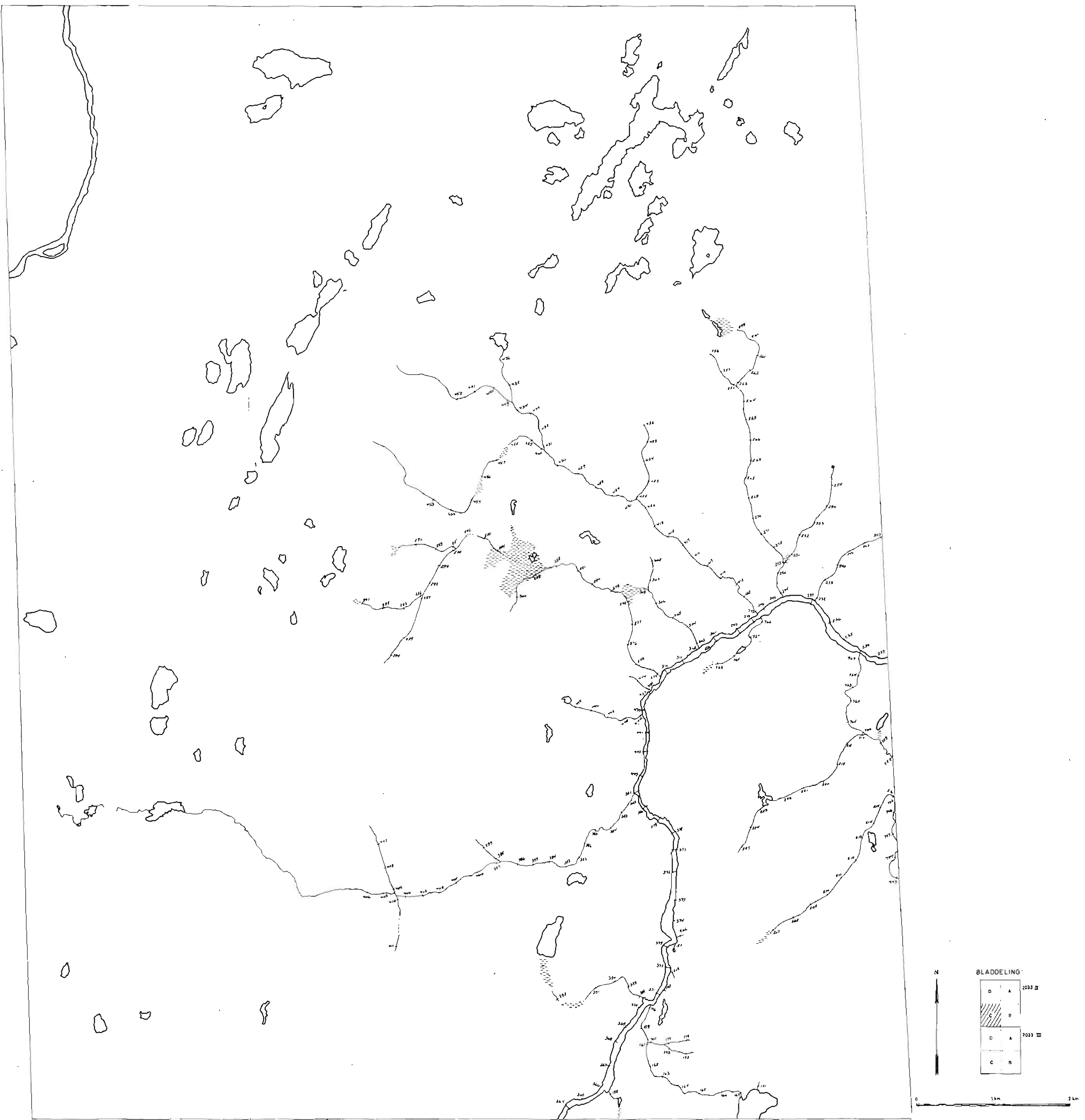
|          |   |       |
|----------|---|-------|
| Tabell 1 | Parametre som kan avleses av fordelingskurvene ....                     | s. 12 |
| " 2      | Valgte grenser for konsentrasjonsgrupper på de<br>geokjemiske kart..... | s. 12 |
| " 3      | Kartbilag Bind II, III, IV. ....  | s. 25 |
| " 4      | Kartbilag Bind I. ....  | s. 26 |

VEDLEGG

|           |                                    |
|-----------|------------------------------------|
| Vedlegg 1 | Kontrakt.                          |
| " 2       | Bearbeidelse av analyseresultater. |
| " 3-7     | Kurver over frekvensfordelinger.   |

KARTBILAG

|             |           |
|-------------|-----------|
| Plansje 1 A | Bind I.   |
| " 51 - 62   | Bind I.   |
| " 6 - 20    | Bind II.  |
| " 21 - 35   | Bind III. |
| " 36 - 50   | Bind IV.  |

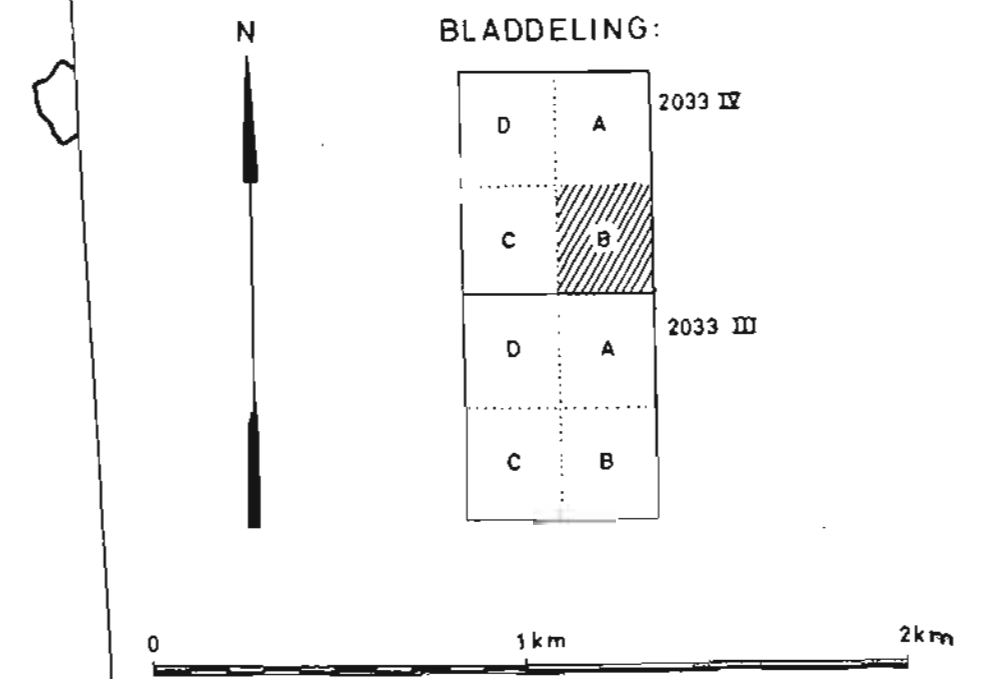
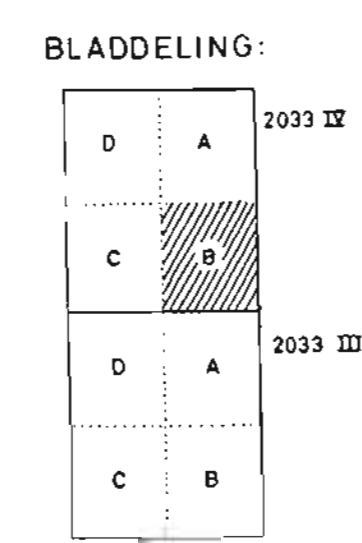
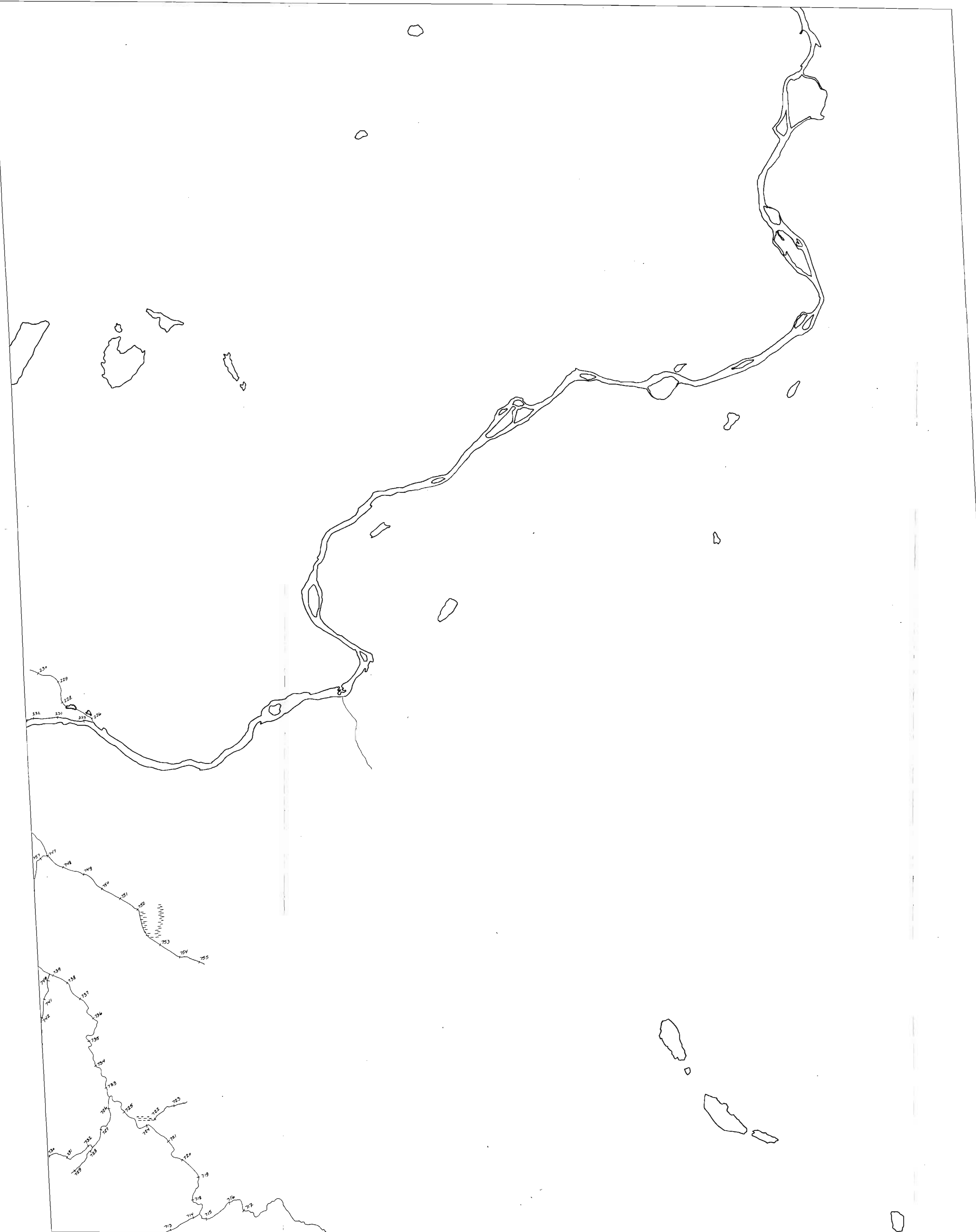


ÅS SYDVARANGER  
Bekkesedimenter Prøvenummer  
KARASJOK , Raite. C

|                           |                 |           |
|---------------------------|-----------------|-----------|
| MALESIA<br>CO.<br>1-20000 | PRT GN JE AH    | 26.6.1967 |
|                           | ANAL            |           |
|                           | TEGN. <i>EJ</i> | 14.9.1967 |
|                           | MFR             | 15.9.1967 |

NORGES GEOLOGISKE UNDERØKELSE  
TRONDHEIM

761 - 6



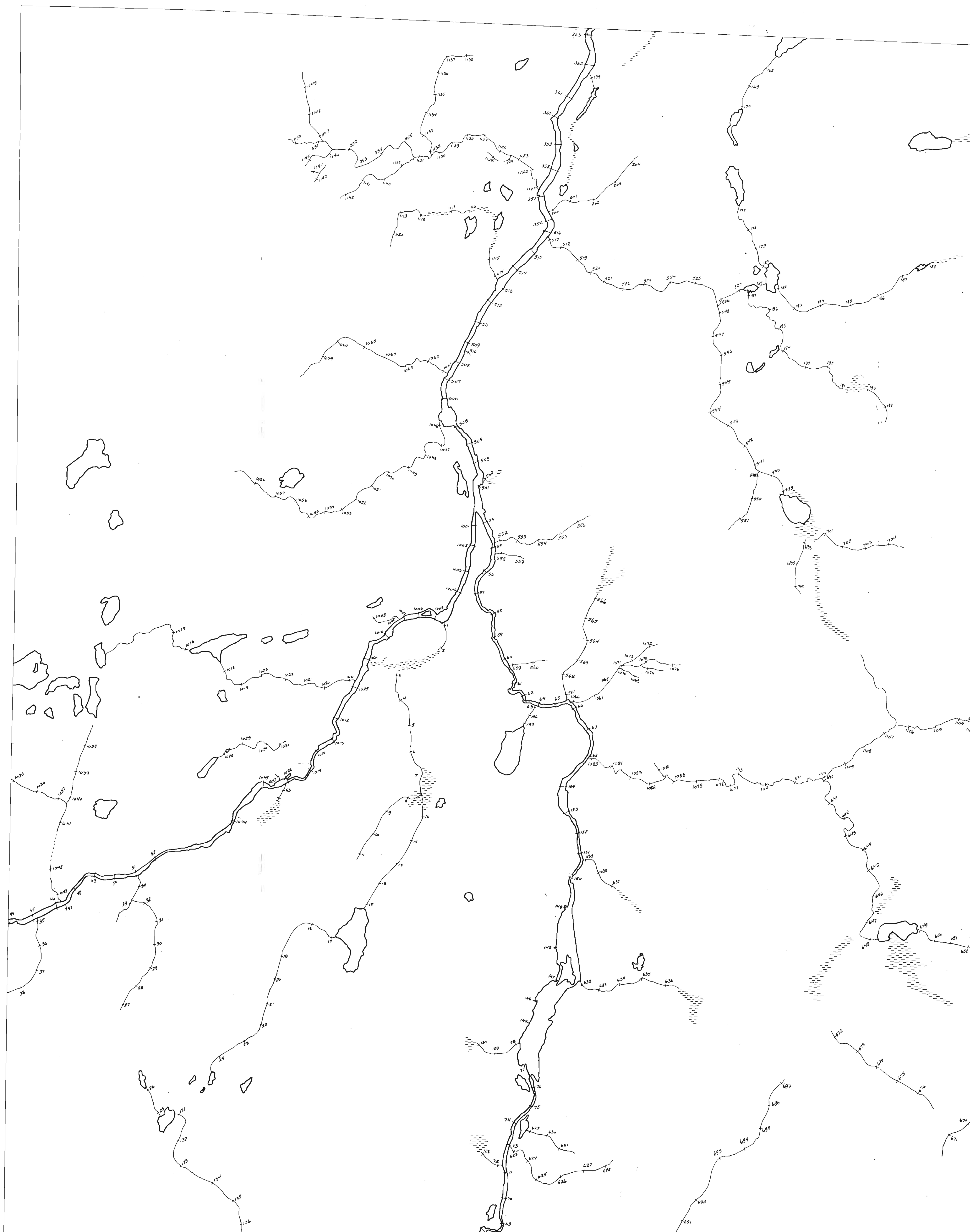
A/S SYDVANGER  
Bekkesedimenter. Prøvenummer.  
**KARASJOK**, Raite. B

MÅLESTOKK  
ANAL.  
ca.  
TEGN. *EH*  
1:20.000  
KFR.

PRT. GN JE AH 20.6-207.67  
21.9.1967  
22.9.1967

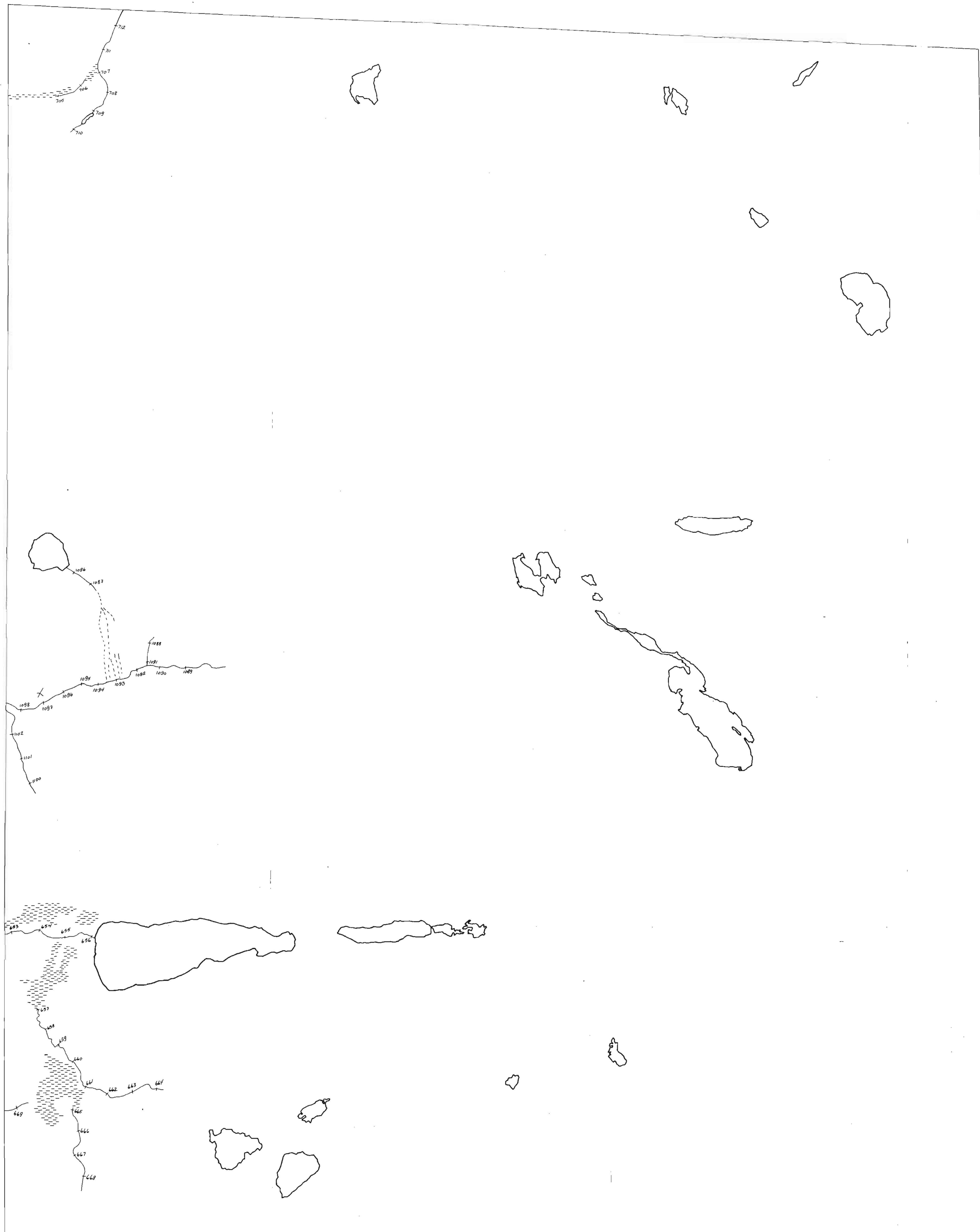
NORGES GEOLOGISKE UNDERSØKELSE  
TRONDHEIM

761 - 7

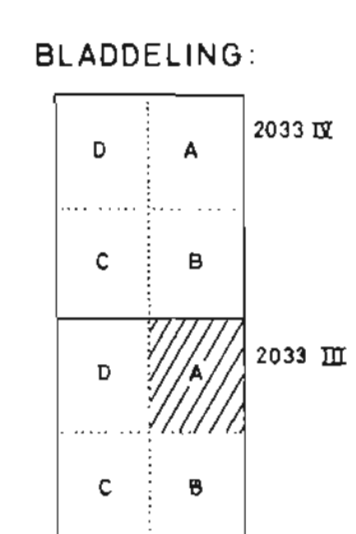


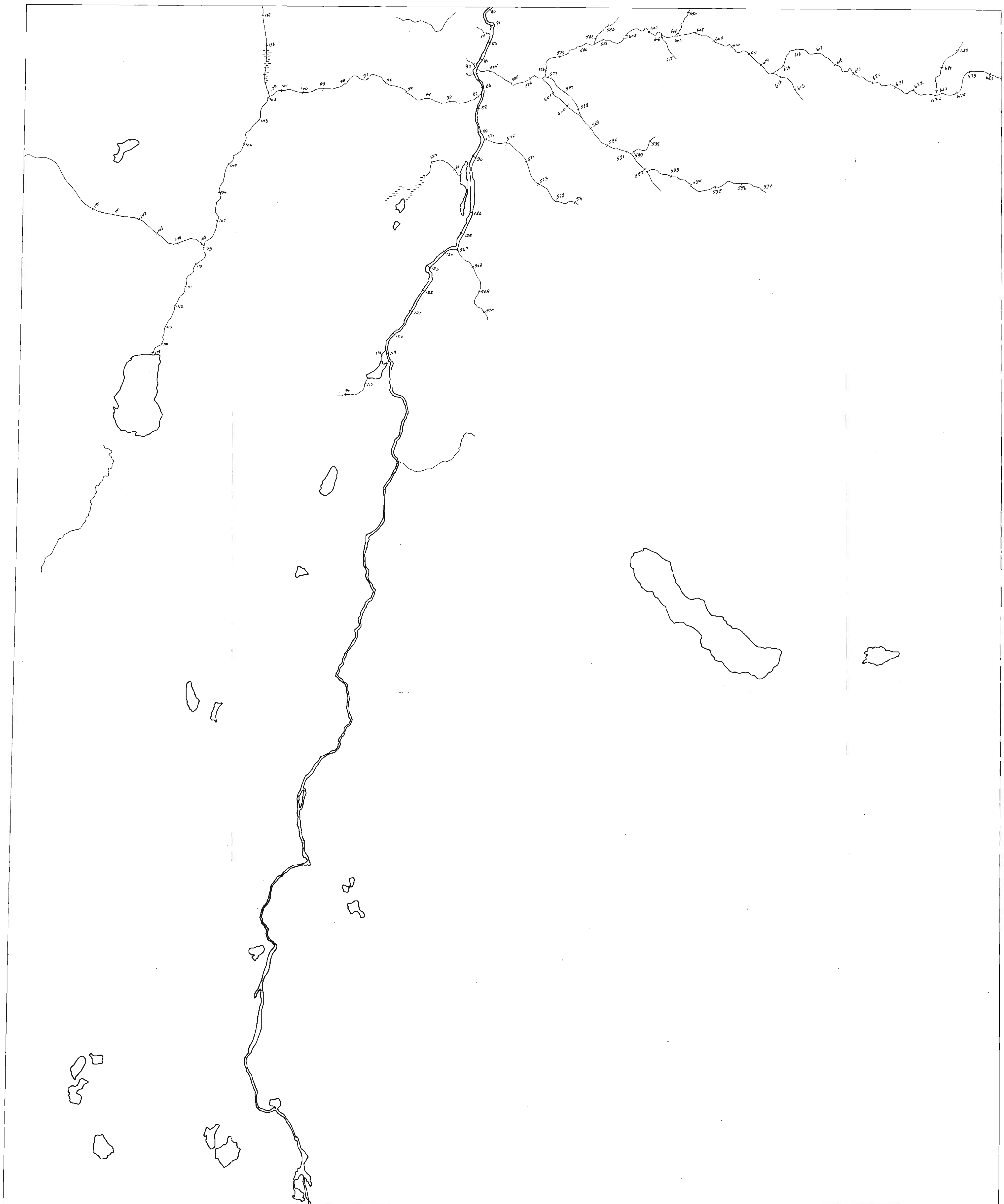
A/S SYDVARANGER  
Bekkesedimenter. Prøvenummer.  
**KARASJOK**, Bæivasgiedde. D  
NORGES GEOLGIKSE UNDERSØKELSE  
TRONDHEIM

MÅLESTOKK  
PRT. GN/JE/AH 26.6-20.7.87  
ANAL.  
TEGN. EY 14.9.1967  
1:20 000 KFR. 15.9.1967



|                                |           |              |             |
|--------------------------------|-----------|--------------|-------------|
| A/S SYDVARANGER                | MÅLESTOKK | PRT. GN/E/AH | 286-20.7.67 |
| Bekkesedimenter. Prøvenummer.  | ANAL      |              |             |
| C.G.                           | TEGN.     | 13. D        | 1967        |
| KARASJOK,                      |           | 1: 20.000    | 14. 9. 1967 |
| Bæivasgiedde. A                | KFR.      |              |             |
| NORGES GEOLOGISKE UNDERSØKELSE |           |              |             |
| TRONDHEIM                      |           |              | 761 - 9     |



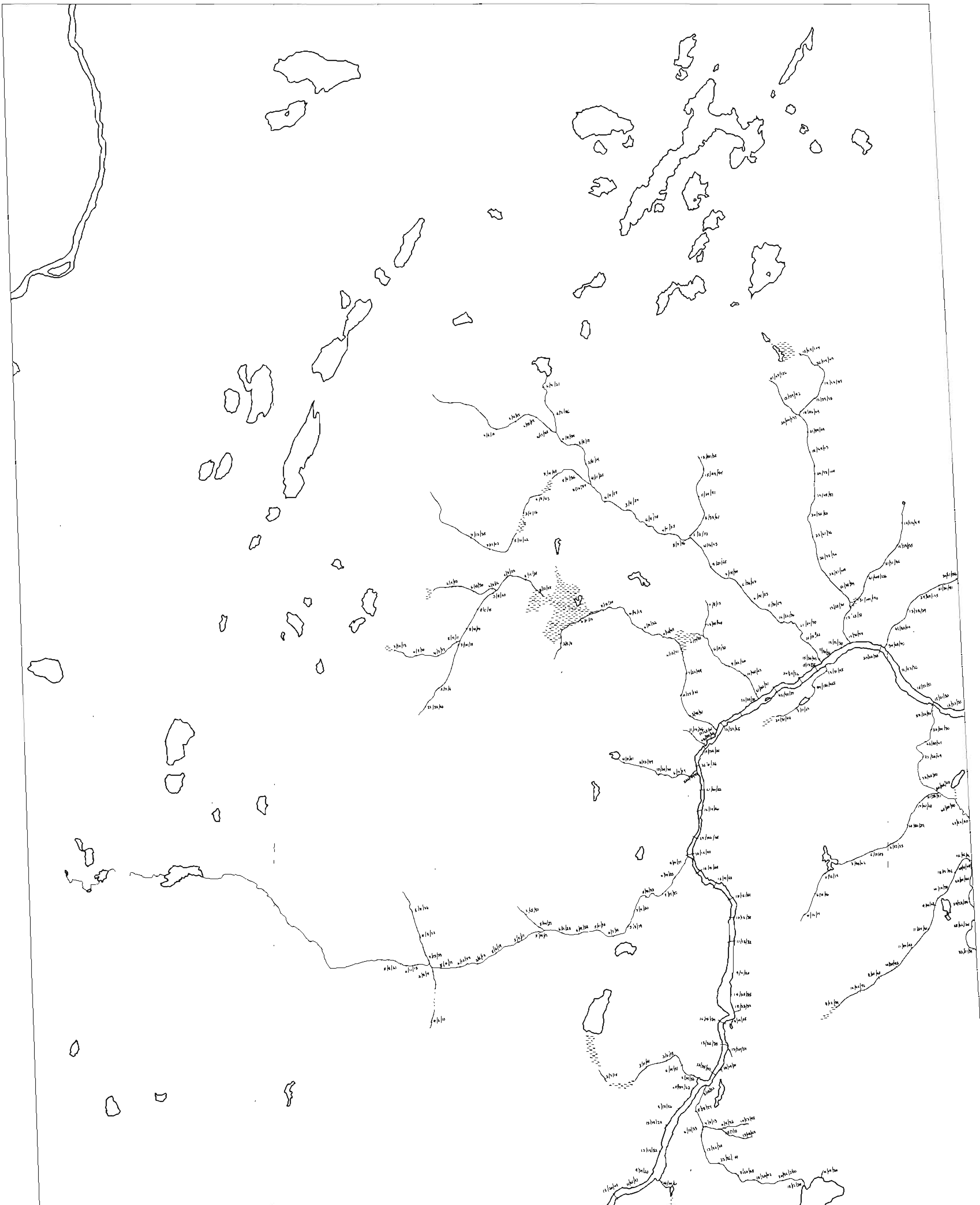


A/S SYDVARANGER  
Bekkesedimenter. Prövenummer.  
**KARASJOK**, Bæivasgiedde. C

|                             |               |                |
|-----------------------------|---------------|----------------|
| MALESTOKK<br>CA.<br>1:20000 | PRT. GN/JE/AH | 26.6.-20.7. 67 |
|                             | ANAL.         |                |
|                             | TEGN. Et.     | 14. 9. 1967    |
|                             | KFR.          | 15. 9. 1967    |

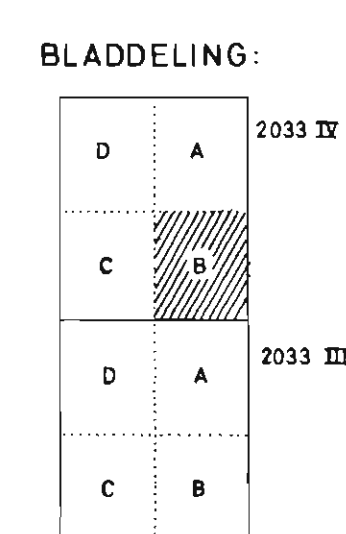
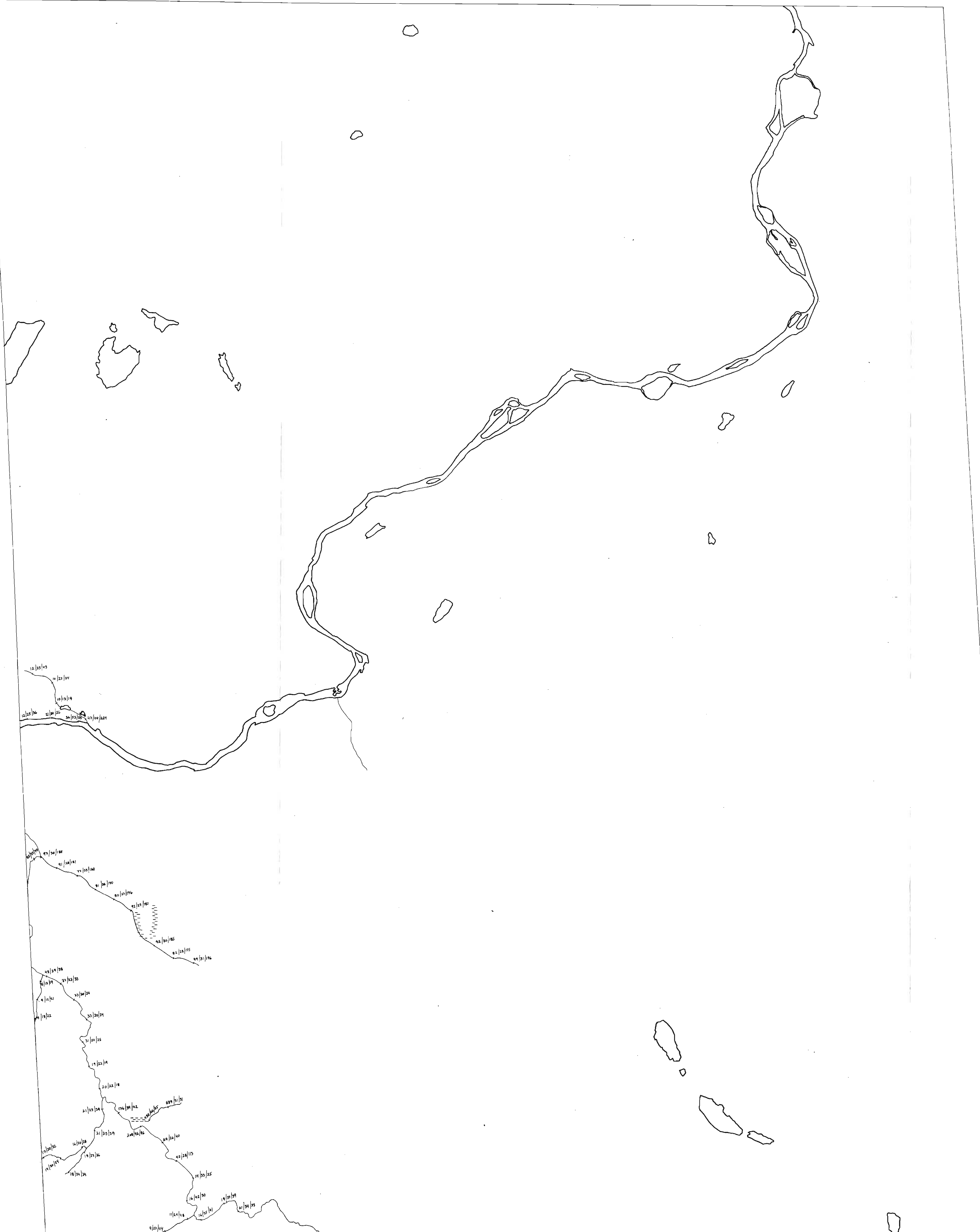
NORGES GEOLOGISKE UNDERSØKELSE  
TRONDHEIM

761-10



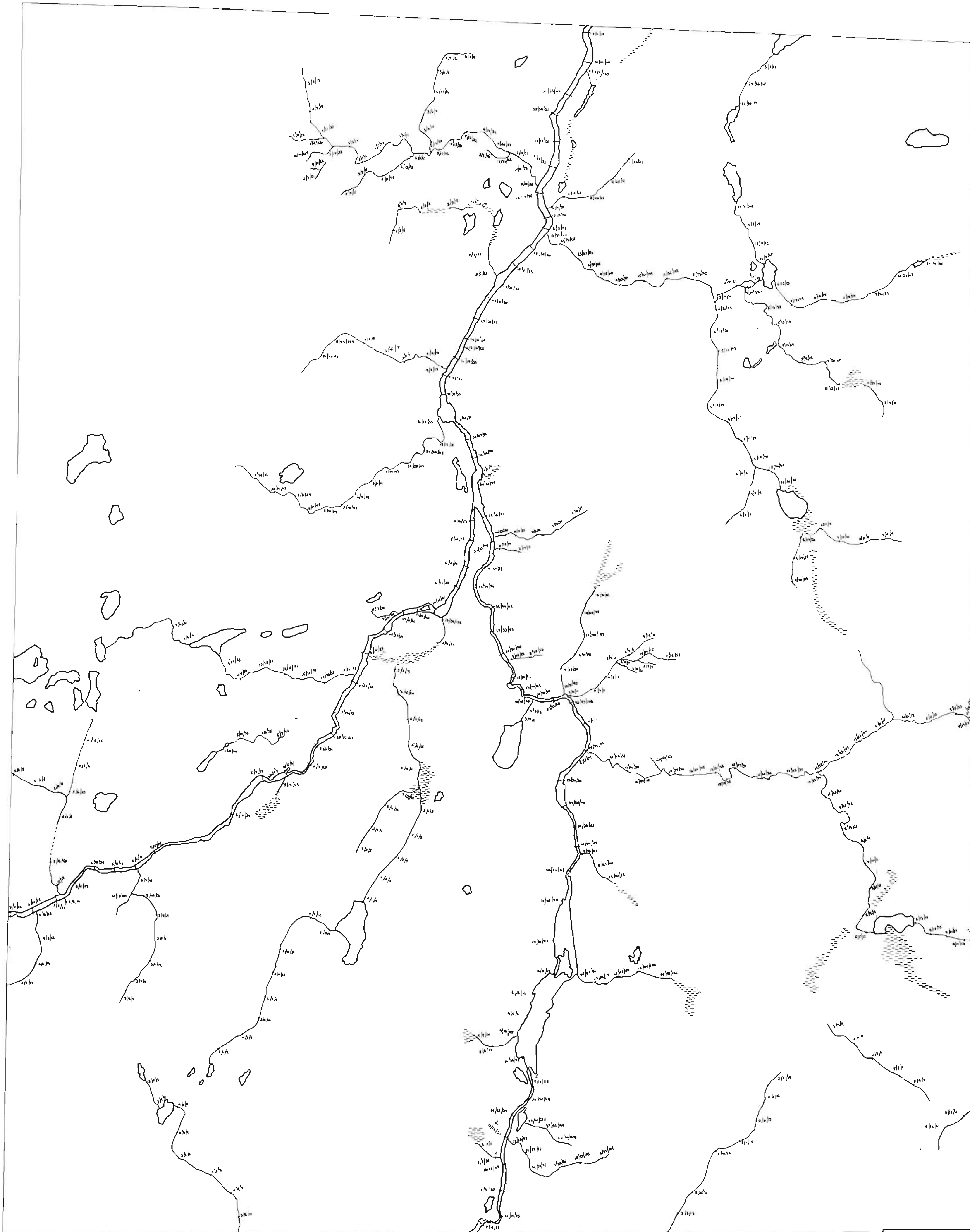
BLADDELING  
 D A 2033 IX  
 C B  
 D A 2033 III  
 C B

|  |           |              |            |
|--|-----------|--------------|------------|
| A/S SVARANGER                                      | MÅLESTOKK | PRT GN JE AM | 266-207-67 |
| Bekkesedimenter HNO <sub>3</sub> -loselig Cu/Ni/Zn | ANAL.     |              |            |
| KARASJOK , Røite C                                 | CA.       | TEGN IS      | 29.1.1948  |
|  | 1:20.000  | NFR.         | 25.1.1958  |
| NORGES GEOLISKE UNDERSØKELSE                       |           |              | TRONDHEIM  |
| 761 - 11   |           |              |            |



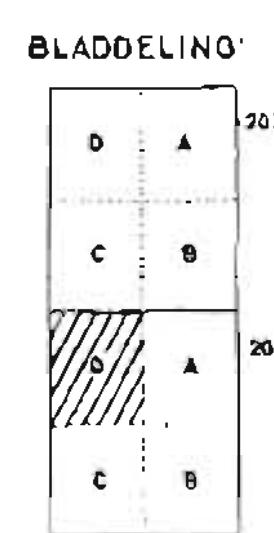
0 1 km 2 km

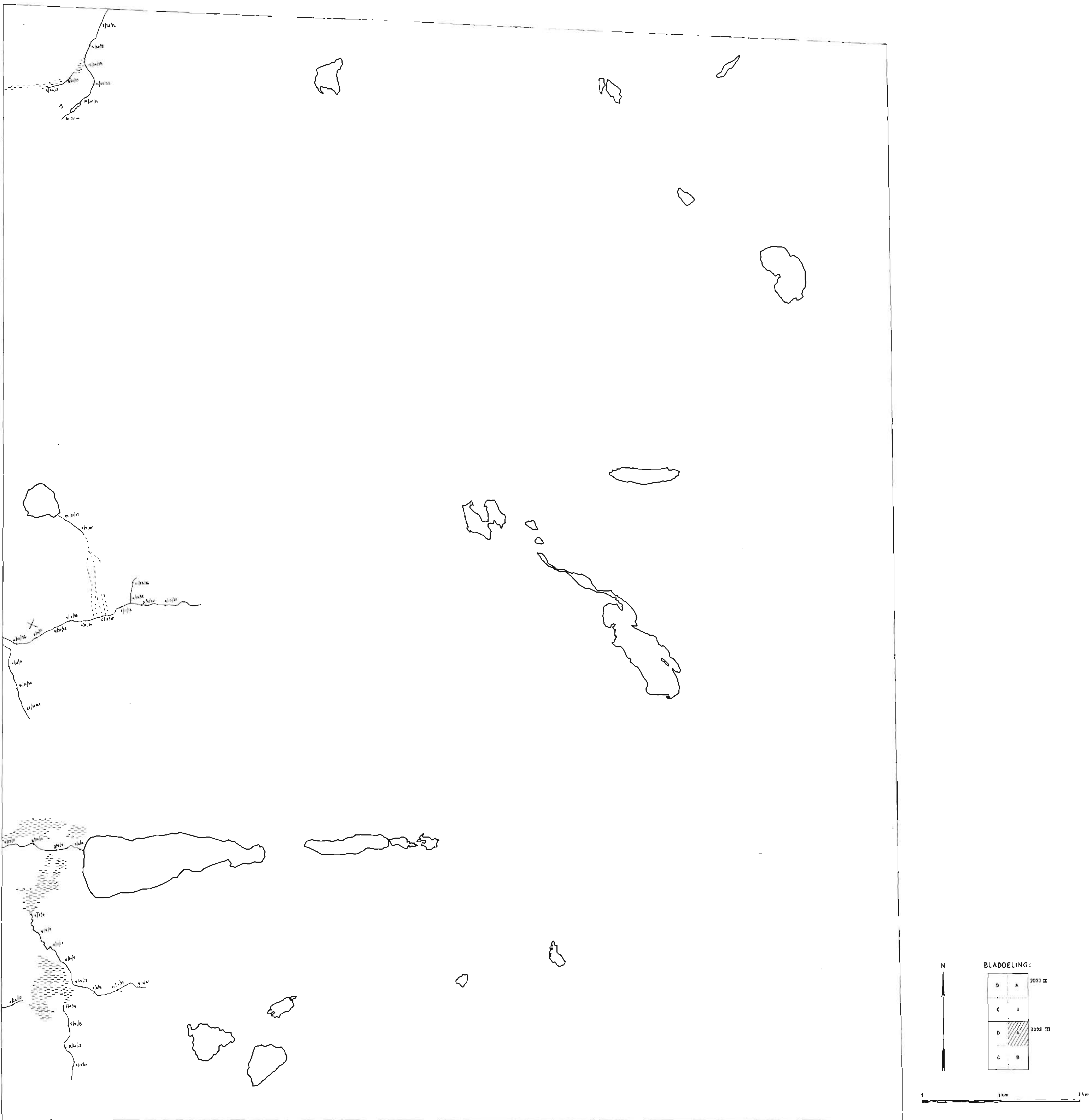
|  |   |
|--|---|
| A/S SYDVARANGER<br>Bekkesedimenter. HNO <sub>3</sub> -løselig Cu/Ni/Zn<br><b>KARASJOK</b> , Raite. B | MÅLESTOKK PRT. GN JE AH 28.6-20.767<br>ANAL.<br>CO. TEGN. IT 30.1.1968<br>1:20.000 KFR. 30.1.1968 |
| NORGES GEOLOGISKE UNDERSØKELSE<br>TRONDHEIM  | 761 - 12  |



A/S SYDVARANGER  
Bekkesedimenter HNO<sub>3</sub>-leselig Cu/Ni/zn  
**KARASJOK**, Bømvoigdede D  
NORGES GEOLOGISKE UNDERSØKELSE  
TRONDHEIM

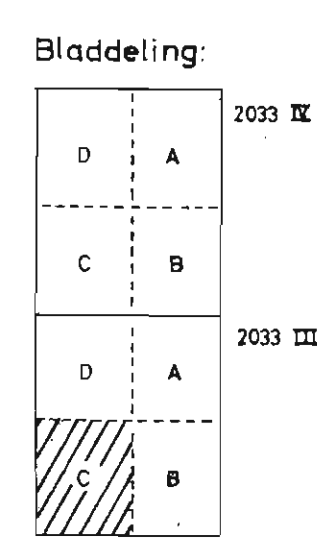
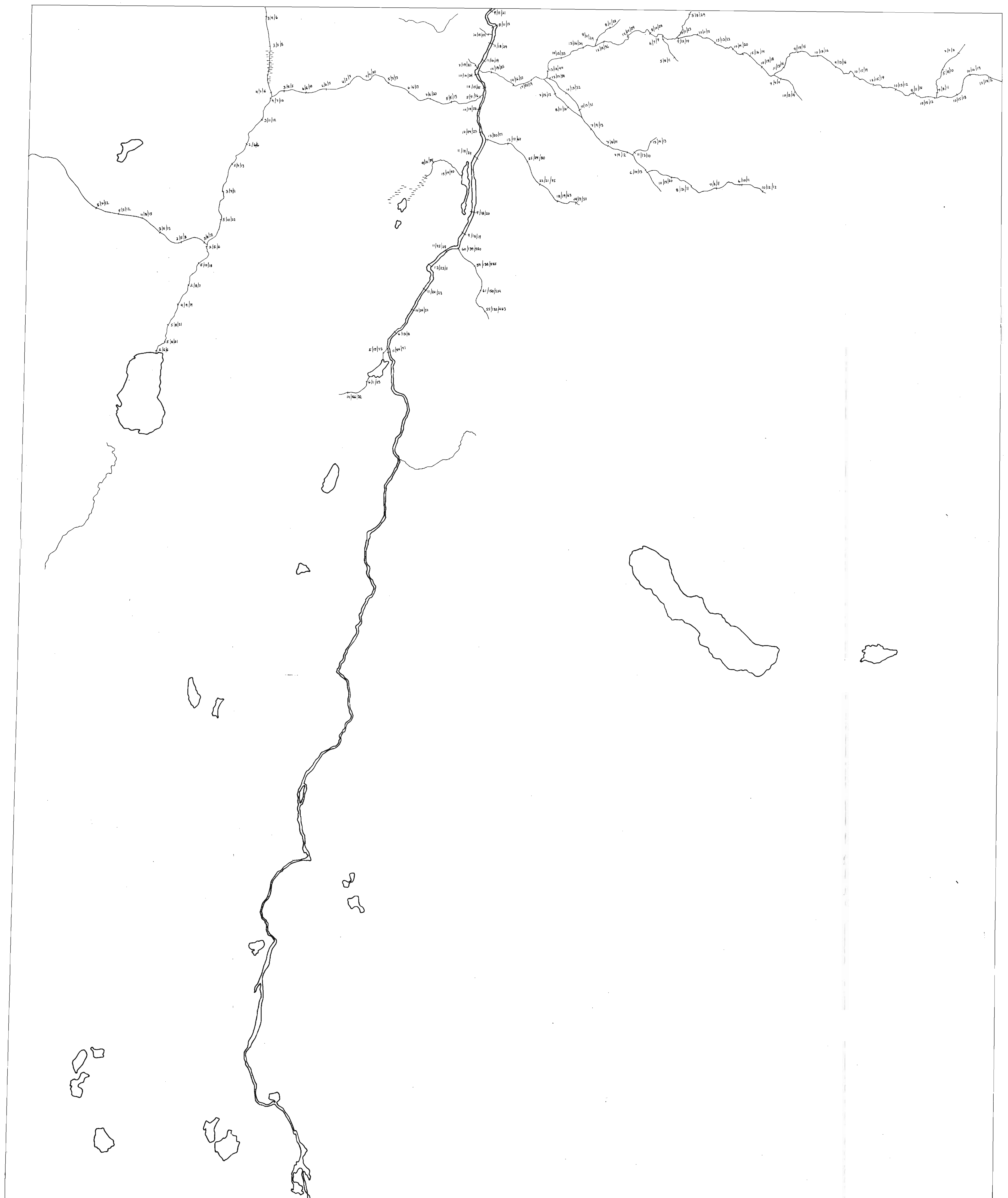
MÅlestokk PRT GM/IE/JAM 266-202-67  
ANAL  
ca. TEGNE IX 201 7940  
1:20 000 KPR 211 7948





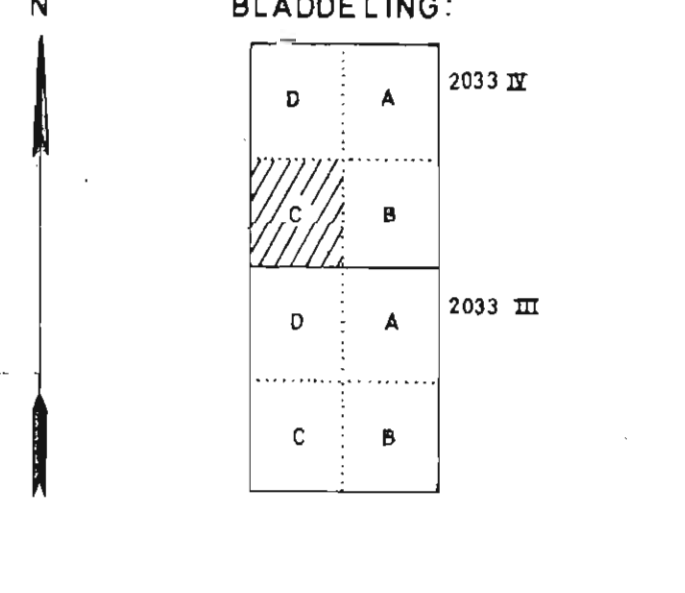
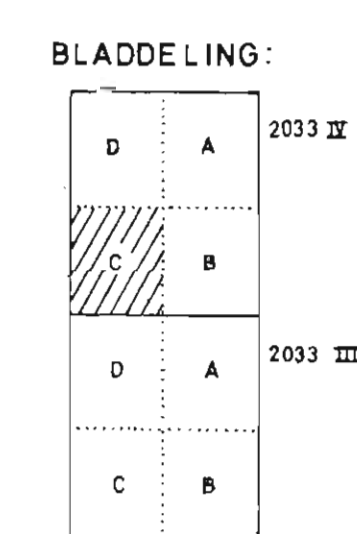
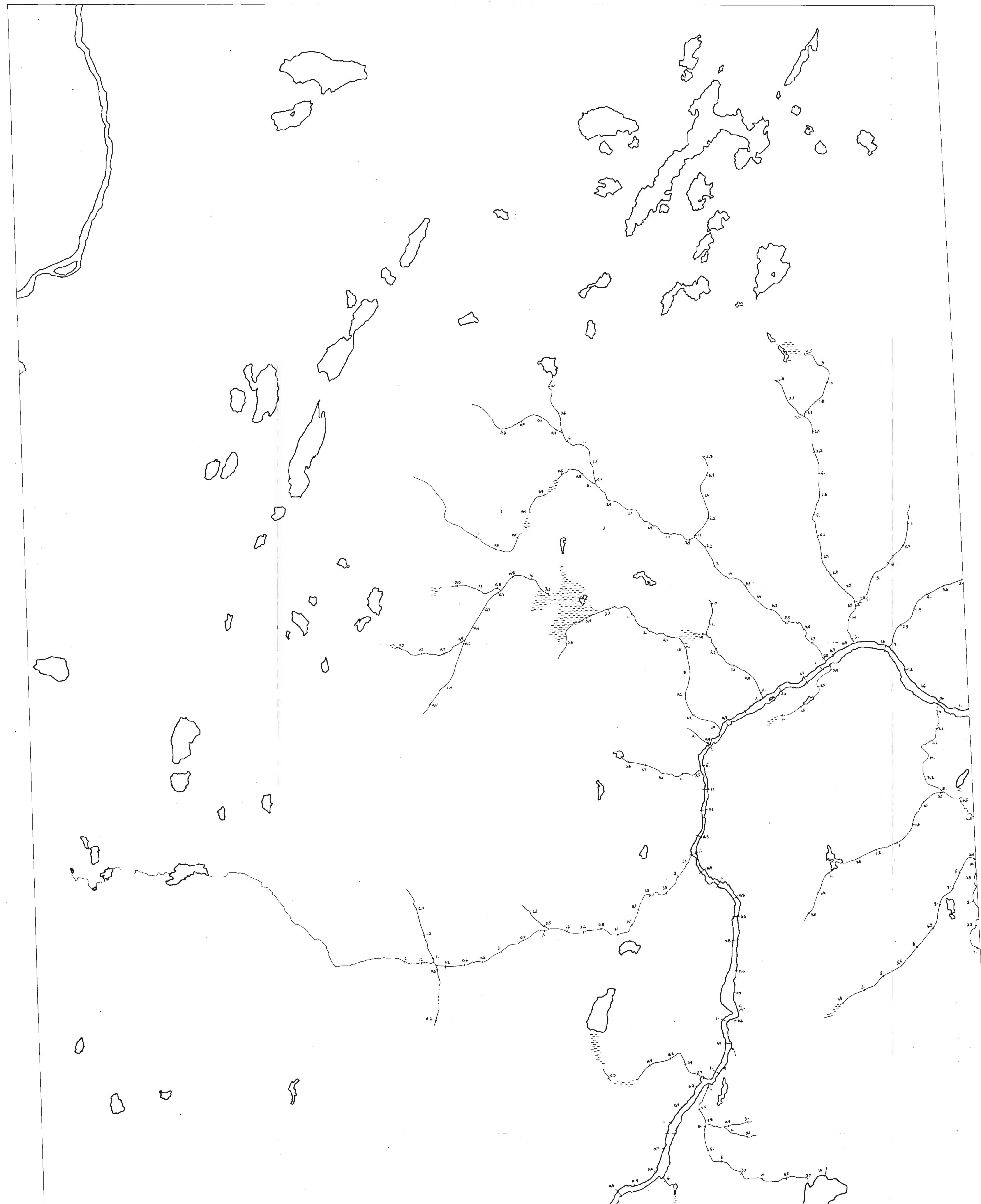
A/S SYDVARANGER  
Bekkesedimenter HNO<sub>3</sub>-loselig Cu/Mn/2n  
**KARASJOK, Bæivasgledde A**  
**NORGES GEOLOGISKE UNDERSEKELSE**  
**TRONDHEIM.**

|           |             |        |
|-----------|-------------|--------|
| WALESTOKA | PRT GLUC/AM | 361-20 |
|           | ANAL        |        |
| CD        | TEGM 17     | 311 1  |
| 1: 20.000 | KFR         | 311 1  |
|           |             |        |



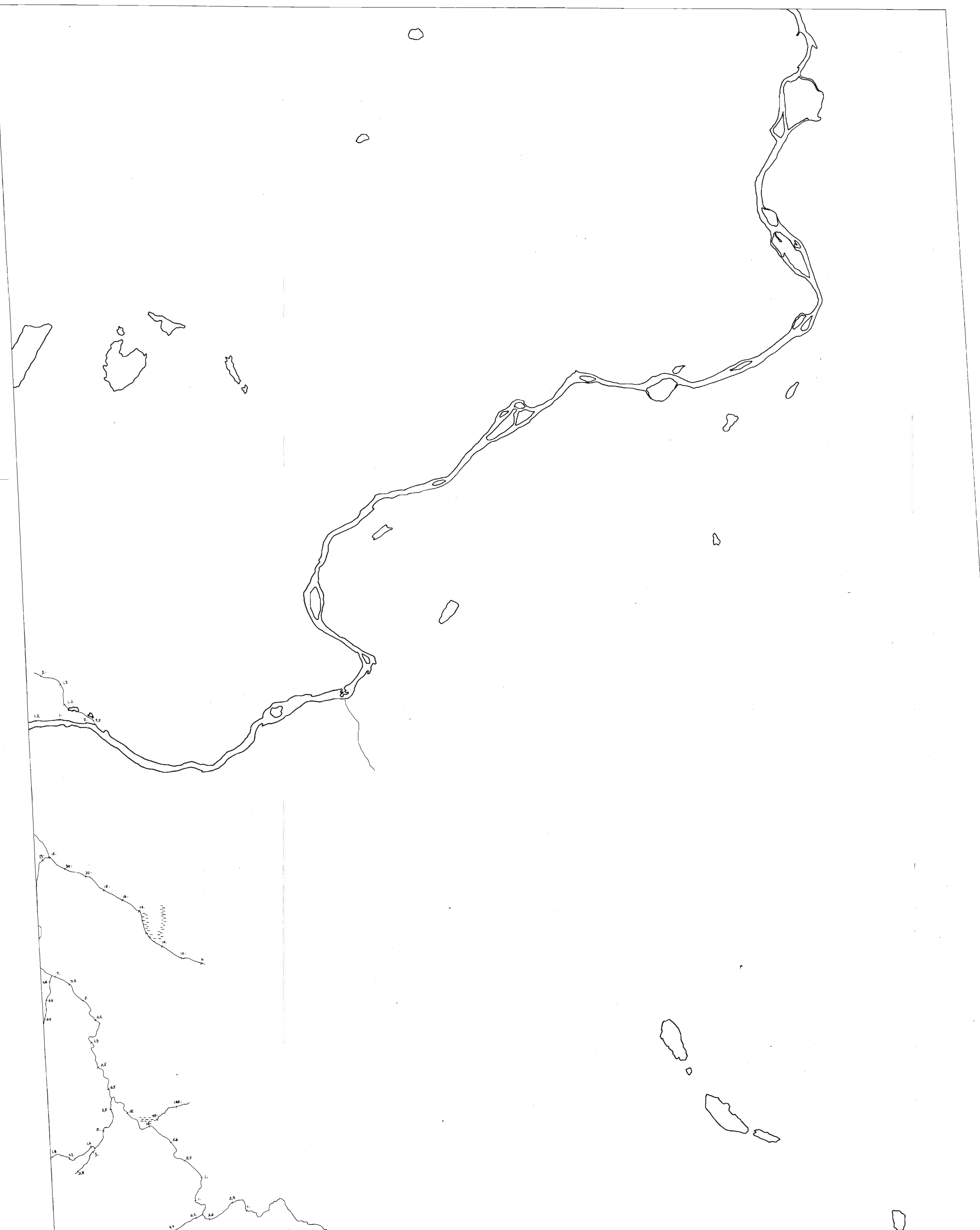
0 1 2 km

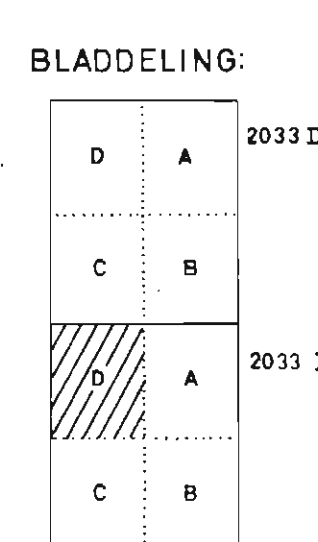
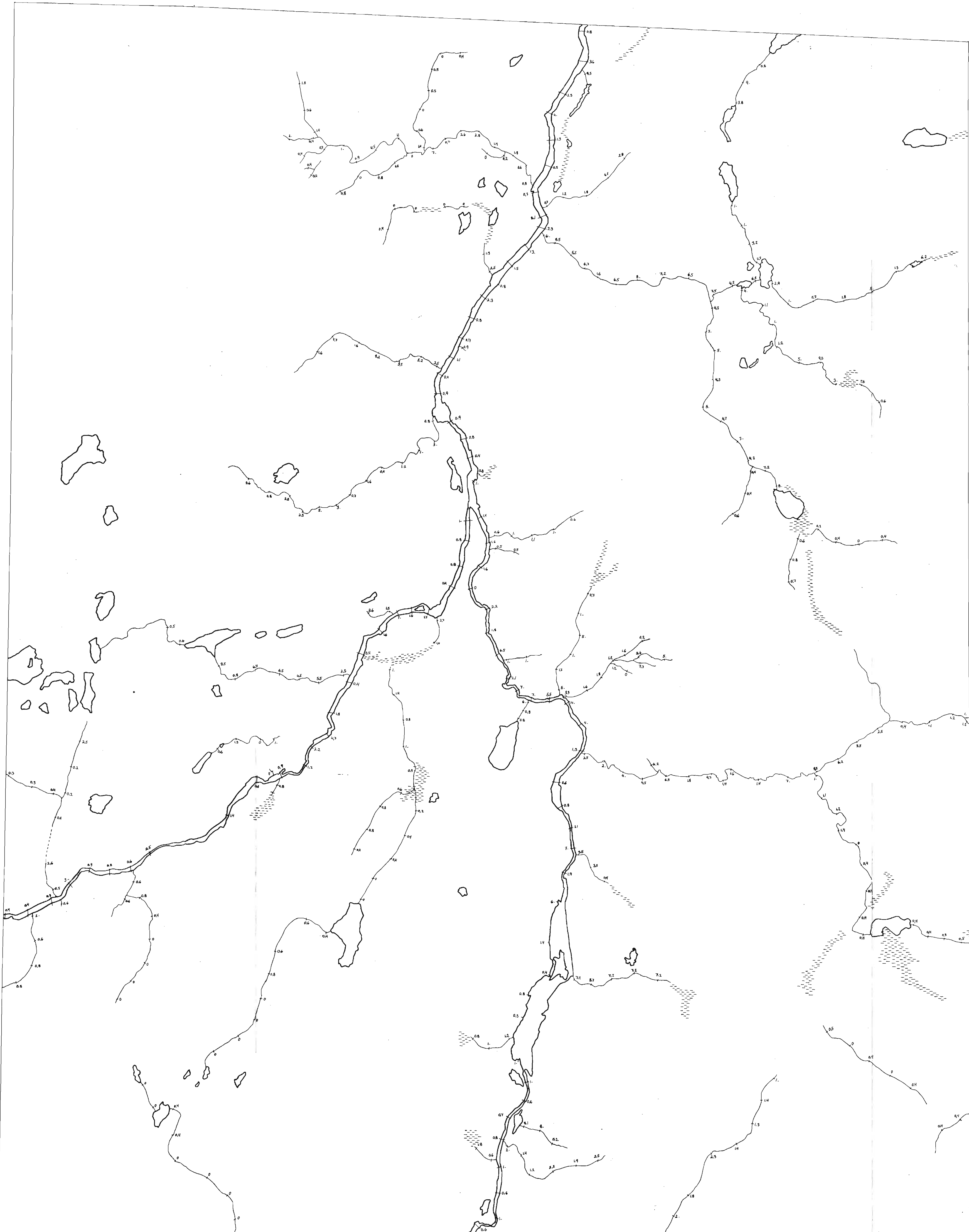
|   |                  |                         |                |
|---|------------------|-------------------------|----------------|
| A/S SYDVARANGER<br>Bekkesedimenter. HNO <sub>3</sub> løselig Cu/Ni/Zn<br>KARASJOK, Bæivasgiedde, C<br>1:20000 | MÅLESTOKK<br>ca. | PRT. GN./E/A/H<br>ANAL. | 26.6-20.7-6    |
|   |                  | TEGN. IT.               | 31.1. 1961     |
| NORGES GEOLISKE UNDERSØKELSE<br>TRONDHEIM   |                  |                         | KFR 31.1. 1961 |
|   |                  |                         | 761 - 15       |



A/S SYDVARANGER  
Bekkesedimenter. Lettloselig tungmetall  
**KARASJOK**, Raite.C  
NORGES GEOLGIKE UNDERSØKELSE  
TRONDHEIM

MÅLESTOKK PRT.GN/JE/AH 266-207-67  
ANAL.SS/TV 221-241-68  
ca. TEGN.JT. 1.2 - 1968  
1: 20.000 KFR. 1.2 - 1968

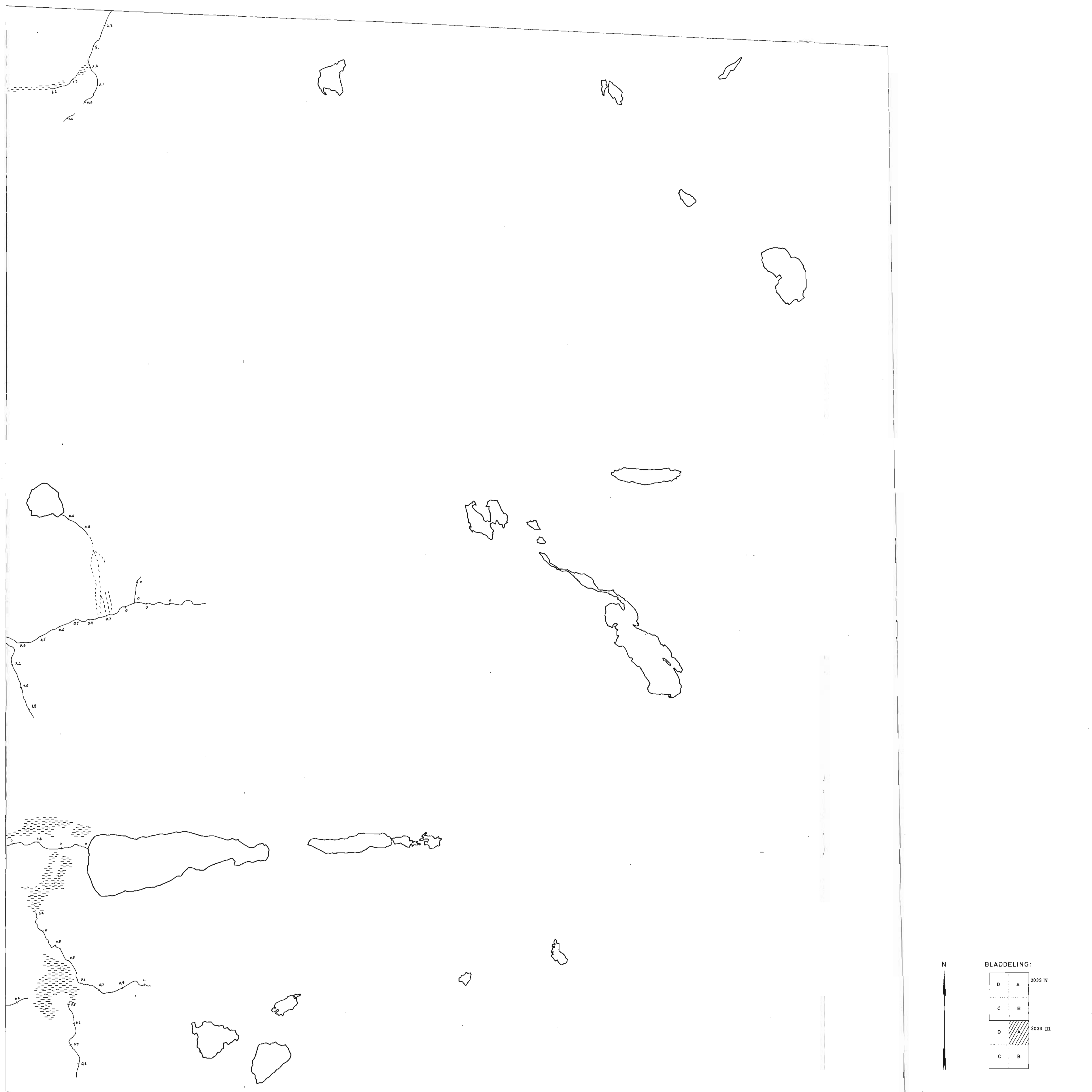




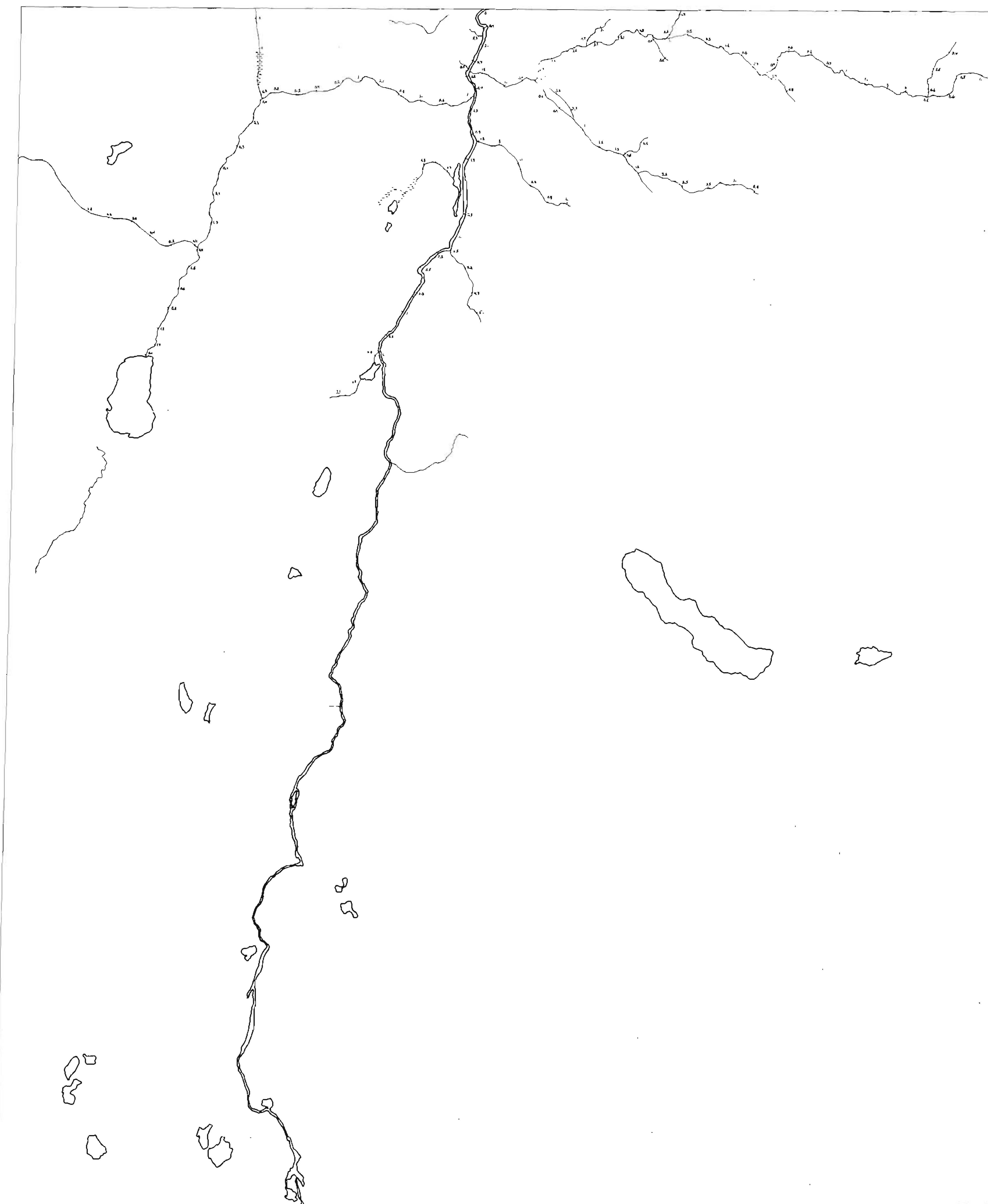
N

MÅLESTOKK PRT. QN/JE/AH 285-207-67  
ANAL. SS TV 221-241-68  
ca. TEGN. IT 52 1968  
1:20 000 KFR. 62 1968

A/S SYDVARANGER  
Bekkesedimenter. Lettløselig tungmetall  
**KARASJOK**, Bæivassgiedde. D  
NORGES GEOLOGISKE UNDERSØKELSE  
TRONDHEIM



|   |             |               |            |
|---|-------------|---------------|------------|
| A/S SYDVARANGER                             | MÅLESTOKK   | PRT. GN JE AH | 286-207-67 |
| Bekkesedimenter Lettløselig tungmetall      | ANAL. SS TV | 221-241 68    |            |
| ca.   | TEGN. IT    | 5.2 1968      |            |
| 1:20.000                                    | KFR         | 5.2 1968      |            |
| NORGES GEOLOGISKE UNDERSØKELSE<br>TRONDHEIM |             | 761 - 19      |            |



A/S SYDVARANGER  
Bekkesedimenter. Lett løselig tungmetall.  
**KARASJOK, Børvasgiedde. C**

|                 |  |  |
|-----------------|--|--|
| MÅLESTOKK<br>CO | PRT. GRUVE/AM<br>ANAL SS. IV<br>TEGN 11<br>KFR | 266-267 67<br>221-241 68<br>32 1968<br>62 1968 |
| 1:20000         |  |  |

NORGES GELOGISKE UNDERSOKEELSE  
TRONDHEIM

761-20

A/S Sydvaranger  
NGU Rapport nr. 761  
*Bind III*

A/S Sydvaranger  
NGU Rapport nr. 761

Geokjemiske undersøkelser  
Karasjok 1967

Saksbearbeidere  
Ansvarlig: Bjørn Bølviken  
Leder for feltarbeidet: Gunnar Næss

NORGES GEOLOGISKE UNDERSØKELSE  
KJEMISK AVDELING  
TRONDHEIM

I N N H O L D

INNLEDNING ..... s. 4

TIDLIGERE UNDERSØKELSER

Magnetiske og elektromagnetiske flymålinger ..... s. 4  
Geokjemiske undersøkelser ..... s. 5  
De alluviale gullforekomster ..... s. 5  
Det faste fjells geologi ..... s. 6

METODIKK

Prøvetaking og prøvebehandling..... s. 9  
Analysemetoder..... s. 9  
Bearbeidelse av analyseresultater, kartfremstilling. ... s. 10

RESULTATER

Kurver over frekvensfordelinger..... s. 10  
Prøvenummer og analyseresultater og  
utskilte anomalier..... s. 13

DISKUSJON

Geokjemiske anomalier - kjente forekomster..... s. 17  
Geokjemiske anomalier - alluvialt gull..... s. 18  
Geokjemiske anomalier - geologiske/geofysiske data .... s. 19

OPPSUMMERING OG KONKLUSJON ..... s. 22

Litteraturliste ..... s. 23

NGU rapporter som det er henvist til i teksten ..... s. 24

TABELLER

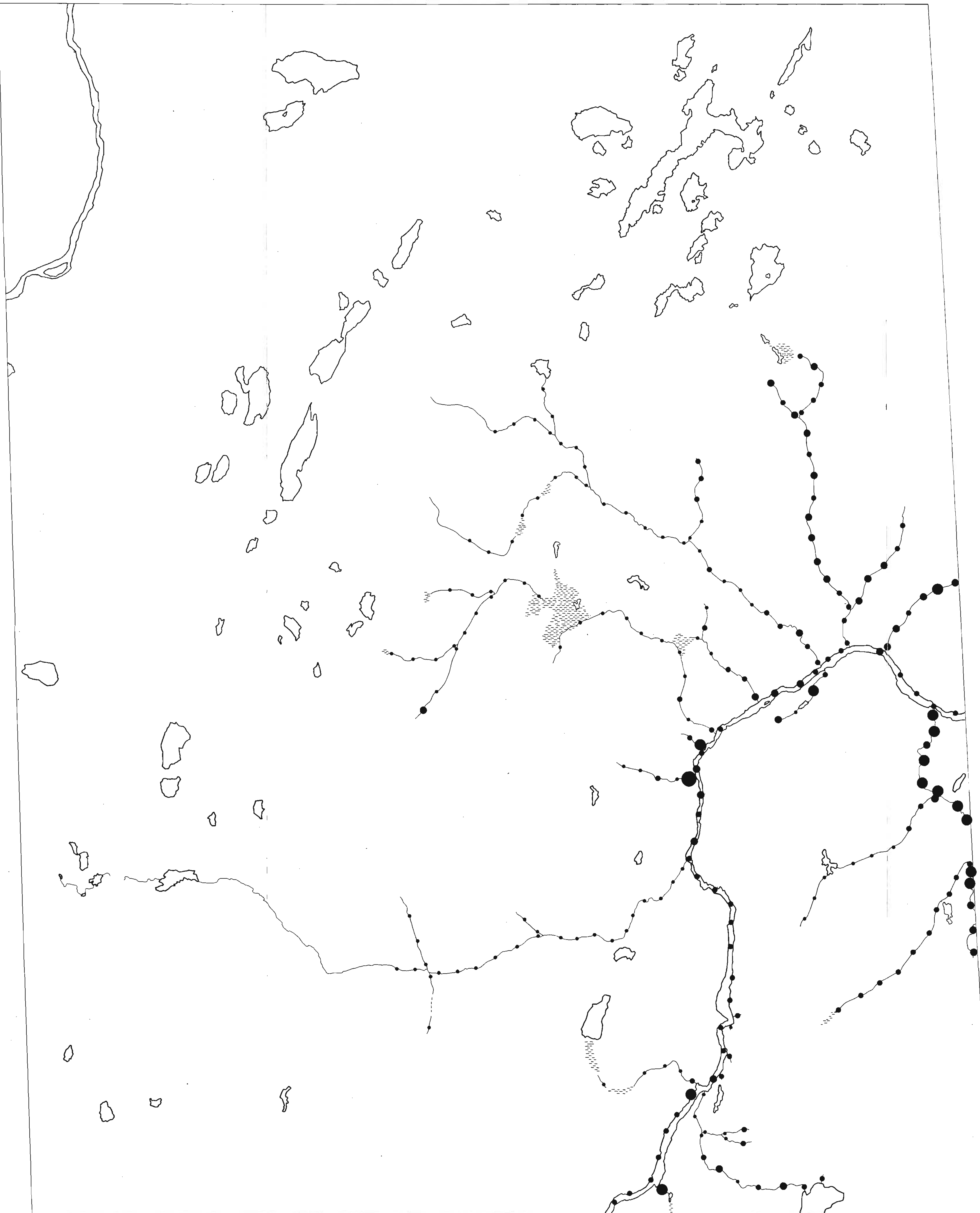
|          |   |       |
|----------|---|-------|
| Tabell 1 | Parametre som kan avleses av fordelingskurvene ....                     | s. 12 |
| " 2      | Valgte grenser for konsentrasjonsgrupper på de<br>geokjemiske kart..... | s. 12 |
| " 3      | Kartbilag Bind II, III, IV. ....  | s. 25 |
| " 4      | Kartbilag Bind I. ....  | s. 26 |

VEDLEGG

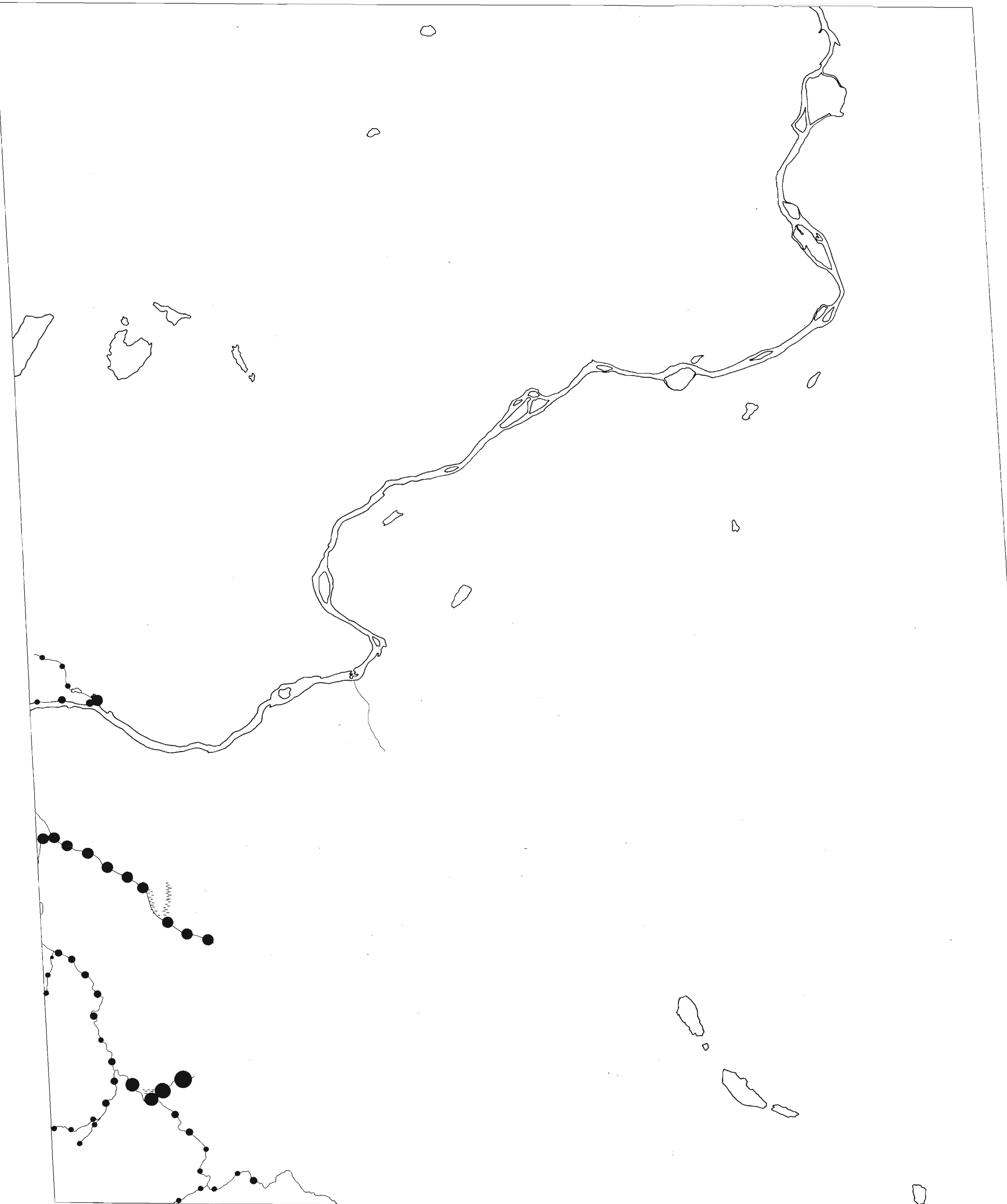
|           |                                    |
|-----------|------------------------------------|
| Vedlegg 1 | Kontrakt.                          |
| " 2       | Bearbeidelse av analyseresultater. |
| " 3-7     | Kurver over frekvensfordelinger.   |

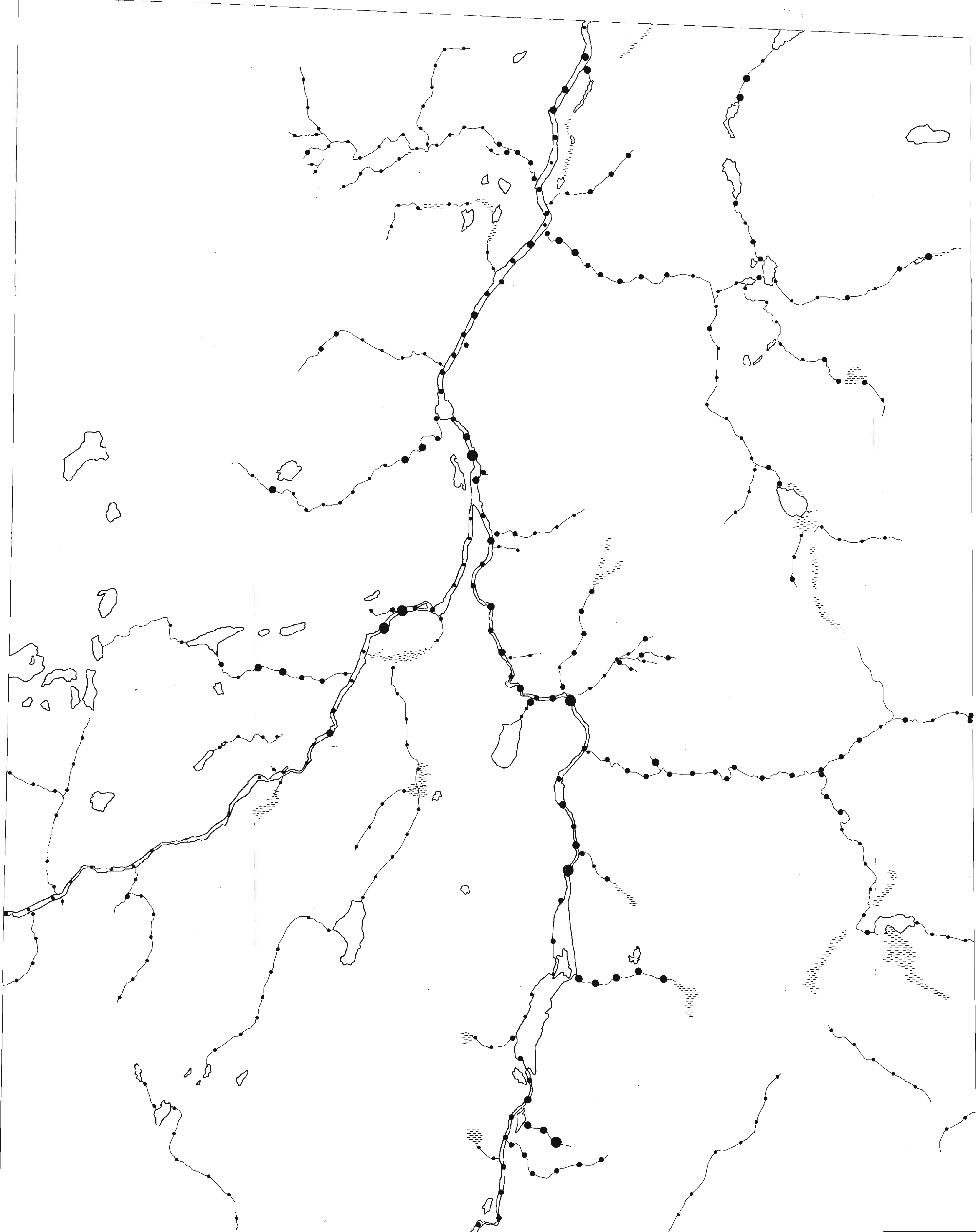
KARTBILAG

|             |           |
|-------------|-----------|
| Plansje 1 A | Bind I.   |
| " 51 - 62   | Bind I.   |
| " 6 - 20    | Bind II.  |
| " 21 - 35   | Bind III. |
| " 36 - 50   | Bind IV.  |



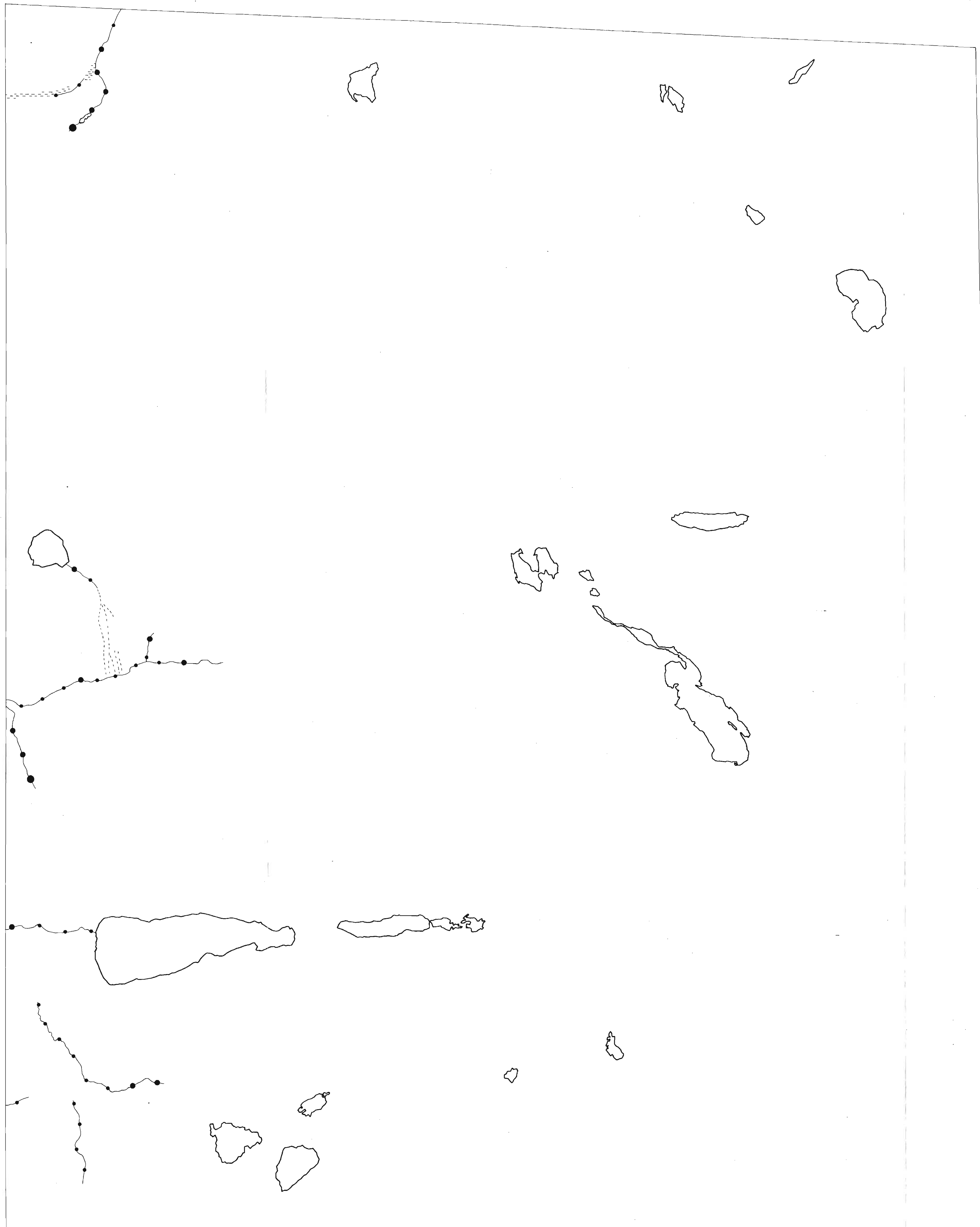
|  |            |               |               |
|--|------------|---------------|---------------|
| A/S SYDVARANGER                                  | MÅLESTOKK  | PRT. GN/JE/AH | 286-207-67    |
| Bekkesedimenter HNO <sub>3</sub> -loselig kobber | ANAL.BB/AH | 18.1.1968     |               |
| KARASJOK, Raite.C                                | TEGN. IT   | 6.2.1968      |               |
| CA. 1: 20.000                                    |            |               | XFR. 7.2.1968 |
| NORGES GELOGISKE UNDERSØKELSE                    |            |               | TRONDHEIM     |
|  |            |               | 761 - 21      |



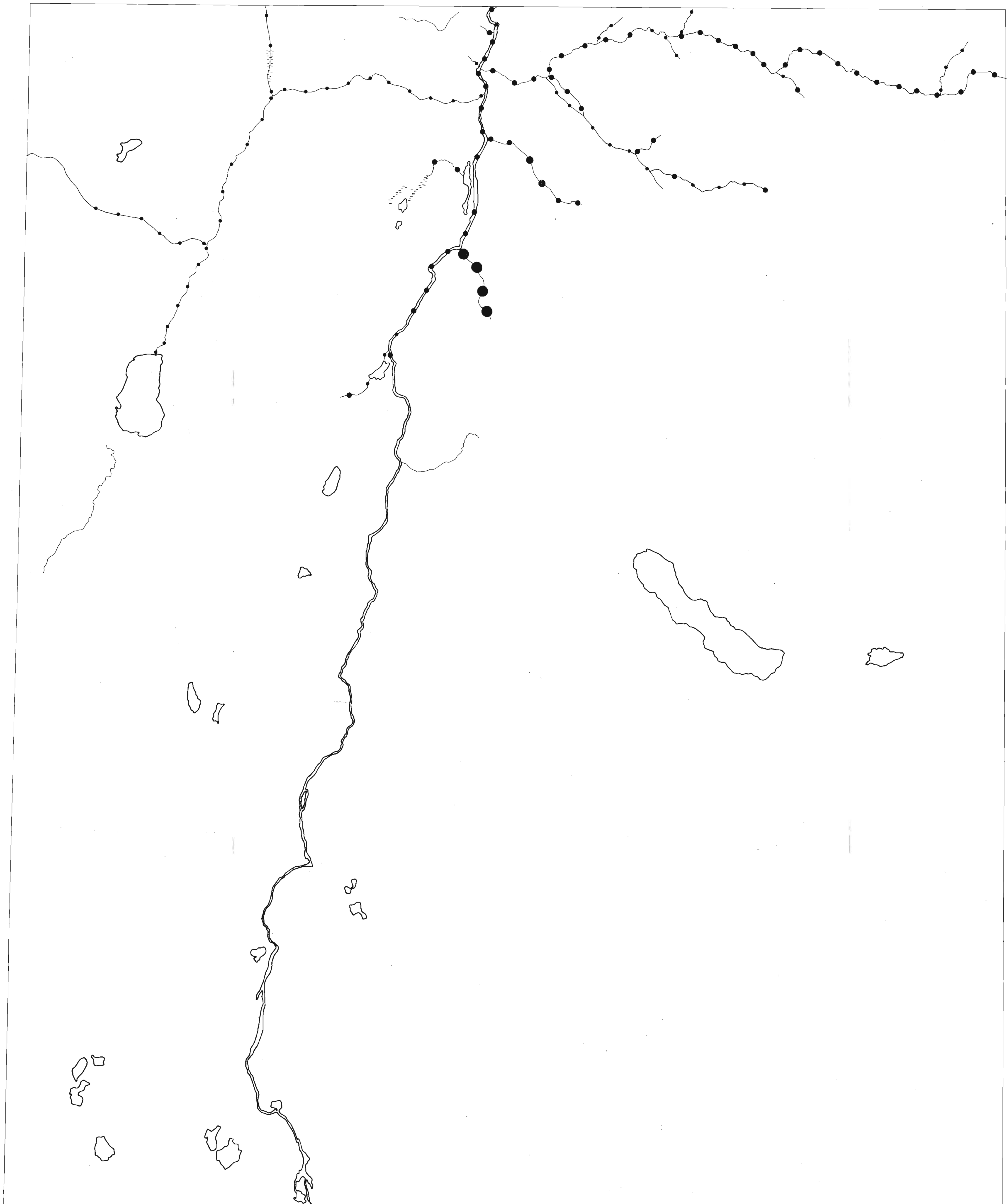


A/S SYDVARANGER  
Bekkesedimenter.  $\text{HNO}_3$ -löslig kobber  
KARASJOK, Bæivasgiedde. D  
NORGES GEOLISKE UNDERSØKELSE  
TRONDHEIM

PRT. GN/JE/AH 28.6.-207-67  
MÅLESTOKK ANAL.BB/AH 18.1.1968  
ca. TEGN. IT 62 7958  
1:20 000 KFR. 72 7958  
761 - 23

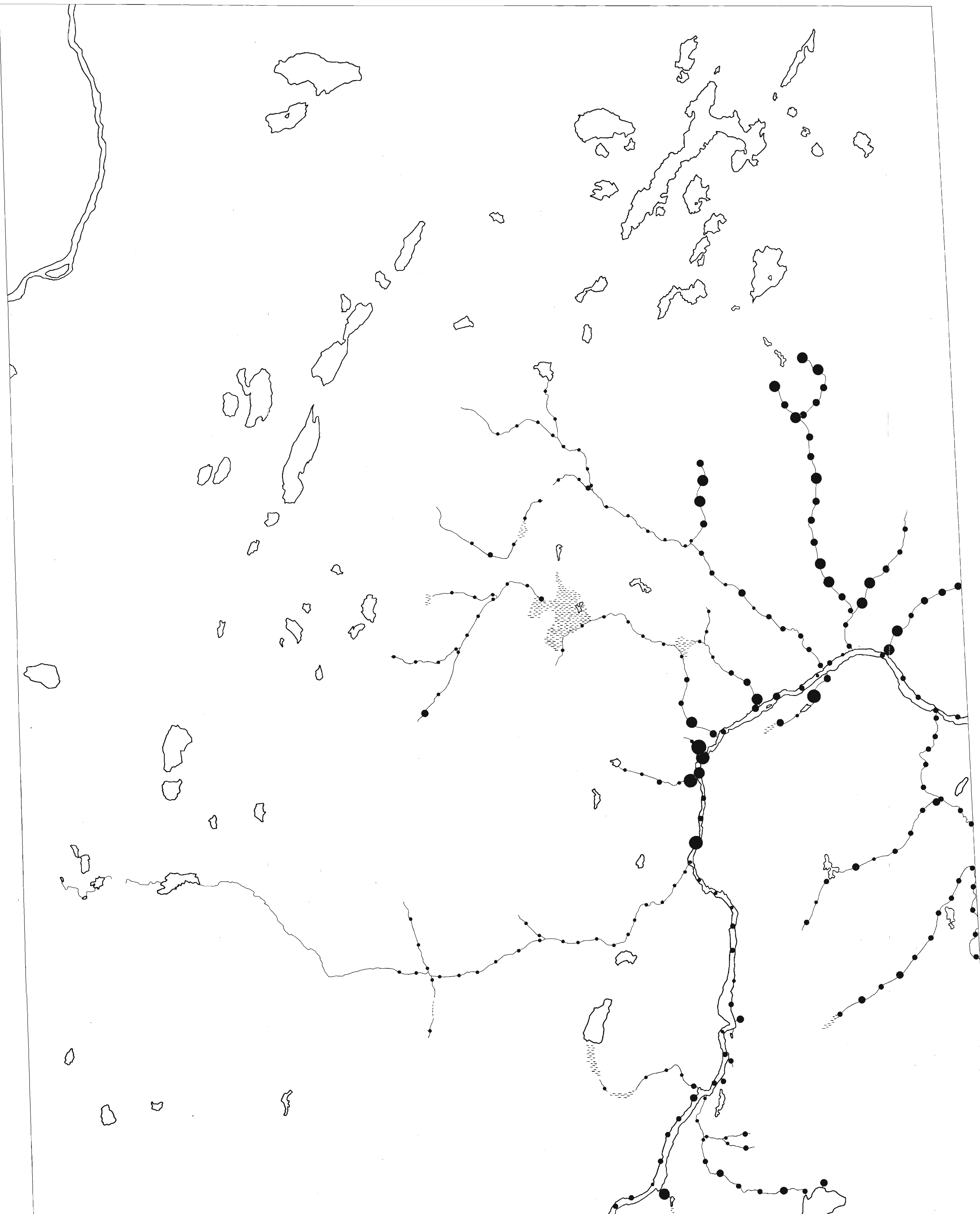


|  |  |   |
|--|--|---|
| A/S SYDVÅRANGER<br>Bekkesedimenter. HNO <sub>3</sub> -løselig kobber<br><b>KARASJOK</b> , Bæivassgiedde. A | MÅLESTOKK<br>ANAL BB/AH ca. TEGN. IT<br>1: 20 000 KFR. | PRT. GN/JE/AH 28.6-207-47<br>ANAL BB/AH 18.1 1968<br>ca. TEGN. IT 7.2 1968<br>1: 20 000 KFR. 7.2 1968 |
| NORGES GEOLOGISKE UNDERSØKELSE<br>TRONDHEIM  |  | 761 - 24  |



0 1 2 km

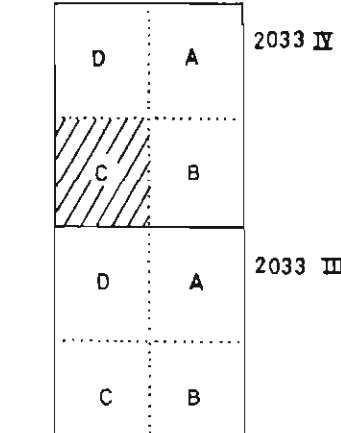
|   |   |
|---|---|
| A/S SYDVARANGER<br>Bekkesedimenter. HNO <sub>3</sub> -løselig kobber<br><b>KARASJOK</b> , Bæivasgiedde, C | MÅLESTOKK PRT. GNJ/E/AH 28.5-20.7-67<br>CG. ANAL. BB/AH 18.1 1968<br>TEGN. IT 72 1968<br>KFR. 82 1968 |
| NORGES GEOLISKE UNDERSØKELSE<br>TRONDHEIM   | 761 - 25  |



TEGNFORKLARING:

|       |               |
|-------|---------------|
| •     | 0 - 15 ppm    |
| ●     | 16 - 30 ppm   |
| ●●    | 31 - 63 ppm   |
| ●●●   | 64 - 130 ppm  |
| ●●●●  | 131 - 268 ppm |
| ●●●●● | 268 - 333 ppm |

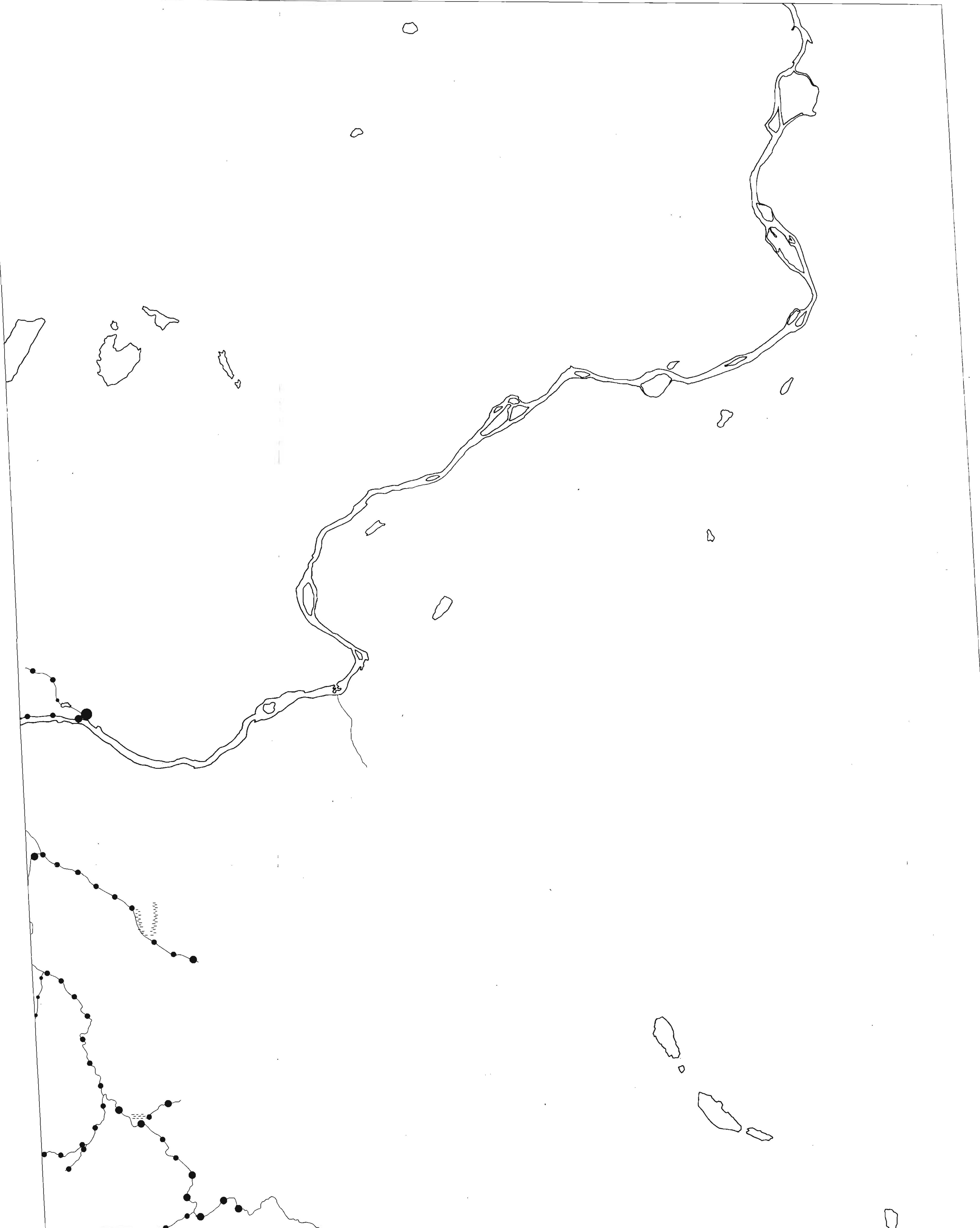
BLADDELING:



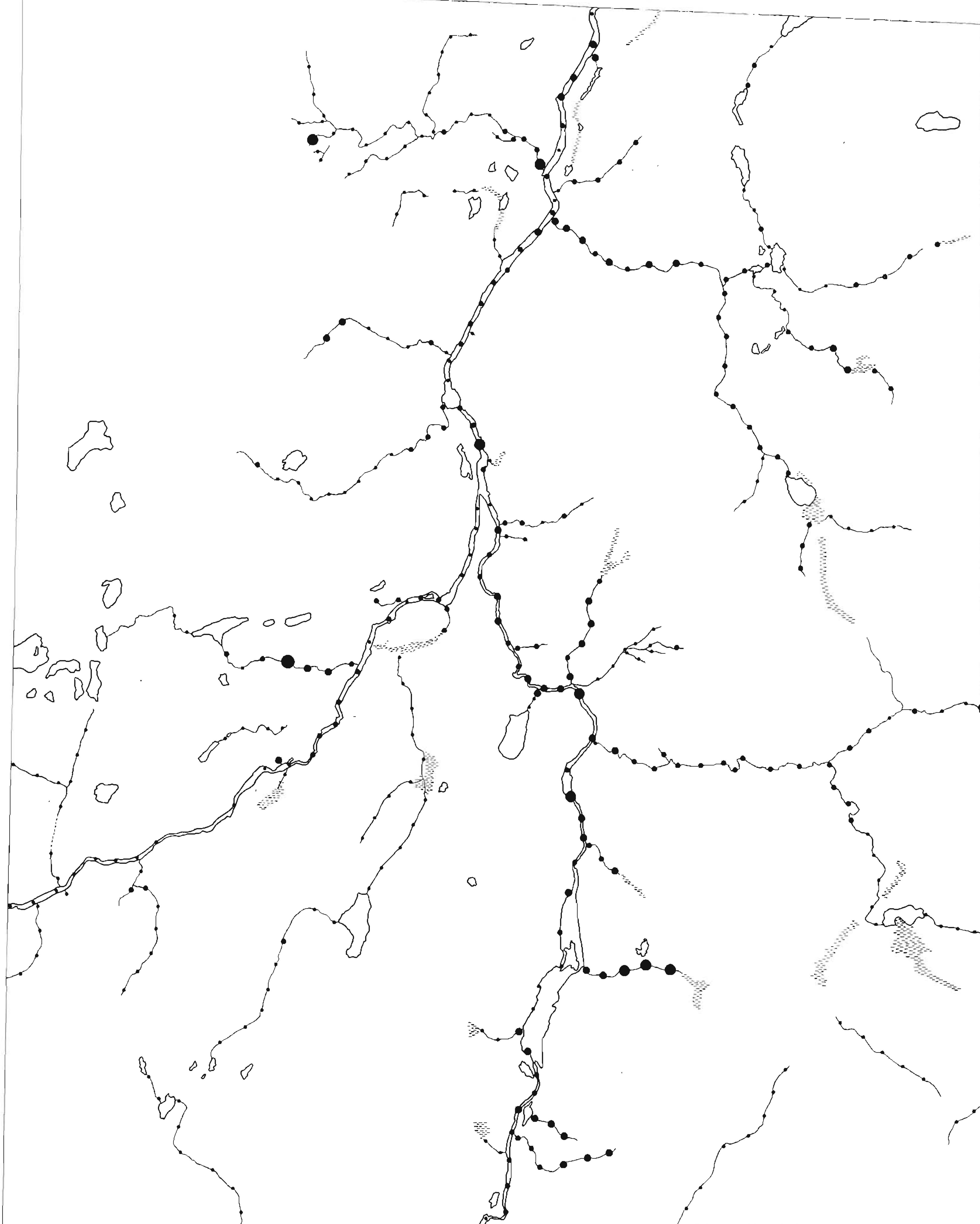
0 1 km 2 km

A/S SYDVANGER  
Bekkesedimenter, HNO<sub>3</sub>-löselig nikkel  
**KARASJOK**, Raite.C  
NORGES GEOLOGISKE UNDERSØKELSE  
TRONDHEIM

MÅLESTOKK  
ANAL BB/AH 191 1968  
ca. TEGN. IT 92 1968  
1:20 000 KFR. 102 1968

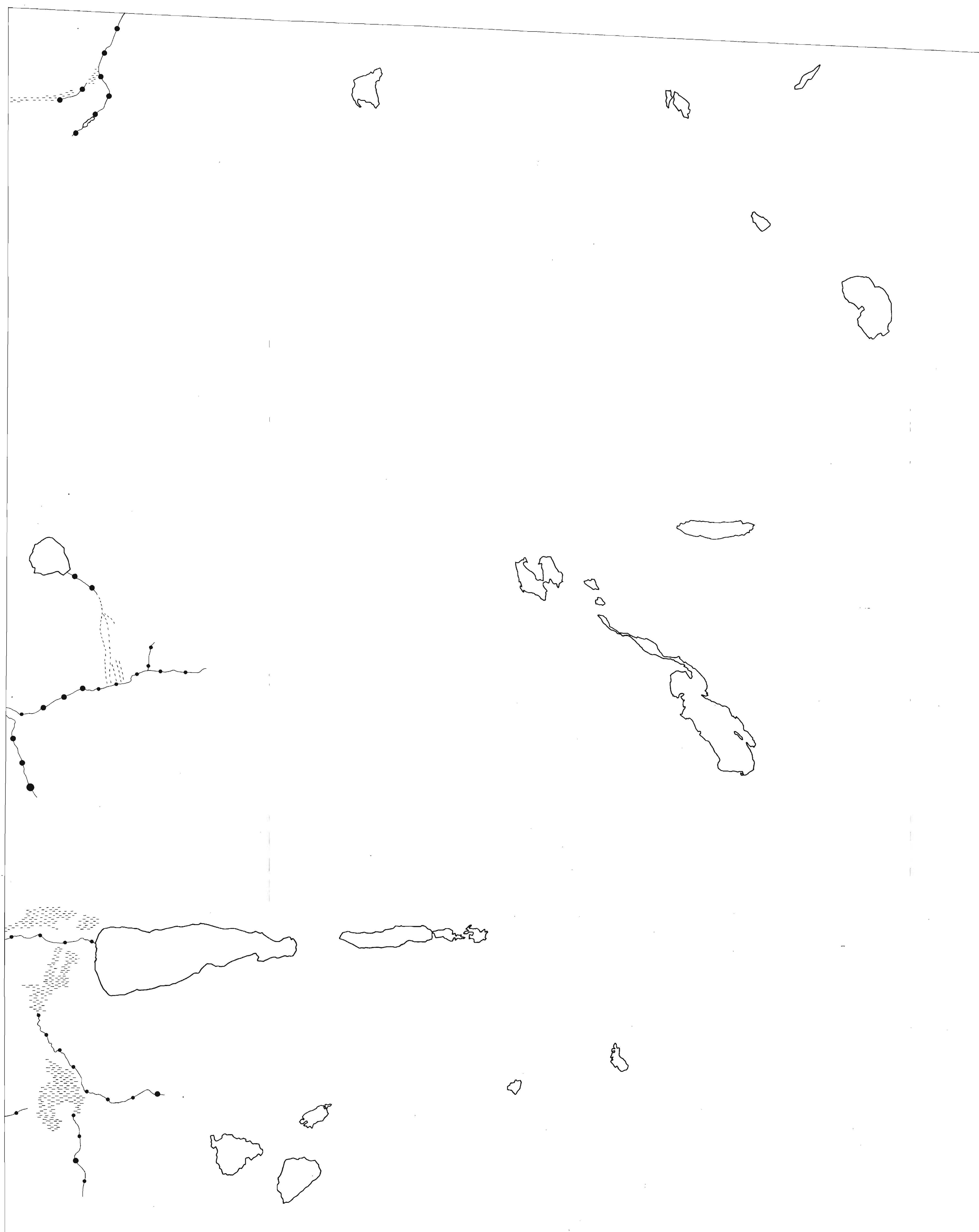


|   |                           |   |   |
|---|---------------------------|---|---|
| A/S SYDVARANGER<br>Bekkesedimenter. HNO <sub>3</sub> -løselig nikkel<br><b>KARASJOK</b> , Raite B | MÅLESTOKK<br>ca. 1:20.000 | PRT. GNJE/AH<br>ANAL. BB/AH<br>TEGN. IT<br>KFR. | 28.6.-20.67<br>19.1. 1968<br>102. 1968<br>102. 1969 |
| NORGES GEOLOGISKE UNDERSØKELSE<br>TRONDHEIM   |                           | 761 - 27  |   |



A/S SYDVARANGER  
Bekkasedimentet HNO<sub>3</sub>-leselig nikkel  
KARASJOK, Baevassgiedde D  
NORGES GEOLGISCHE UNDERSØKELSE  
TRONDHEIM

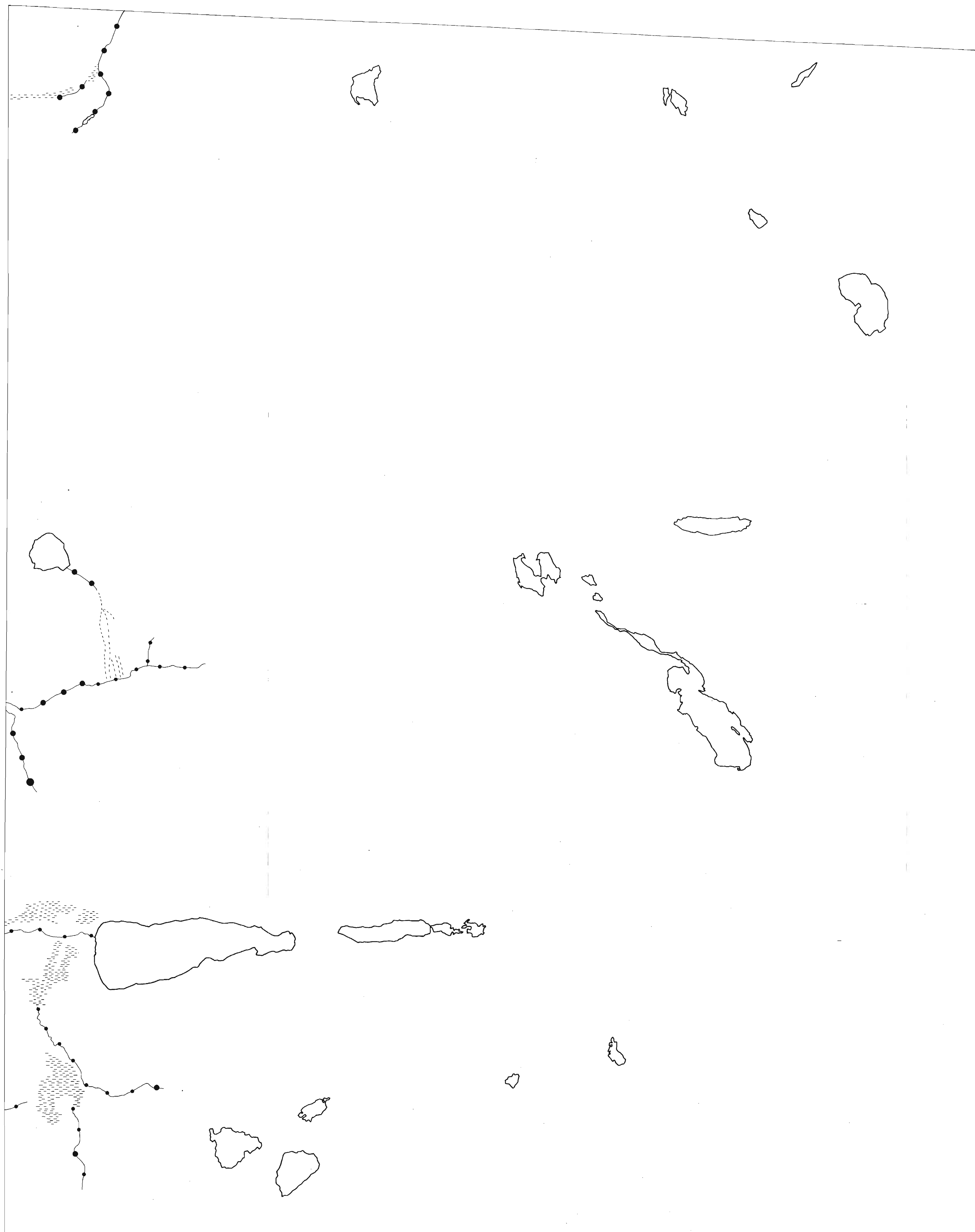
MÅLESTOKK 266 207-17  
ANAL BB/JAH 19.1 1968  
CG 102 1968  
1. 20 000 KVR 10.2 1968  
761 - 28



A/S SYDVARANGER  
Bekkesedimenter HNO<sub>3</sub>-løselig nikkel  
**KARASJOK**, Bæivassgiedde A  
NORGES GEOLISKE UNDERSØKELSE  
TRONDHEIM

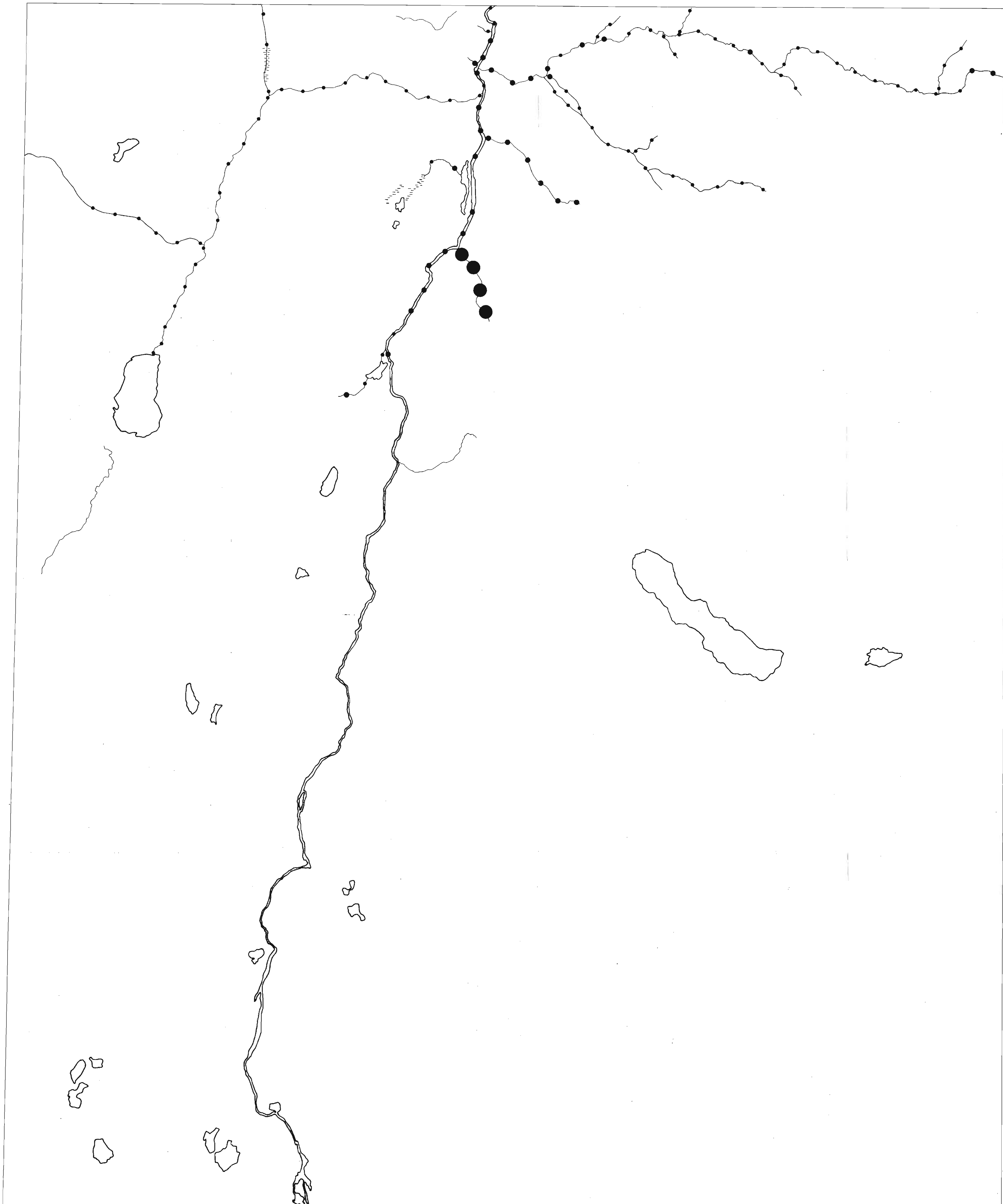
MÅLESTOKK PRT GN/JE/AH 28.6-207-47  
ANAL.BB/AH 19.1 1968  
ca. TEGN. LT 102 1968  
1:20.000 KFR. 102 1968

761 - 29

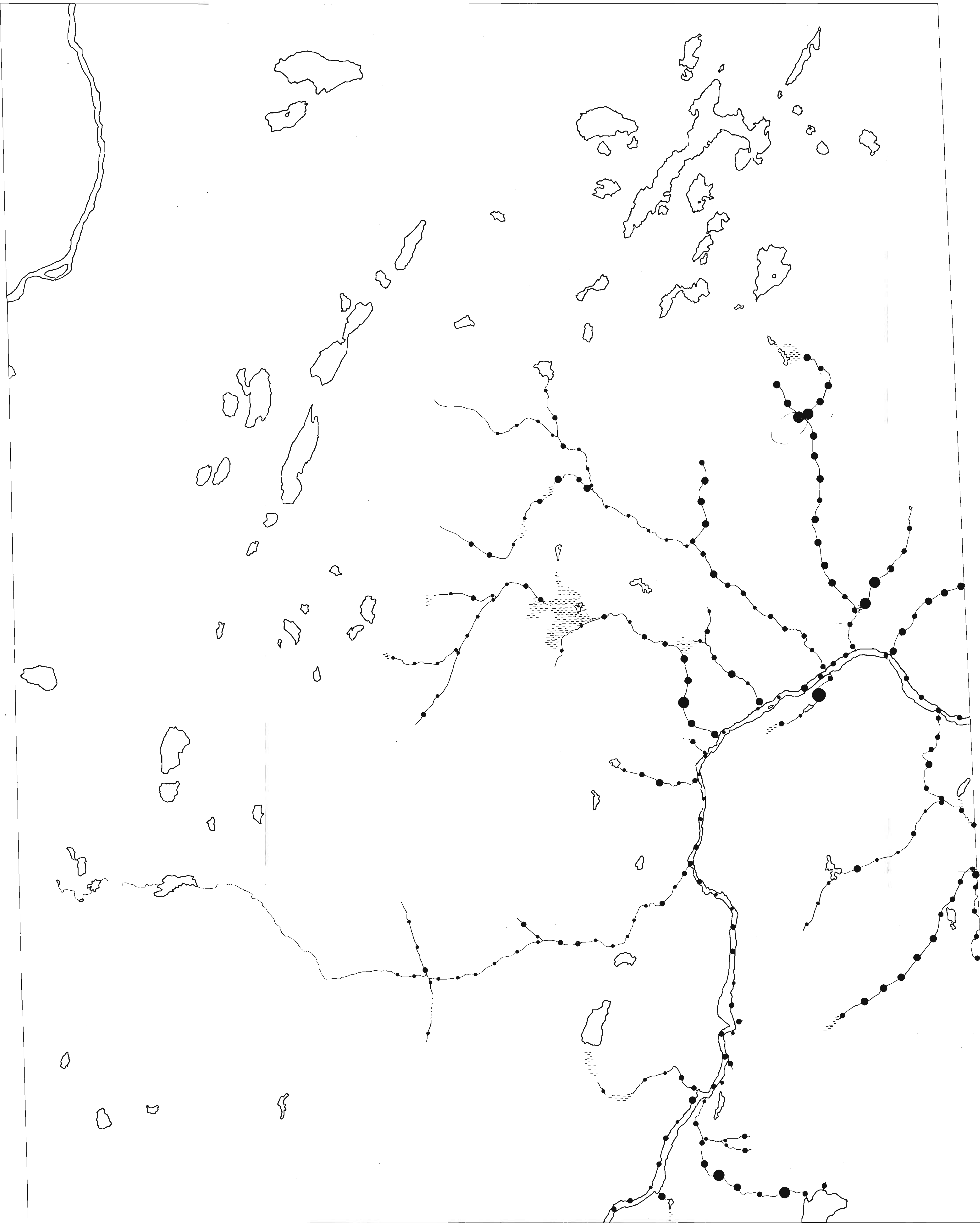


A/S SYDVARANGER  
Bekkesedimenter HNO<sub>3</sub>-løselig nikkel  
KARASJOK, Bæivassgiedde. A  
NORGES GEOLISKE UNDERSØKELSE  
TRONDHEIM

MÅLESTOKK PRT.GN/JE/AH 28.6-207-47  
ANAL.BB/AH 19.1 1968  
ca. TEKN. IT 102 1968  
1:20.000 KFR. 102 1968  
761 - 29

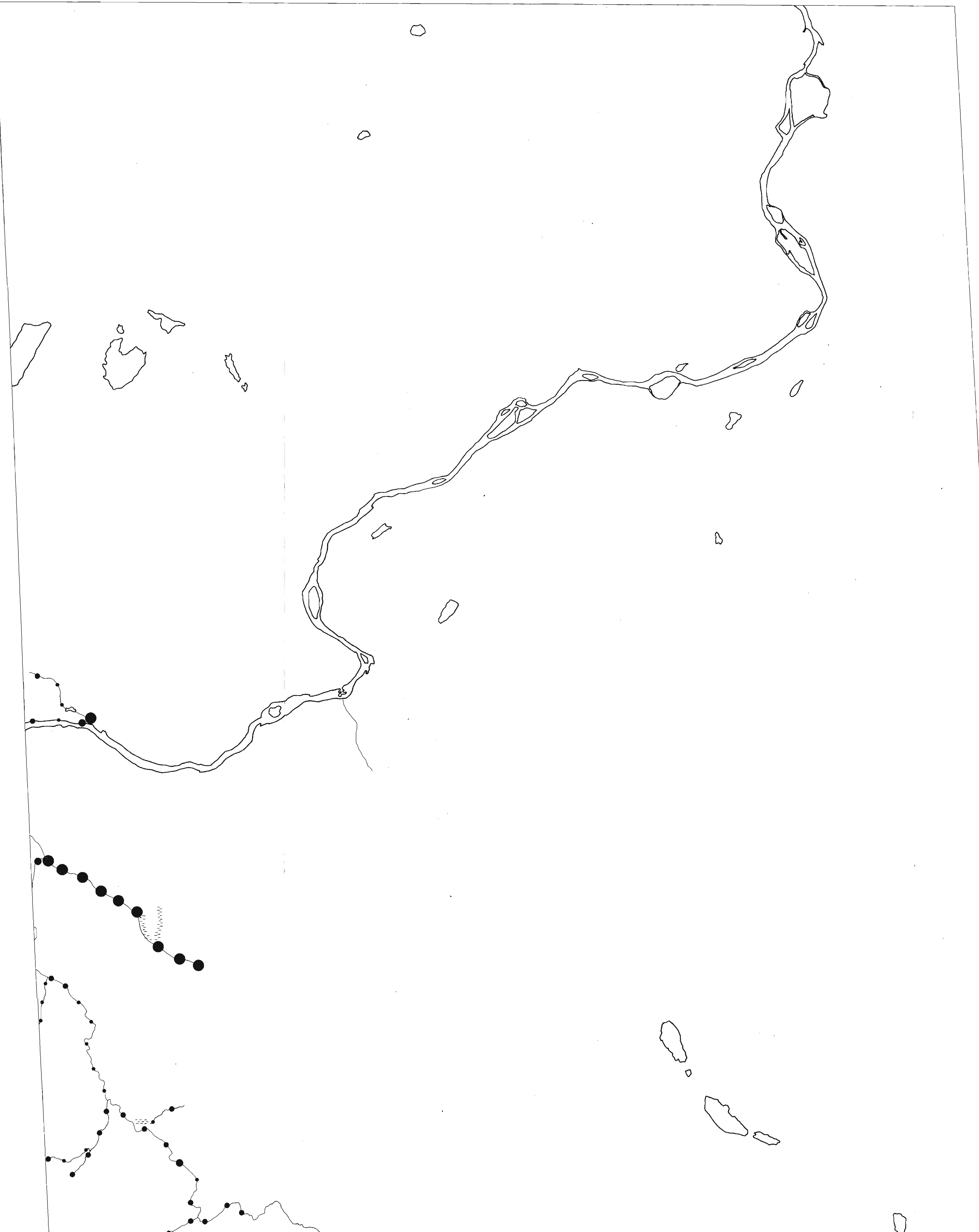


|                               |             |               |             |
|-------------------------------|-------------|---------------|-------------|
| A/S SYDVARANGER               | MÅLESTOKK   | PRT. GN/JE/AH | 26.6-207-67 |
| Bekkesedimenter               | ANAL. BB/AH | 19.1 1968     |             |
| KARASJOK, Bæivassgiedde. C    | TEGN. IT    | 12.2 1968     |             |
|                               | MFR.        | 12.2 1968     |             |
| NORGES GELOGISKE UNDERSØKELSE |             |               |             |
| TRONDHEIM                     |             |               | 761-30      |



A/S SYDVARANGER  
Bekkesedimenter. HNO<sub>3</sub>-löselig sink  
KARASJOK, Raite. C  
NORGES GEOLOGISKE UNDERSØKELSE  
TRONDHEIM

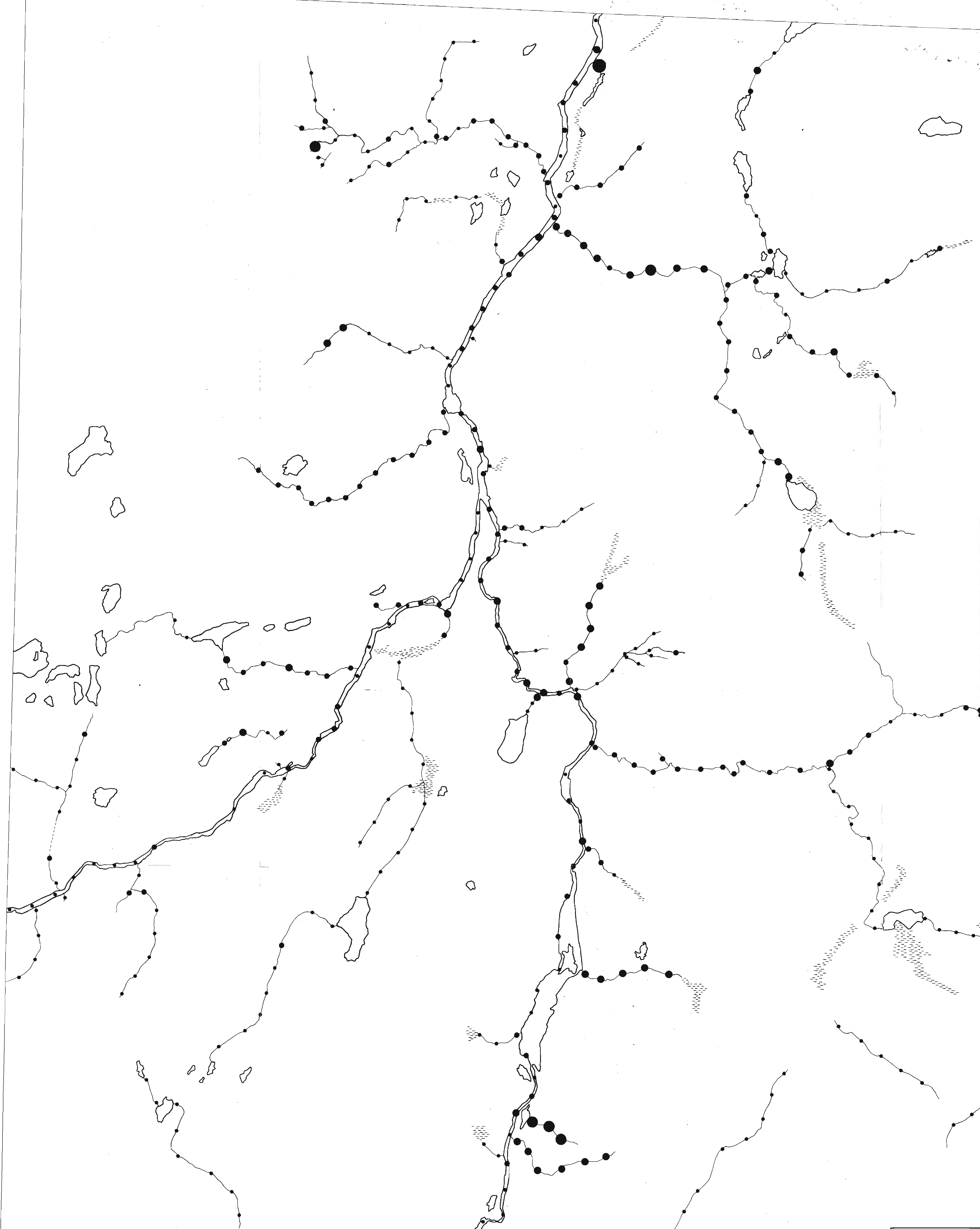
MÅLESTOKK PRT. GN/JE/AH 26.6.-207.67  
ANAL. RK/SS 191. 1968  
ca. TEGN. IT 12.2. 1968  
1: 20.000 KFR. 12.2. 1968



A/S SYDVANGER  
Bekkesedimenter. HNO<sub>3</sub>-løselig sink  
**KARASJOK**, Rait. B  
NORGES GEOLOGISKE UNDERSØKELSE  
TRONDHEIM

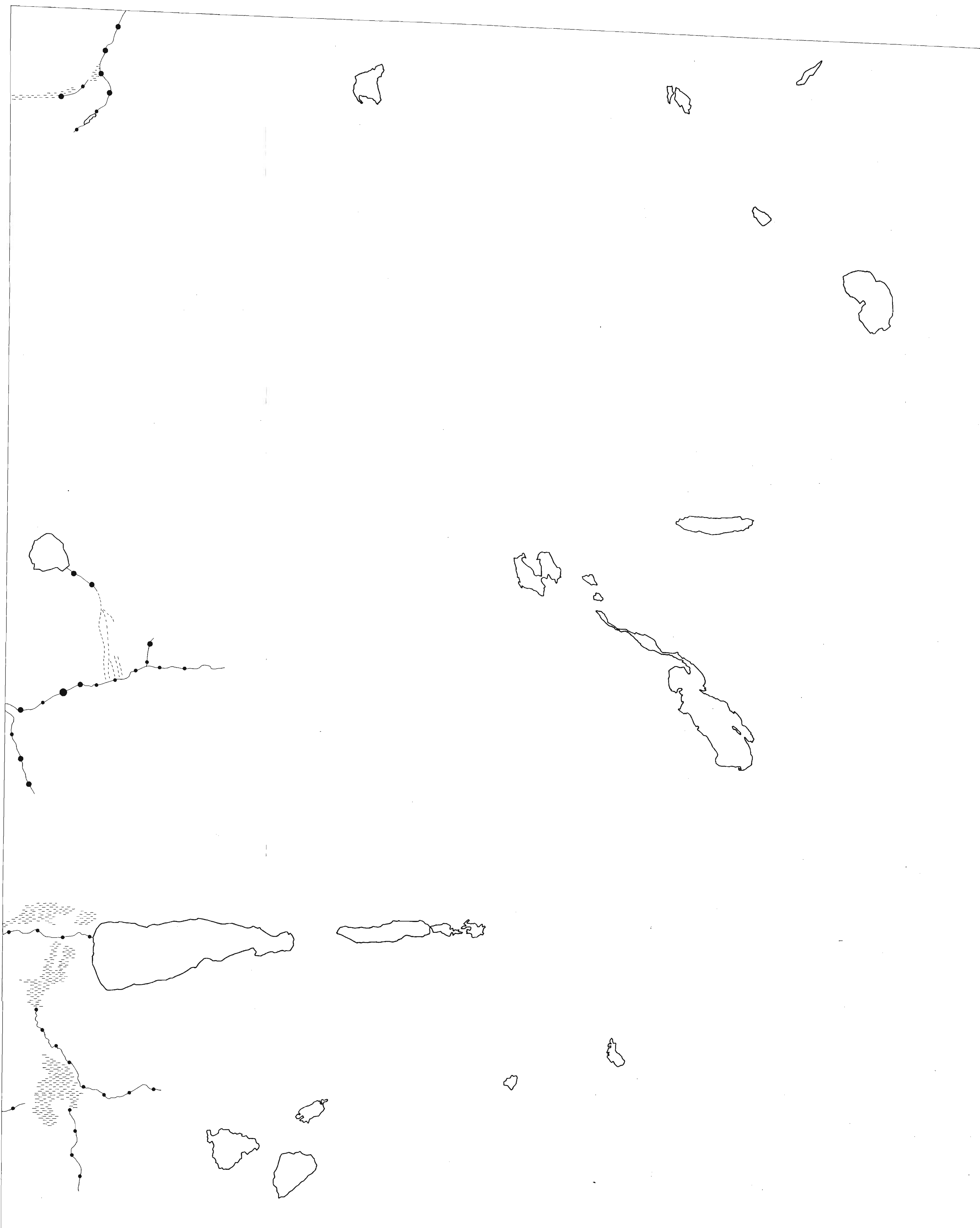
MÅLESTOKK  
ca.  
PRY. GN/JE/AH 28.6-20.7.67  
ANAL. RK/SS 19.1.1968  
TEGN. IT 12.2.1968  
1:20.000 KFR. 12.2.1968

761 - 32

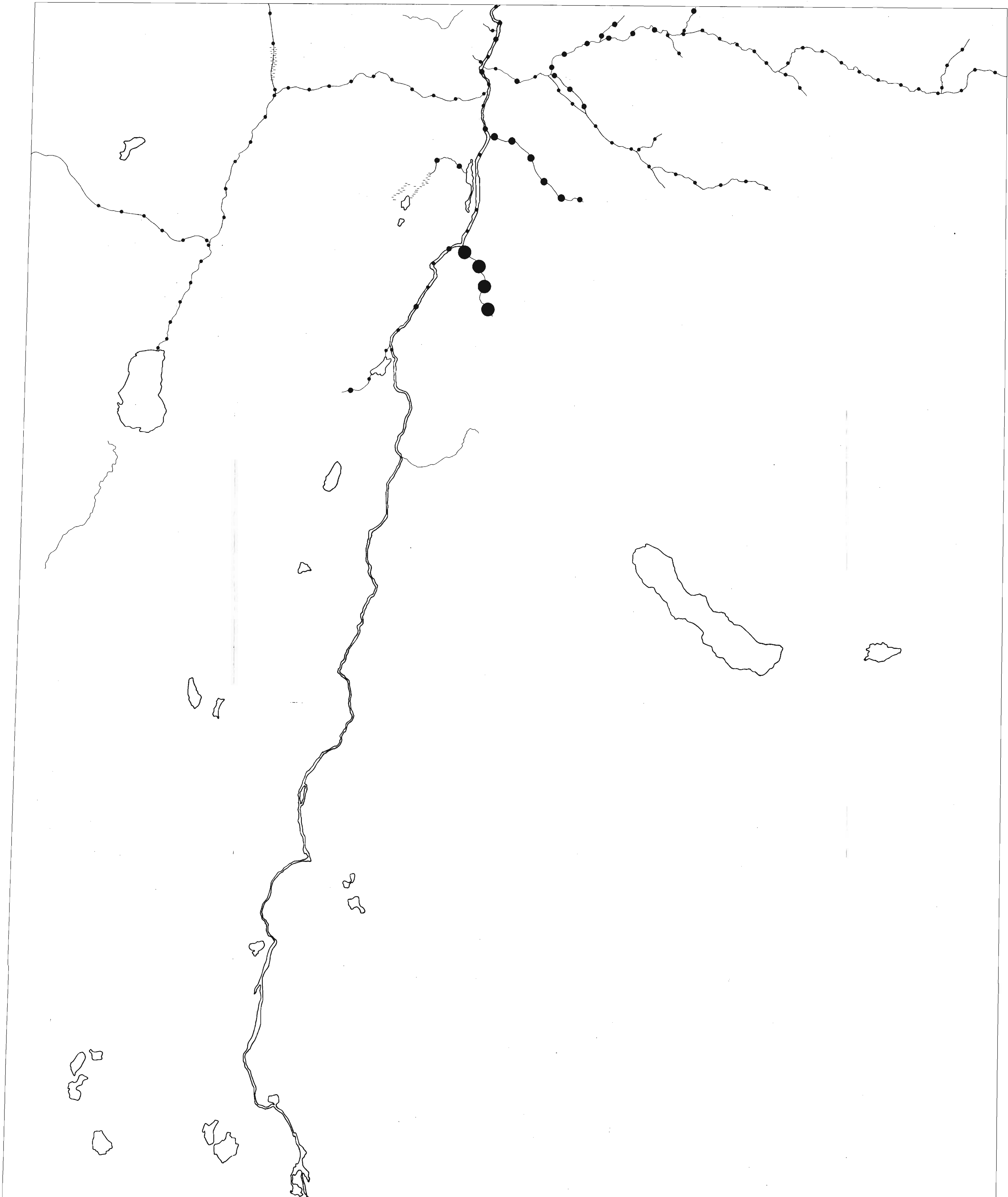


A/S SYDVARANGER  
Bekkesedimenter.  $\text{HNO}_3$ -löslig sink  
**KARASJOK,** Bæivasgiedde D  
NORGES GEOLOGISKE UNDERSØKELSE  
TRONDHEIM

MÅLESTOKK  
PRT. GN JEIAH 266-207-57  
ANAL. RK/SS 191 1968  
ca. TEGN. IT 132 1968  
1:20 000 KFR. 14.2 1968



|   |  |   |            |
|---|--|---|------------|
| A/S SYDVARANGER<br>Bekkesedimenter. HNO <sub>3</sub> -løselig sink<br><b>KARASJOK</b> , Bæivasgiedde. A | MALESTOKK<br>ANAL. RK/SS<br>ca. TEGN. IT<br>1: 20.000 KFR. | PRT. GN/JE/AH<br>191 1968<br>152 1968<br>152 1968 | 203-207-67 |
| NORGES GEOLOGISKE UNDERSØKELSE<br>TRONDHEIM   |  |   | 761 - 34   |



0 1 2 km

|   |            |                          |
|---|------------|--------------------------|
| A/S SYDVARANGER                                 | MÅLESTOKK  | PRT. GN/JE/AH 266-207-67 |
| Bekkesedimenter. HNO <sub>3</sub> -løselig sink | ANAL.RK/SS | 19.1 1968                |
| KARASJOK, Bæivassgjedde, C                      | TEGN. IT   | 162 1968                 |
|   | KFR.       | 162 1968                 |
| 1:20000   |            |                          |
| NORGES GEOLISKE UNDERSØKELSE                    |            |                          |
| TRONDHEIM                                       |            |                          |
|   |            | 761-35                   |

A/S Sydvaranger  
NGU Rapport nr. 761  
Bind III

A/S Sydvaranger  
NGU Rapport nr. 761

Geokjemiske undersøkelser  
Karasjok 1967

Saksbearbeidere  
Ansvarlig: Bjørn Bølviken  
Leder for feltarbeidet: Gunnar Næss

NORGES GEOLOGISKE UNDERSØKELSE  
KJEMISK AVDELING  
TRONDHEIM

I N N H O L D

INNLEDNING ..... s. 4

TIDLIGERE UNDERSØKELSER

Magnetiske og elektromagnetiske flymålinger ..... s. 4  
Geokjemiske undersøkelser ..... s. 5  
De alluviale gullforekomster ..... s. 5  
Det faste fjells geologi ..... s. 6

METODIKK

Prøvetaking og prøvebehandling ..... s. 9  
Analysemetoder ..... s. 9  
Bearbeidelse av analyseresultater, kartfremstilling. ... s. 10

RESULTATER

Kurver over frekvensfordelinger ..... s. 10  
Prøvenummer og analyseresultater og  
utskilte anomalier ..... s. 13

DISKUSJON

Geokjemiske anomalier - kjente forekomster ..... s. 17  
Geokjemiske anomalier - alluvialt gull ..... s. 18  
Geokjemiske anomalier - geologiske/geofysiske data .... s. 19

OPPSUMMERING OG KONKLUSJON ..... s. 22

Litteraturliste ..... s. 23

NGU rapporter som det er henvist til i teksten ..... s. 24

TABELLER

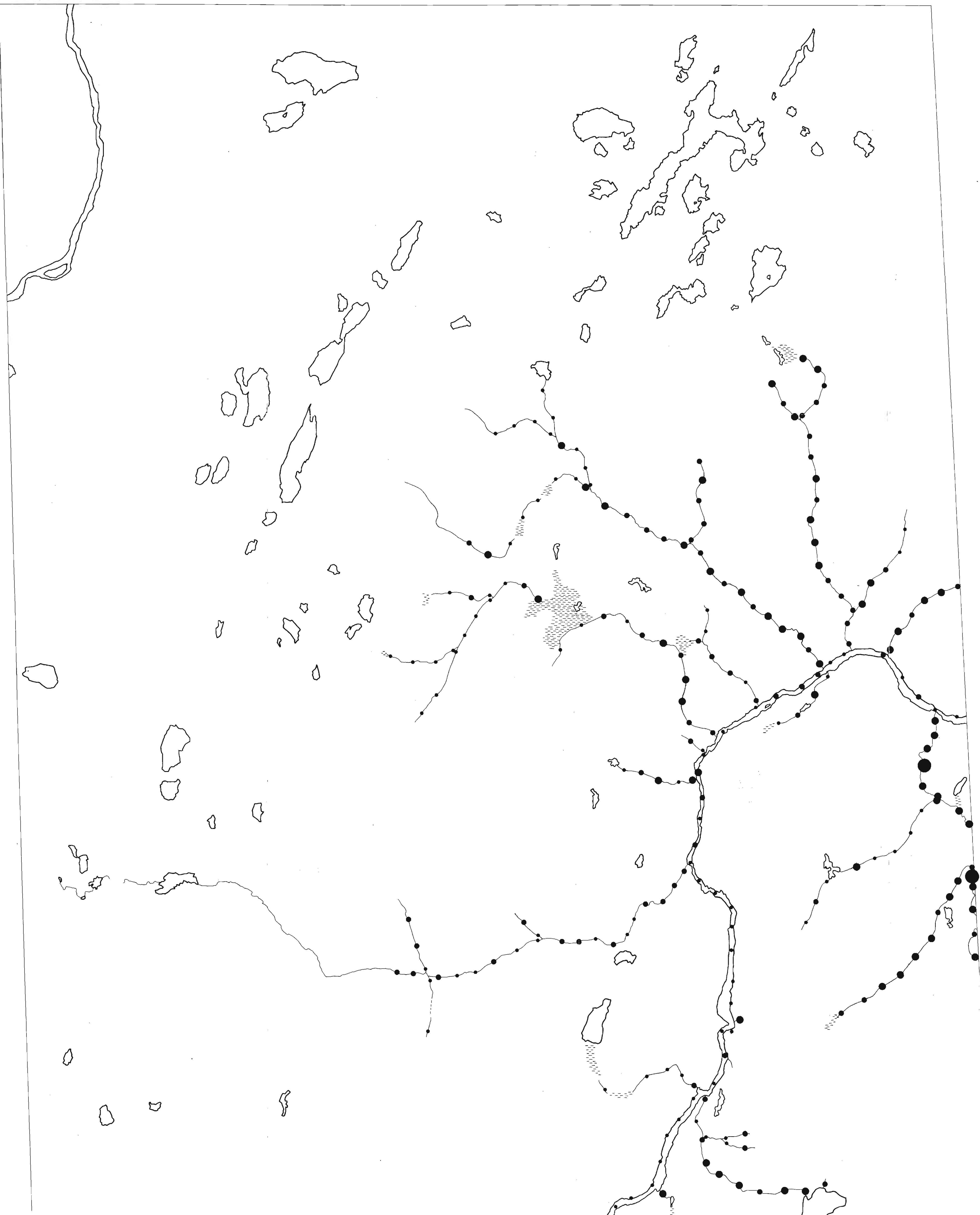
|          |  |       |
|----------|--|-------|
| Tabell 1 | Parametre som kan avleses av fordelingskurvene ....                  | s. 12 |
| " 2      | Valgte grenser for konsentrasjonsgrupper på de geokjemiske kart..... | s. 12 |
| " 3      | Kartbilag Bind II, III, IV. ....                                     | s. 25 |
| " 4      | Kartbilag Bind I. ....   | s. 26 |

VEDLEGG

|           |                                    |
|-----------|------------------------------------|
| Vedlegg 1 | Kontrakt.                          |
| " 2       | Bearbeidelse av analyseresultater. |
| " 3-7     | Kurver over frekvensfordelinger.   |

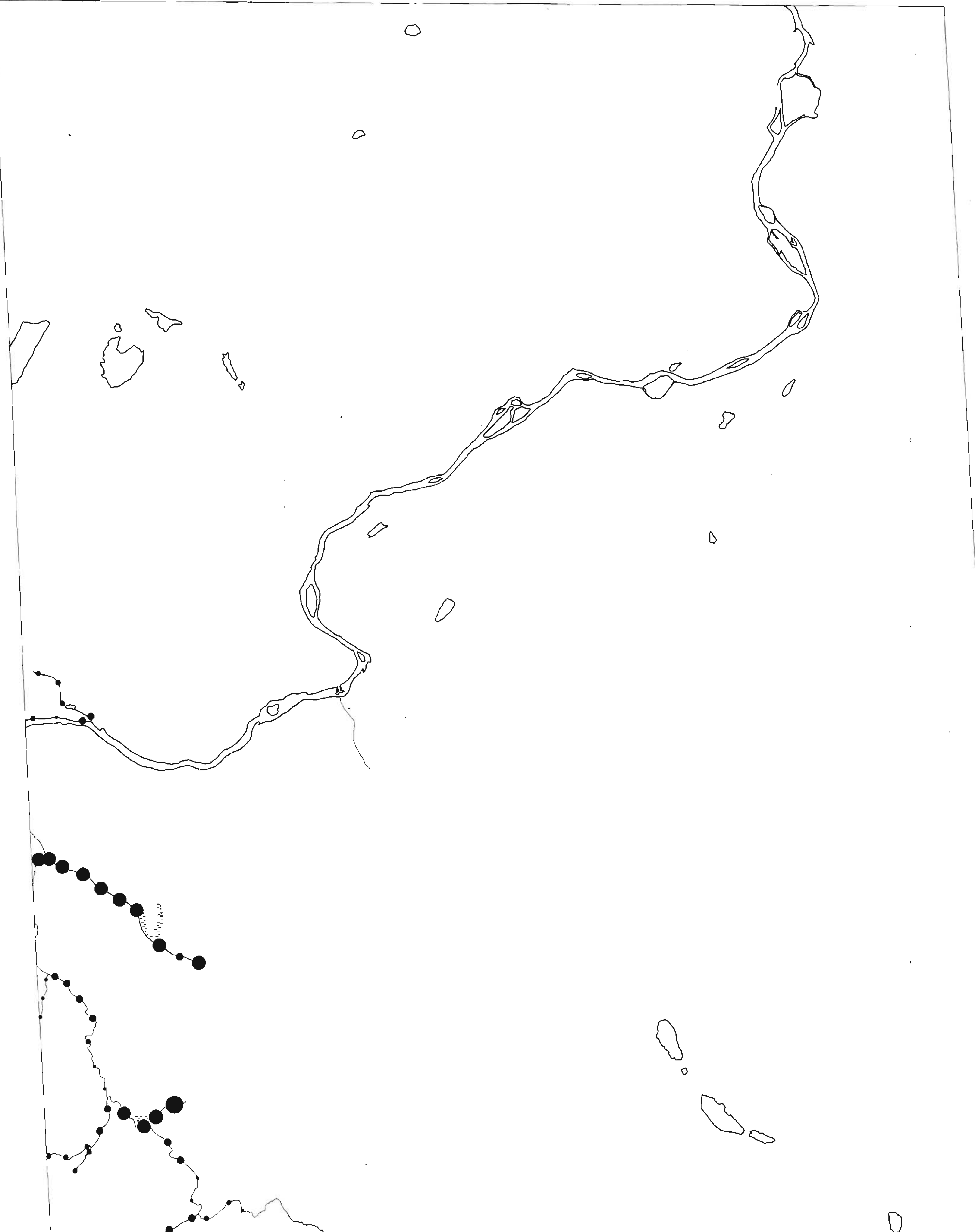
KARTBILAG

|             |           |
|-------------|-----------|
| Plansje 1 A | Bind I.   |
| " 51 - 62   | Bind I.   |
| " 6 - 20    | Bind II.  |
| " 21 - 35   | Bind III. |
| " 36 - 50   | Bind IV.  |

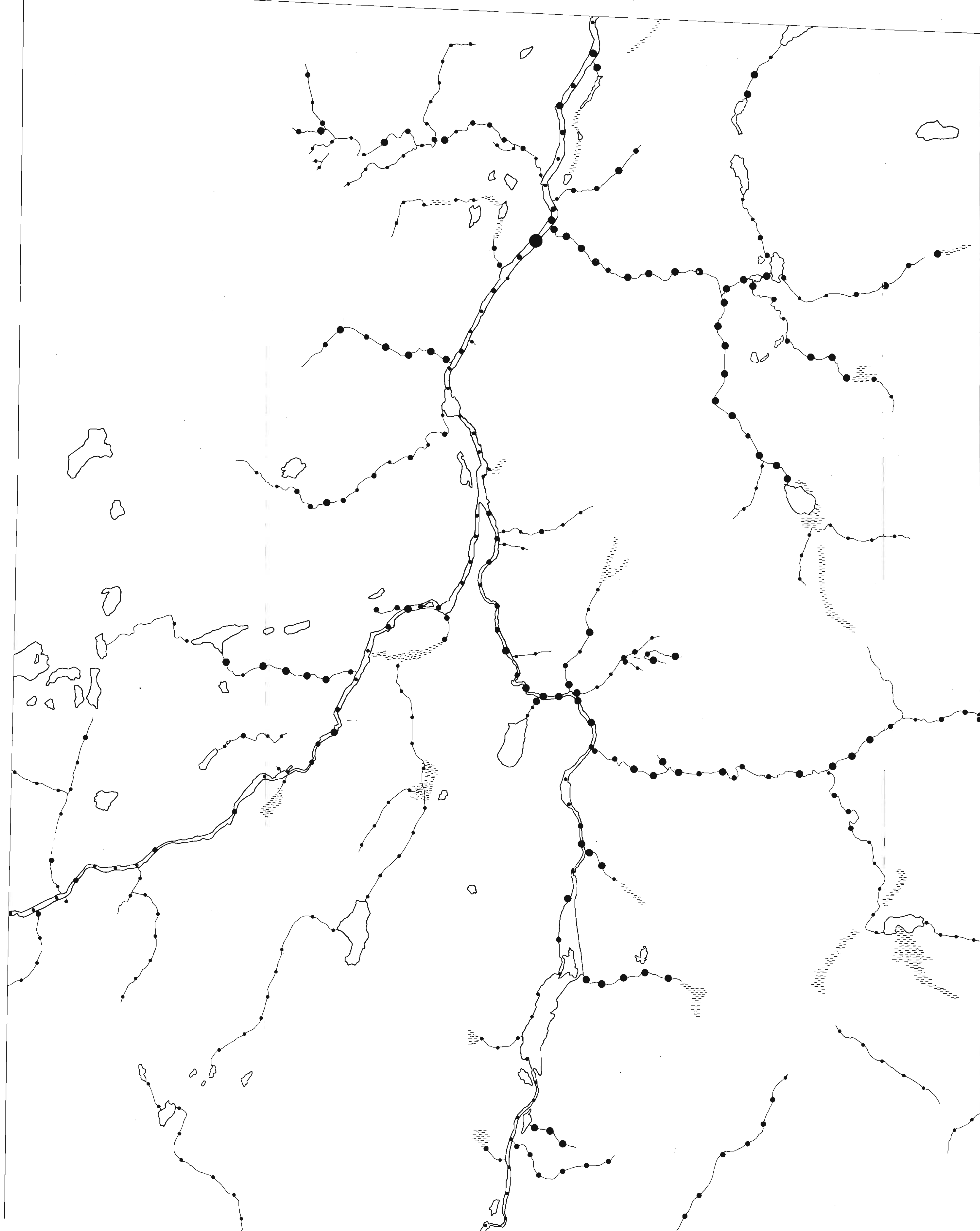


A/S SYDVARANGER  
Bekkesedimenter. Lettloselig tungmetall  
KARASJOK, Raite.C  
NORGES GEOLOGISKE UNDERSØKELSE  
TRONDHEIM

|           |                |            |
|-----------|----------------|------------|
| MÅLESTOKK | PRT. GN/ JE/AH | 266-207-67 |
|           | ANAL. SS / TV  | 221-241-68 |
| ca.       | TEGN. IT       | 192 - 1968 |
| 1: 20.000 | KFR.           | 192 - 1968 |



|  |             |              |              |
|--|-------------|--------------|--------------|
| A/S SYVARANGER                         | MÅLESTOKK   | PRT. DNJEJAH | 20.6-20.7.67 |
| Bekkesedimenter. Lelløselig tungmetall | ANAL. SS/TV | 721-241-M    |              |
| ca                                     | TEGN. IT    | 232 1960     |              |
| KARASJOK, Rute. B                      | KPR.        | 232 1960     |              |
| NORGES GEOLISKE UNDERSØKELSE           |             |              | TRONDHEIM    |
| 761 - 37                               |             |              |              |



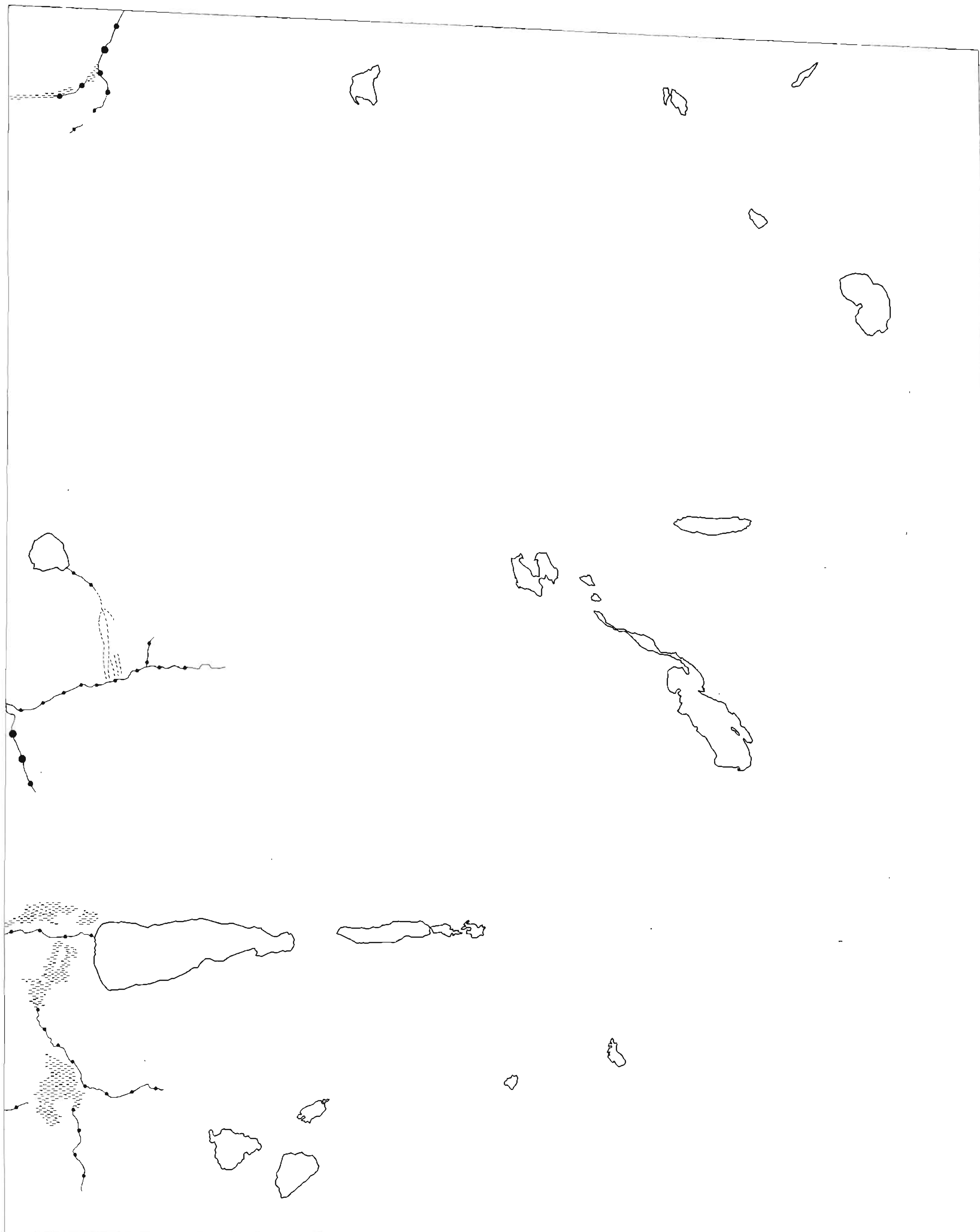
A/S SYDVARANGER  
Bekkesedimenter. Lettleselig tungmetall  
**KARASJOK,**  
Bæivassgiedde. D

MÅLESTOKK  
ANAL. SS / TV  
ca.  
TEGN. IT  
1:20 000  
KFR

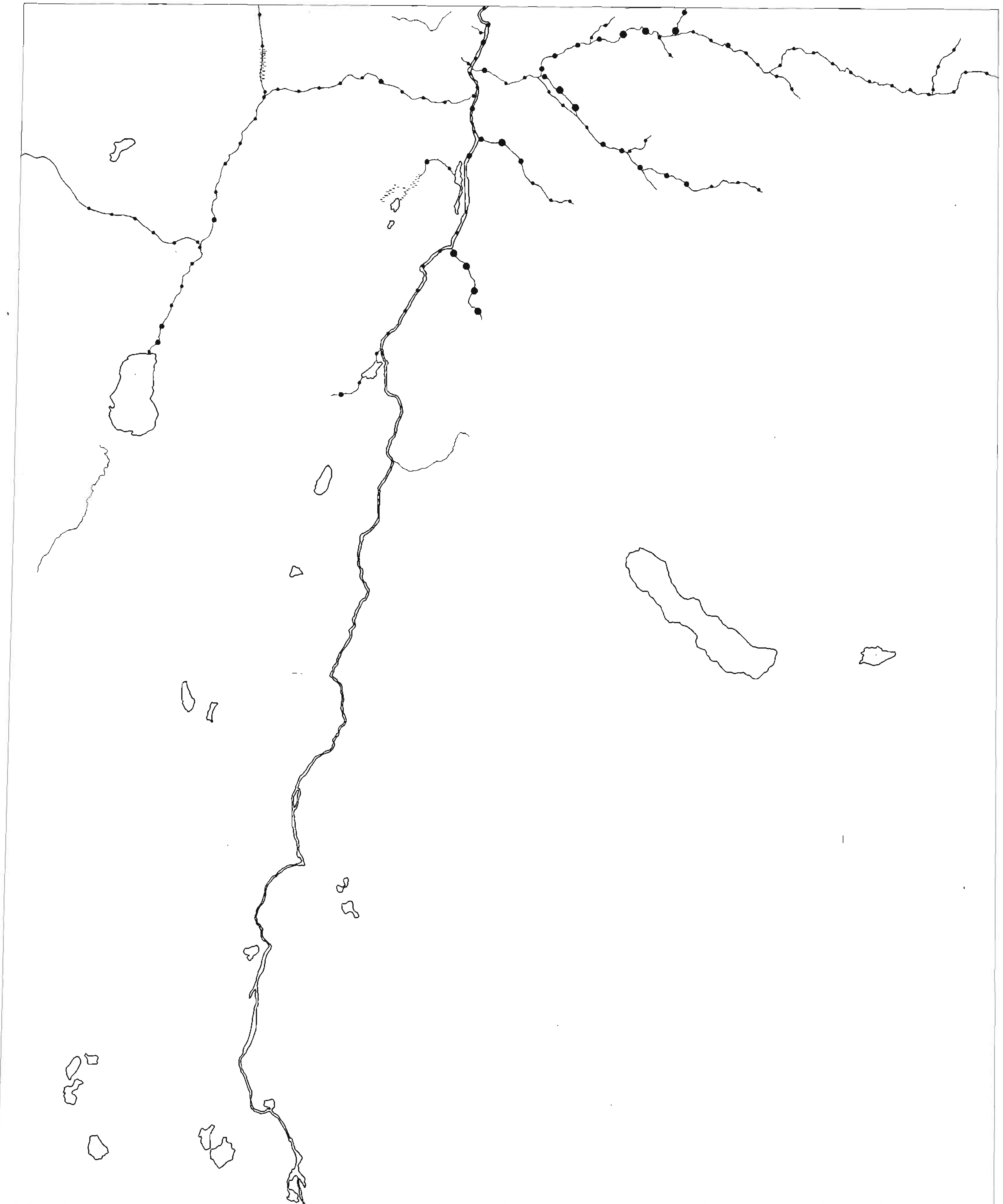
NORGES GEOLOGISKE UNDERSØKELSE  
TRONDHEIM

PRT. GN/JE/AH 28.6-207-67  
22.1-241-68  
202 1968  
202 1968

761 - 38



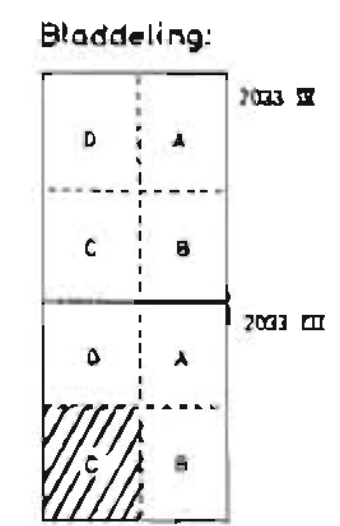
|  |               |              |            |
|--|---------------|--------------|------------|
| A/S SYDVARANGER                          | MÅLESTOKK     | PAT ON JE AM | 216-207-67 |
| Bekkesedimenter Lettlossetg tungmetall   | ANAL SS TV    | 221-241-68   |            |
| ca                                       | TEON IT       | 202 1968     |            |
| KARASJOK, Bøivassgredde A                | I: 20.000 KFR | 102 1968     |            |
| NORGES GEOLOGISKE UNDERSØKELSE TRONDHEIM |               |              | 761 - 39   |



TEGNFORKLARING:

- \* 0 - 1,0 ppm
- 1,1 - 3,2 ppm
- 3,3 - 10,6 ppm
- 10,7 - 34 ppm
- 35 - 110 ppm
- - 120 ppm

N



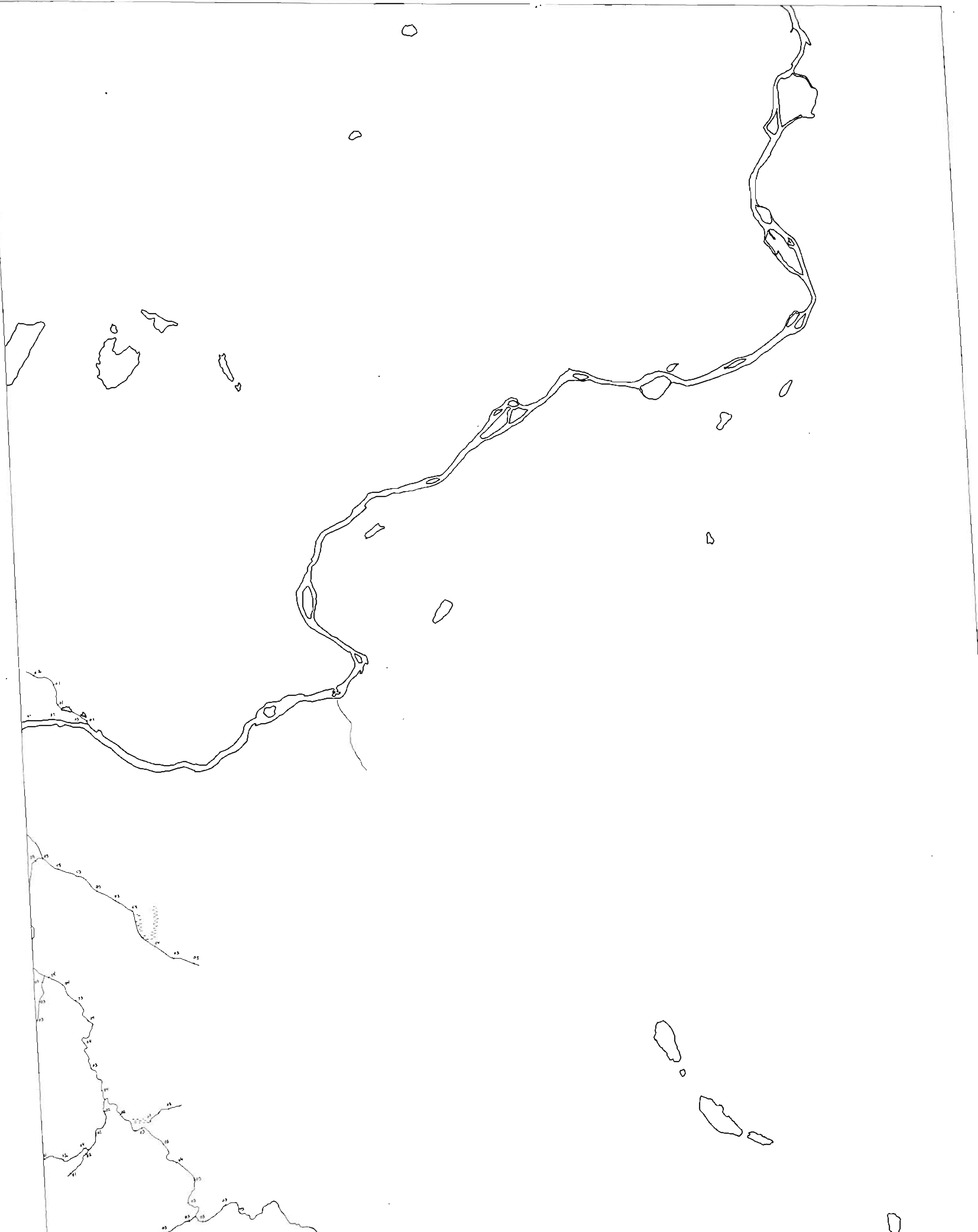
0 1 2 Km

A/S SYDVARANGER  
Bekkesedimenter Leitiselig tungmetall  
**KARASJOK**, Bæivassgiedde C

|            |             |            |
|------------|-------------|------------|
| MÅlestokk  | PM1 GH/SEAH | 766 207 67 |
| ANAL SS/TV | 221 261 68  |            |
| TEGN UT    | 192 1948    |            |
| XFR        | 192 1948    |            |

NORGES GEOLISKE UNDERSØKELSE  
TRONDHEIM

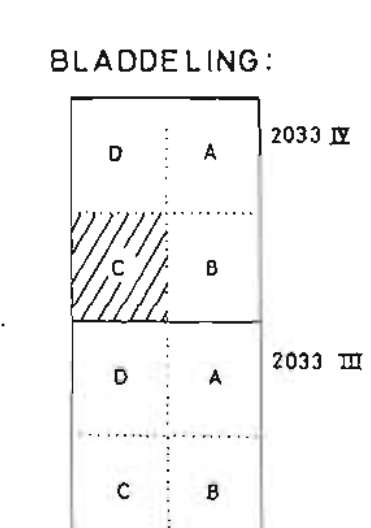
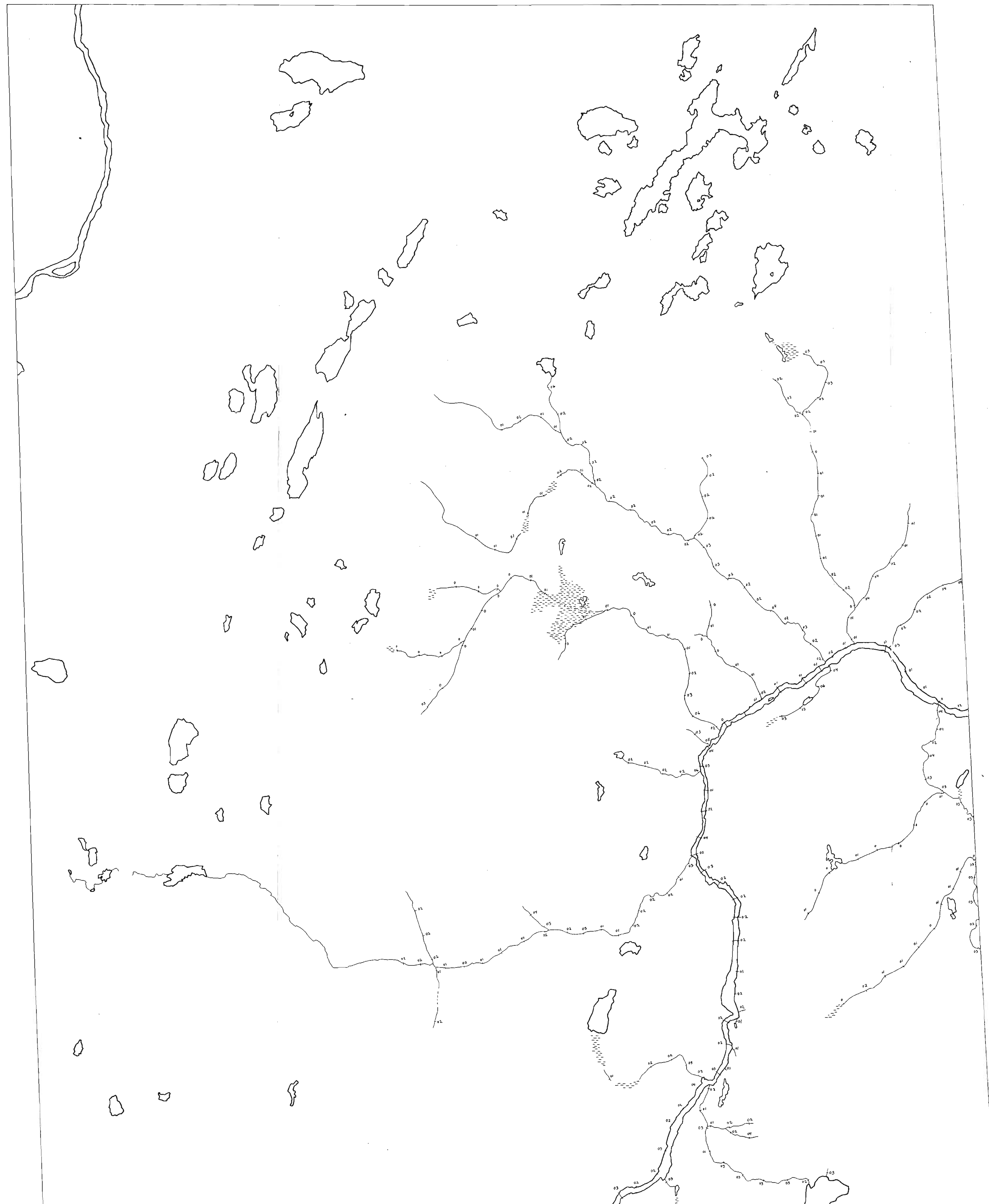
761 - 40



A/S SYOVARANGER  
Bekkesedimenter. HNO<sub>3</sub>-loselig selv  
**KARASJOK**, Raito. 8  
NORGES GEOLOGISKE UNDERØKEL  
TRONDHEIM

|                             |       |    |    |    |      |         |
|-----------------------------|-------|----|----|----|------|---------|
| MALESTOCK<br>CO<br>1:20,000 | PRI   | GN | DE | AM | 26   | 5-20767 |
|                             | ANAL. |    |    |    | 12   | 1968    |
|                             | TECH. | 15 |    |    | 26.2 | 1968    |
|                             | KFR.  |    |    |    | 26.2 | 1968    |

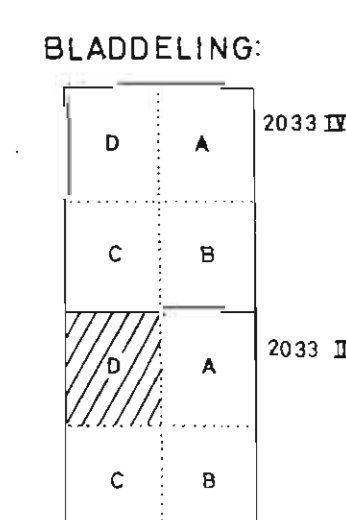
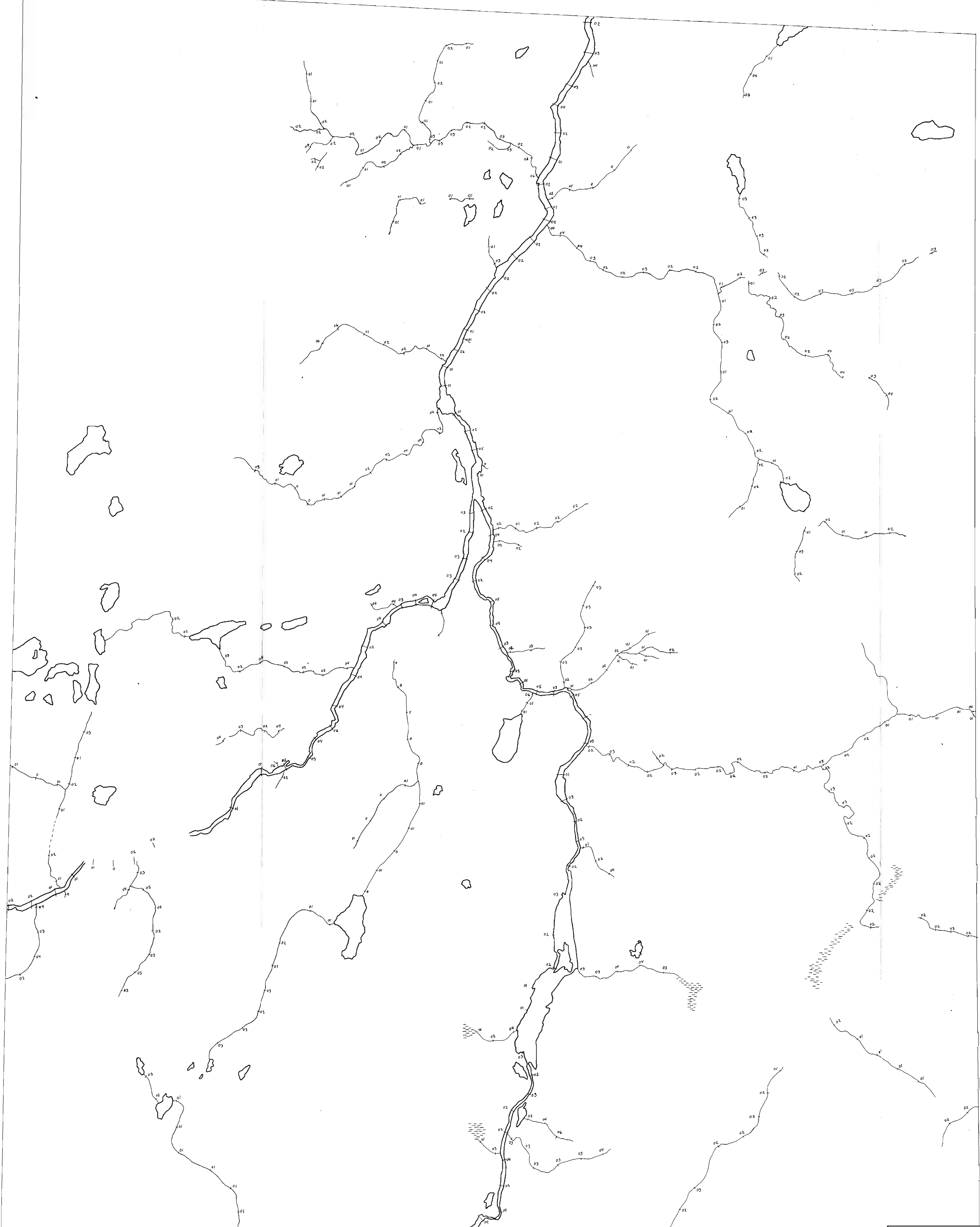
The diagram shows a square board divided into four quadrants by a horizontal and vertical line. The top-left quadrant is labeled 'D', the top-right 'A', the bottom-left 'C', and the bottom-right 'B'. The quadrants 'B' and 'C' are filled with diagonal hatching.



0 1 km 2 km

A/S SYDVARANGER  
Bekkesedimenter. HNO<sub>3</sub>-loselig sôlv.  
**KARASJOK**, Raite.C  
NORGES GEOLGIKSE UNDERSØKELSE  
TRONDHEIM

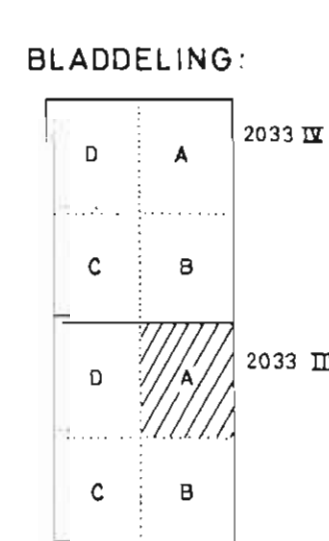
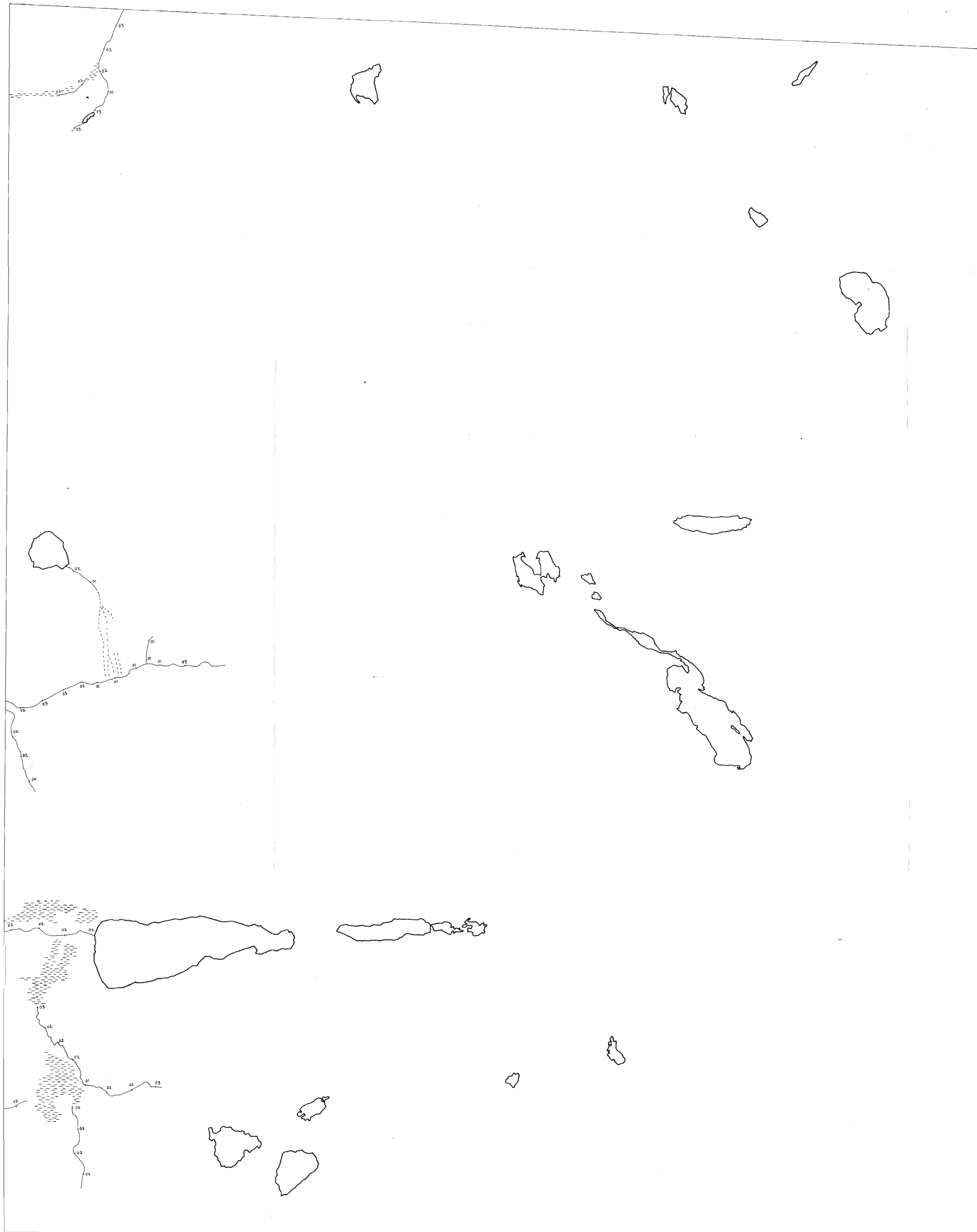
MÅLESTOKK PRT. GN / JE / AH 26.6-207-67  
ANAL. 1.2 1968  
TEGN. IT 26.2 1968  
1 : 20.000 KFR. 26.2 1968  
761 - 42



MÅLESTOKK PRT. GNJE | AH 286 207 67  
ANAL.

CG. TEGN. IT 27.2 1967  
1:20 000 KFR. 27.2 1967

A/S SYDVARANGER  
Bekkesedimenter HNO<sub>3</sub>-løselig sélv.  
**KARASJOK**, Bæivåsgiedde D  
NORGES GEOLOGISKE UNDERSØKELSE  
TRONDHEIM



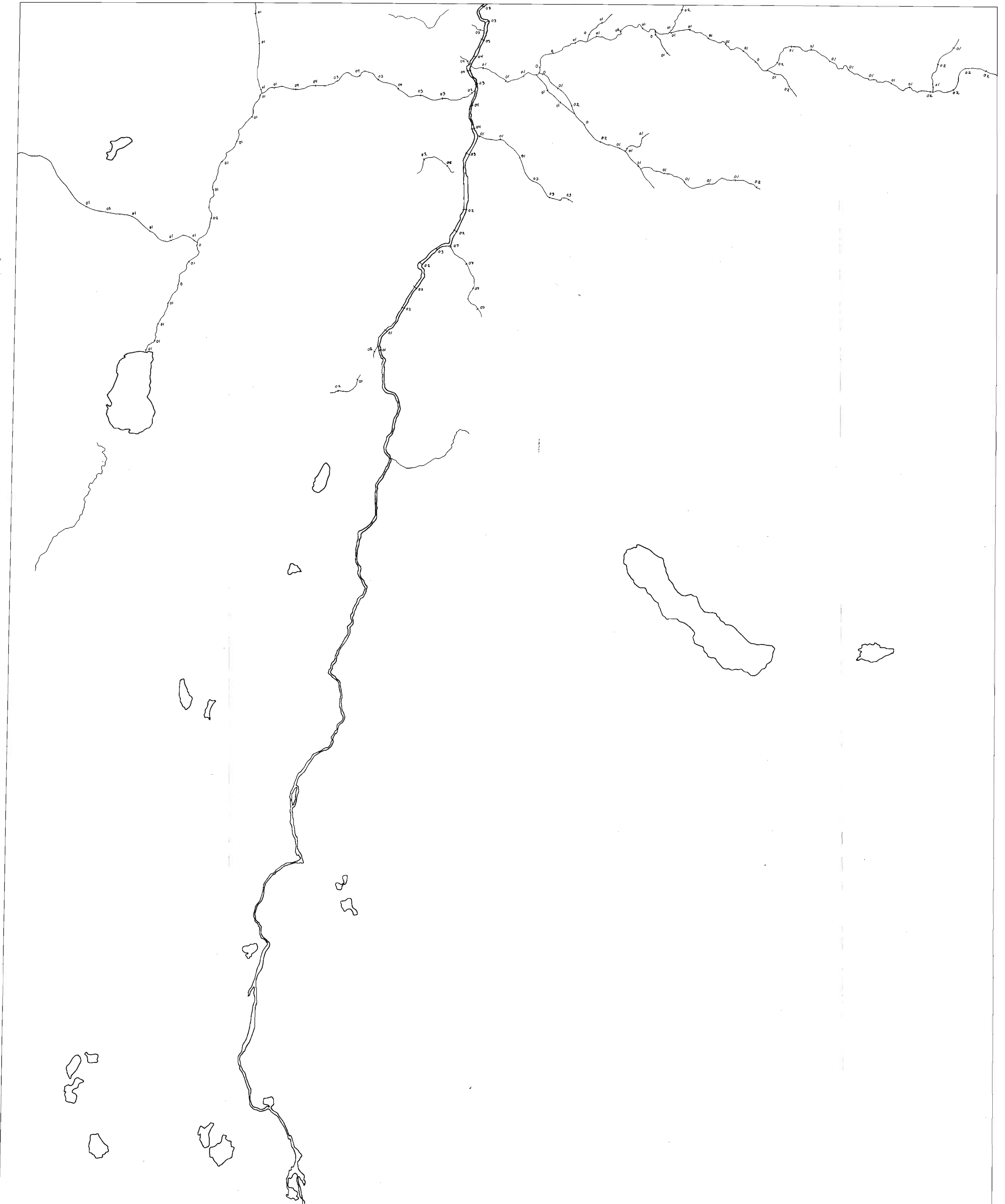
0 1 km 2 km

A/S SYDVARANGER  
Bekkesedimenter. HNO<sub>3</sub>-löselig sélv.  
**KARASJOK**, Bæivassgiedde. A

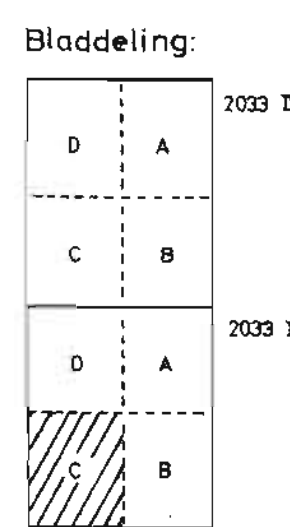
MÅLESTOKK PRT. GN/JE/AH 266-207-67  
ANAL.  
CA. TEGN. IT 292 1968  
1:20.000 KFR. 292 1968

NORGES GEOLOGISKE UNDERSØKELSE  
TRONDHEIM

761 - 44



N



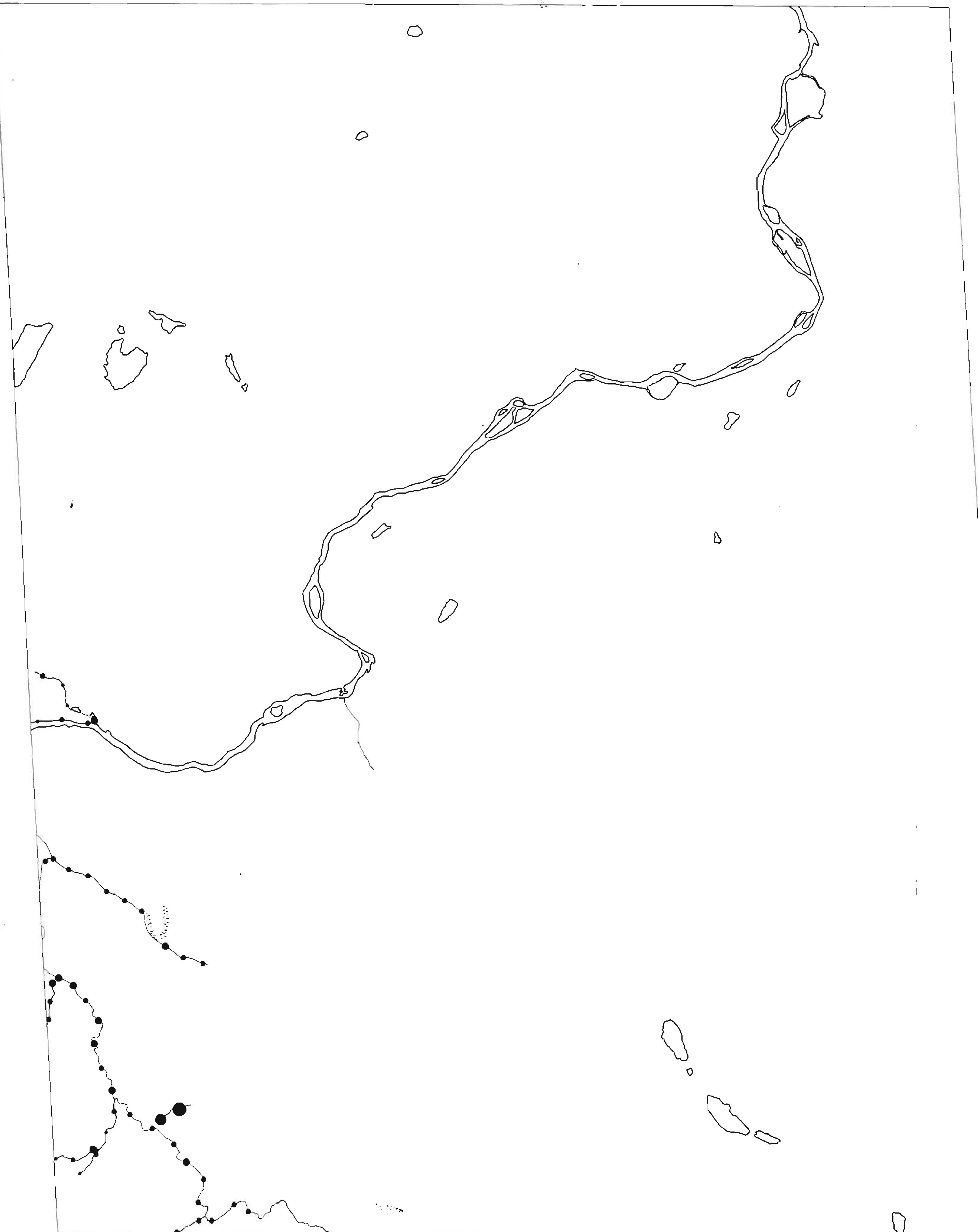
0 1 2 km

A/S SYDVARANGER  
Bekkesedimenter. HNO<sub>3</sub>-löslig sòlv.  
**KARASJOK**, Bæivasgiedde C

MÅLESTOKK PRT. ON/JE/AN 26.6-207-67  
CO. ANAL.  
1:20000 TEGN. IT 4.3 1968  
KFR 4.3 1968

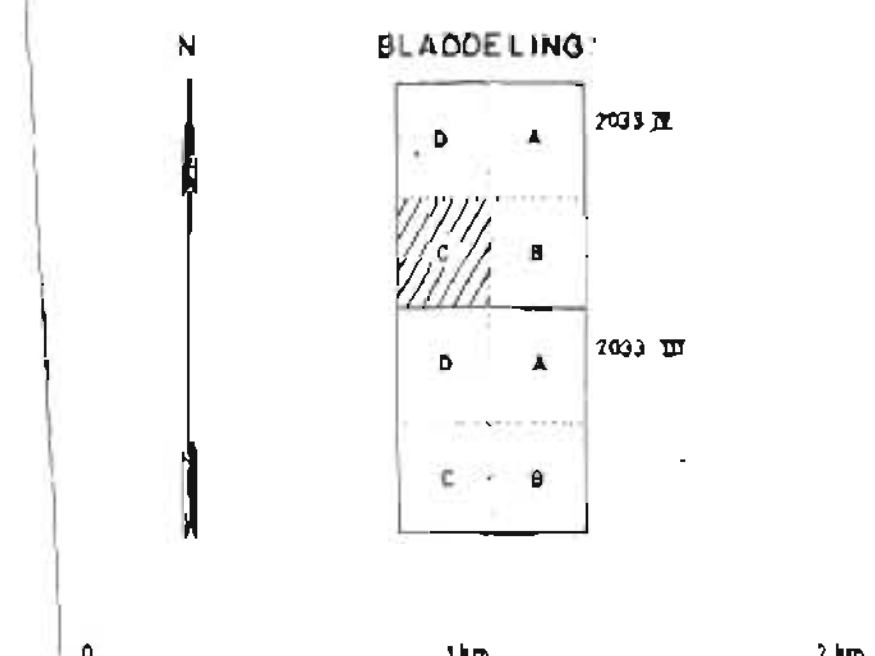
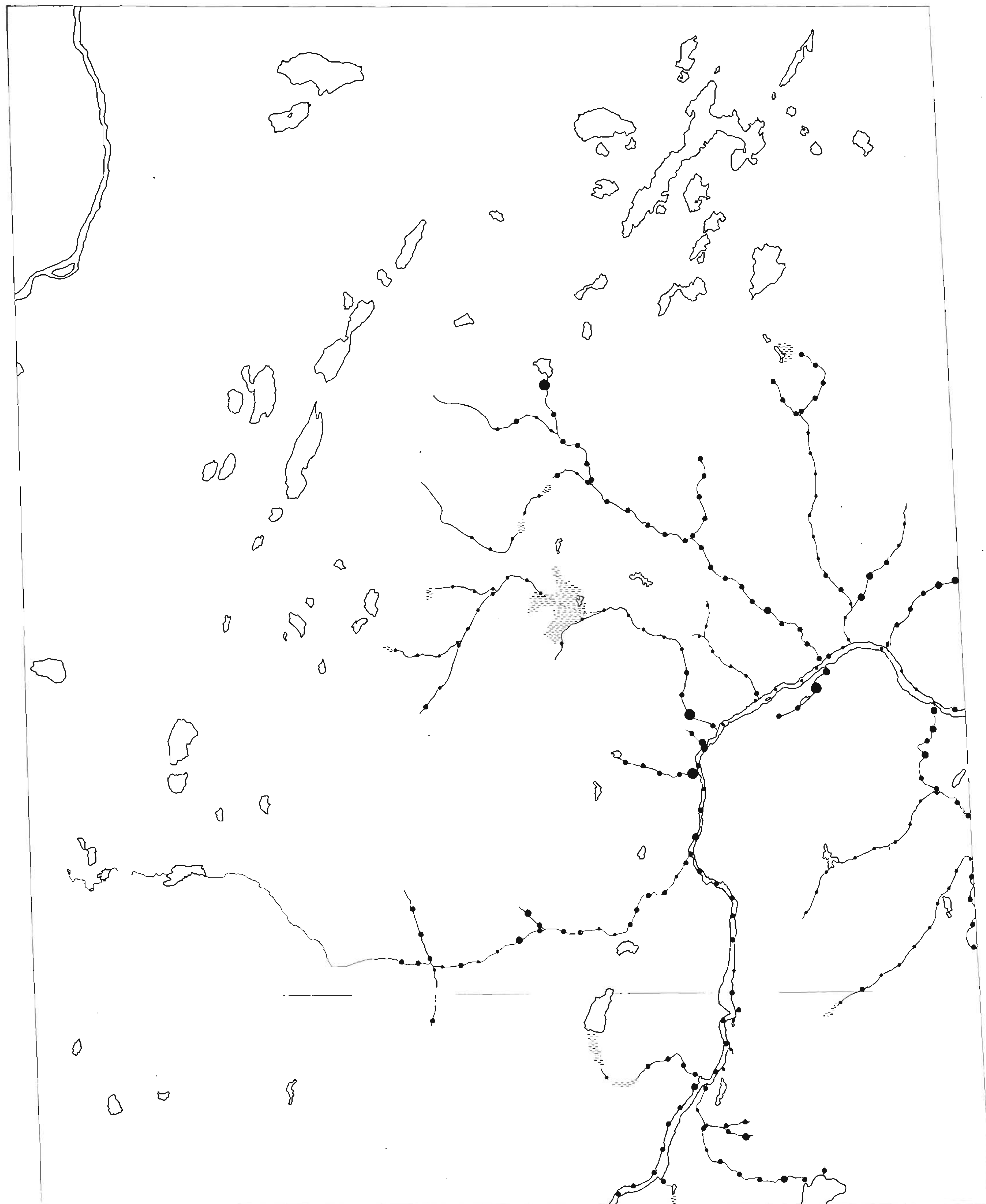
NORGES GEOLOGISKE UNDERSØKELSE  
TRONDHEIM

761-45



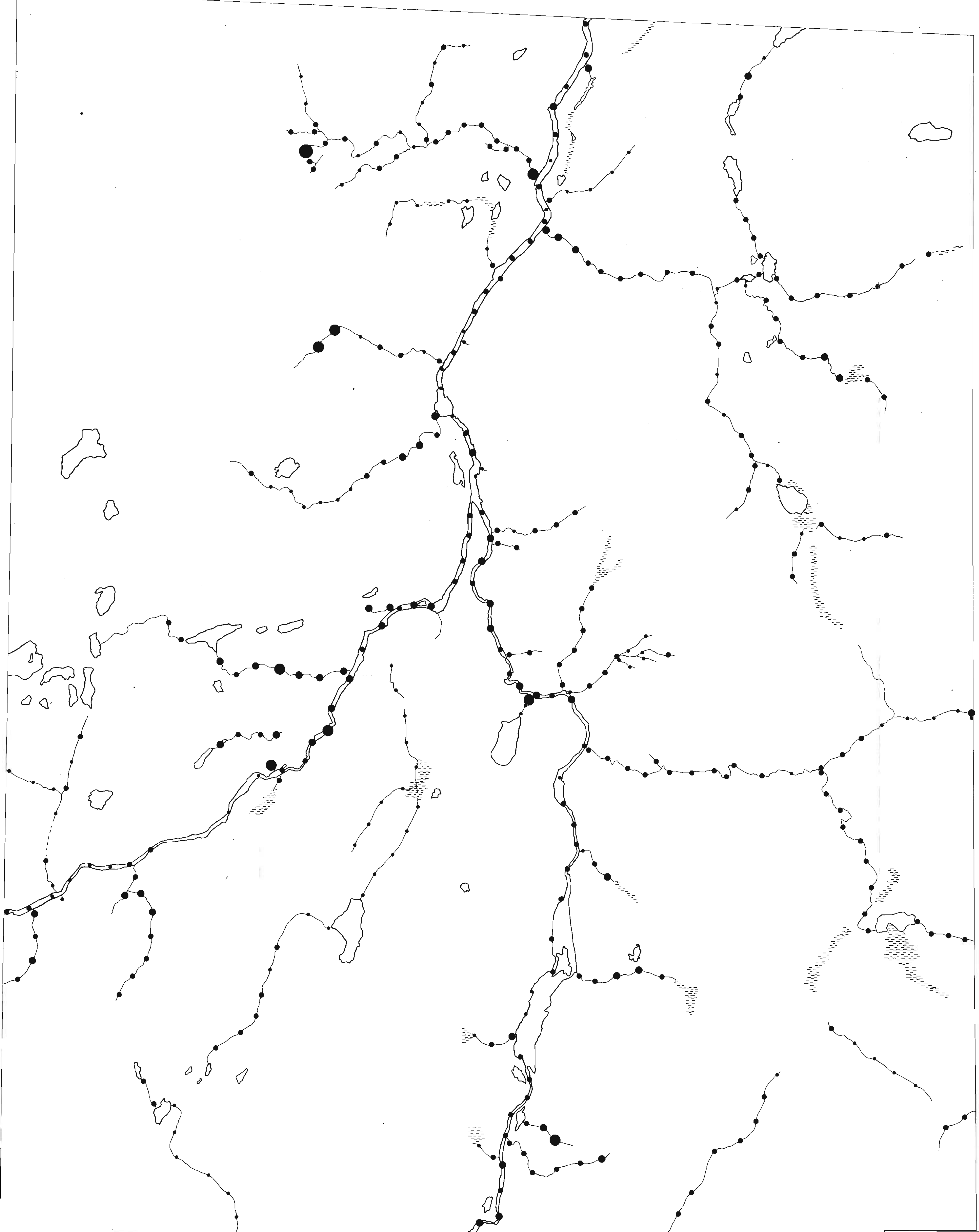
|   |  |                             |
|---|--|-----------------------------|
| 4/S SYDVARANGER<br>Bekkesedimenter HNO <sub>3</sub> -loselig saltv. | VILLESTØK<br>ANAL. 11.2.1968<br>CO. TEGN. IT 4.3.1968<br>1:20 000 XPA 4.3.1968 | PRT. GN JE AH 28.6.-20.7.67 |
| KARASJOK, Raiter. B   |  |                             |

NORGES GEOLISKE UNDERSØKELSE  
TRONDHEIM



A/S SYDVARANGER  
Bekkesedimenter  $\text{NO}_3^-$ -loselig salt  
KARASJOK, Røte.C  
NORGES GEOLISKE UNDERSØKELSE  
TRONDHEIM

|                  |               |
|------------------|---------------|
| PRT. GN / JE/JAM | 284-207-67    |
| ANAL.            | 1.2. 1967     |
| TEGN IT          | 28.2. 1968    |
| CO.              | 1. 20.000 MFR |



A/S SYDVARANGER  
Bekkesedimenter. HNO<sub>3</sub>-løselig sòlv.  
**KARASJOK,**  
Bæivassgiedde. D  
NORGES GEOLGIKSE UNDERSØKELSE  
TRONDHEIM

MÅLESTOKK PRT. GN/JE/AH 26.6 20.7 67  
ANAL. 1.2 1968  
ca. TEGN. IT 27.2 1968  
KFR. 27.2 1968  
1:20 000